

MINISTERIO DE MINAS Y ENERGIA

PROYECTO TERMOTASAJERO

TOMO II

ICEL

1979

C
E
N
S



INSTITUTO COLOMBIANO DE ENERGIA ELECTRICA
CENTRALES ELECTRICAS DEL NORTE DE SANTANDER

PROYECTO TERMOTASAJERO

PRIMER INFORME DE FACTIBILIDAD

HIDROLOGIA Y METEOROLOGIA

TOMO II

MARZO DE 1979



SOCIEDAD GENERAL DE CONSULTORIA LTDA.
ESTUDIO FINANCIADO POR FONADE

TOMO II

HYDROLOGIA Y METEOROLOGIA



TOMO II

METEOROLOGIA E HIDROLOGIA

CONTENIDO

1. METEOROLOGIA EN LA ZONA DEL PROYECTO

1.1. ESTACIONES METEOROLÓGICAS

1.2. TEMPERATURA DEL AIRE

1.3. HUMEDAD RELATIVA DEL AIRE

1.4. VIENTOS

1.4.1. Velocidad

1.4.2.1. Estación Aeropuerto Camilo Daza

1.4.2.2. Estación Carmen de Tonchalá

1.4.2.3. Comparación entre las Estaciones
Aeropuerto Camilo Daza y Carmen
de Tonchalá

1.5 LLUVIA.

1.5.1. Lluvia Mensual

1.5.1.1. Total mensual

1.5.1.1.1. Aeropuerto Camilo Daza

1.5.1.1.2. Carmen de Tonchalá

1.5.1.1.3. Comparación Aeropuerto Camilo
Daza y Carmen de Tonchalá.

1.5.1.2. Mínimo Interanual de los Totales
Mensuales

1.5.1.2.1. Aeropuerto Camilo Daza

1.5.1.2.2. Carmen de Tonchalá

1.5.1.2.3. Comparación entre Aeropuerto Camilo
Daza y Carmen de Tonchalá



1.5.2. Lluvia máxima Intramensual en 24

Horas

- 1.5.2.1 Aeropuerto Camilo Daza
- 1.5.2.2 Carmen de Tonchalá
- 1.5.3 Aguaceros máximos

1.6 RECOMENDACIONES SOBRE INSTRUMENTACION
METEOROLOGICA

2. HIDROLOGIA DEL RIO ZULIA

2.1 CUENCA HIDROGRAFICA DEL RIO ZULIA

2.2 ESTACIONES HIDROMETRICAS

2.3 CAUDAL EN SAN JAVIER

2.3.1 Caudal máximo

2.3.2 Caudal mínimo

2.4 SEDIMENTOS.

2.5 TEMPERATURA DEL AGUA

2.6 PROPIEDADES FISICO-QUIMICAS DEL AGUA

2.6.1 El agua para Enfriamiento

2.6.2 Requisitos y Especificaciones de
calidad del agua para Enfriamiento

2.6.3 Muestreos y resultados

2.6.4 Conclusiones y recomendaciones



TOMO II

METEOROLOGIA E HIDROLOGIA

1. METEOROLOGIA EN LA ZONA DEL PROYECTO

1.1 ESTACIONES METEOROLÓGICAS.

El plano II-1 muestra la localización de las dos únicas estaciones con mediciones meteorológicas que se han encontrado de interés, cuyas principales características se describen a continuación:

Aeropuerto Camilo Daza: Situada en las afueras de la ciudad de Cúcuta. Se trata de una estación sinóptica de superficie que está dotada de los siguientes elementos: termómetro seco, termómetro húmedo, heliógrafo, termómetro de máxima y mínima, anemómetro, pluviógrafo y pluviómetro.

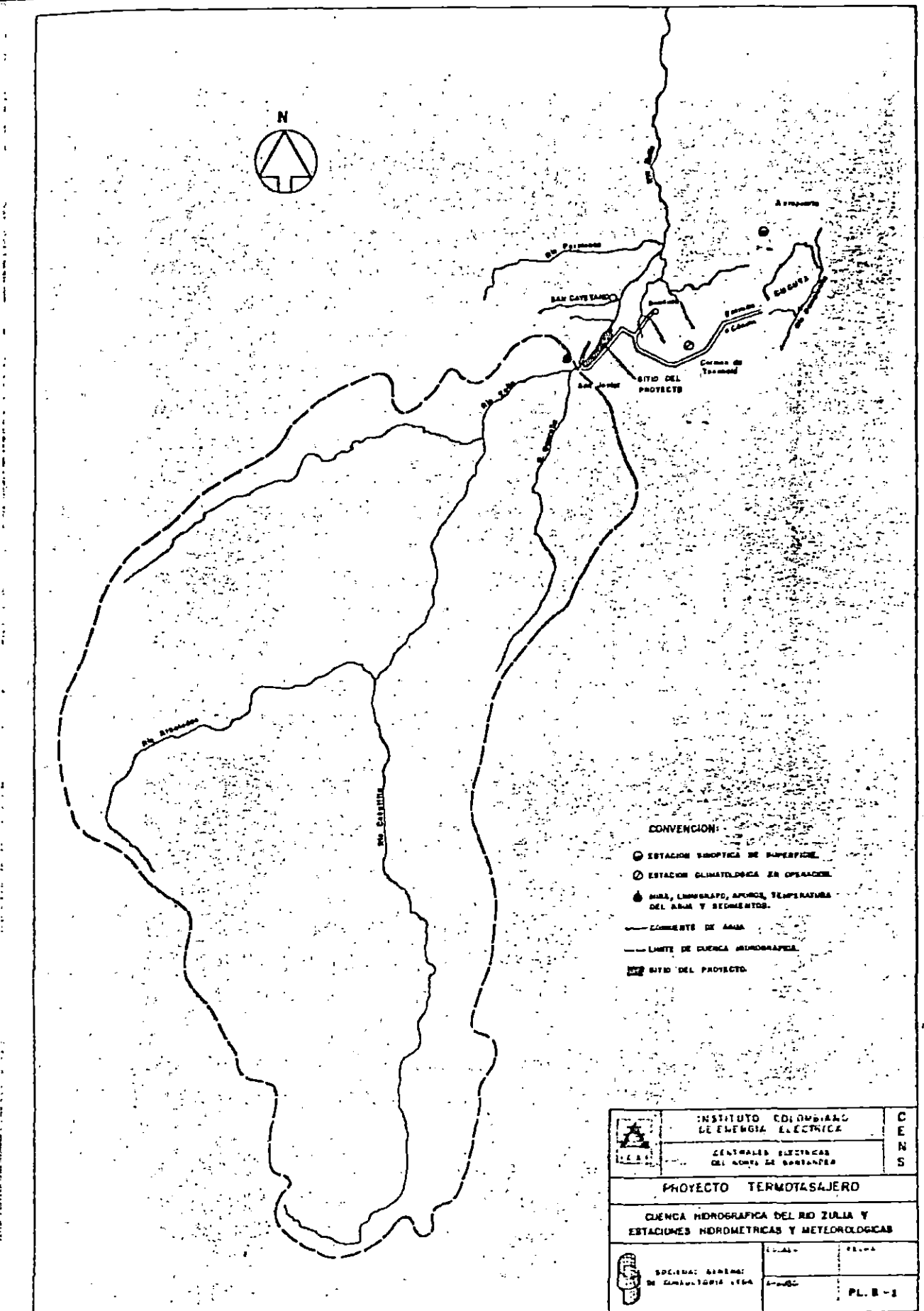
Carmen de Tonchalá: Situada entre Cúcuta y el sitio del proyecto, sobre la carretera que conduce de Cúcuta a San Cayetano. Se trata de una estación climatológica en operación, y está dotada de los siguientes elementos: termómetro seco, termómetro húmedo, termómetros de máxima y mínima, anemómetro, pluviómetro, pluviógrafo, actinógrafo y



veleta.

Los datos meteorológicos vienen con alguna regularidad desde 1950 para el Aeropuerto Camilo Daza y desde 1969 para la Estación de Carmen de Tonchalá.

La estación de Carmen de Tonchalá está localizada a una cota aproximada de 260 mt., más o menos a la misma elevación que el sitio del proyecto que está a 260 mts. y a una distancia aproximada de 7 km del mismo. Las condiciones físicas de los sitios no muestran características fundamentalmente diferentes, por lo cual puede considerarse como indicadores de las variables meteorológicas para el sitio del proyecto las correspondientes a Carmen de Tonchalá. En cuanto al viento se recomienda instalar en el sitio del proyecto un instrumento de medición apropiado, según se indica mas adelante.



1.2 TEMPERATURA DEL AIRE

La variación diurna presenta los mayores valores entre las 12 y las 15 horas y los menores valores entre las 01 y las 05 horas, variando entre 21.8°C y 31°C las lecturas con termómetro seco y entre 19.6°C y 24°C las lecturas con termómetro húmedo para la estación Carmen de Tonchalá, y entre 22.8°C y 31.0°C y entre 20.4°C y 23.2°C las lecturas con termómetro seco y húmedo respectivamente para el Aeropuerto Camilo Daza. (Gráfica II.T-1)

El promedio interanual del mínimo absoluto intramensual es de 15.9°C y el del máximo absoluto intramensual es de 35.9°C en la estación Carmen de Tonchalá, valores correspondientes a los meses de febrero y agosto respectivamente, mientras que en el Aeropuerto los mismos promedios varían entre 16.86°C para enero y 37.36°C para septiembre. (Cuadro II.T-1 y Gráfica II.T-3).

Las temperaturas mínima y máxima diarias presentan promedios interanuales intramensuales de 20.72°C y 30.10°C para el Aeropuerto y de 20.92°C y 32.10°C para Carmen de Tonchalá. (Gráfica II.T-2).

Los promedios interanuales para cada mes de estos estadígrafos se ilustran en la gráfica II.T-3.

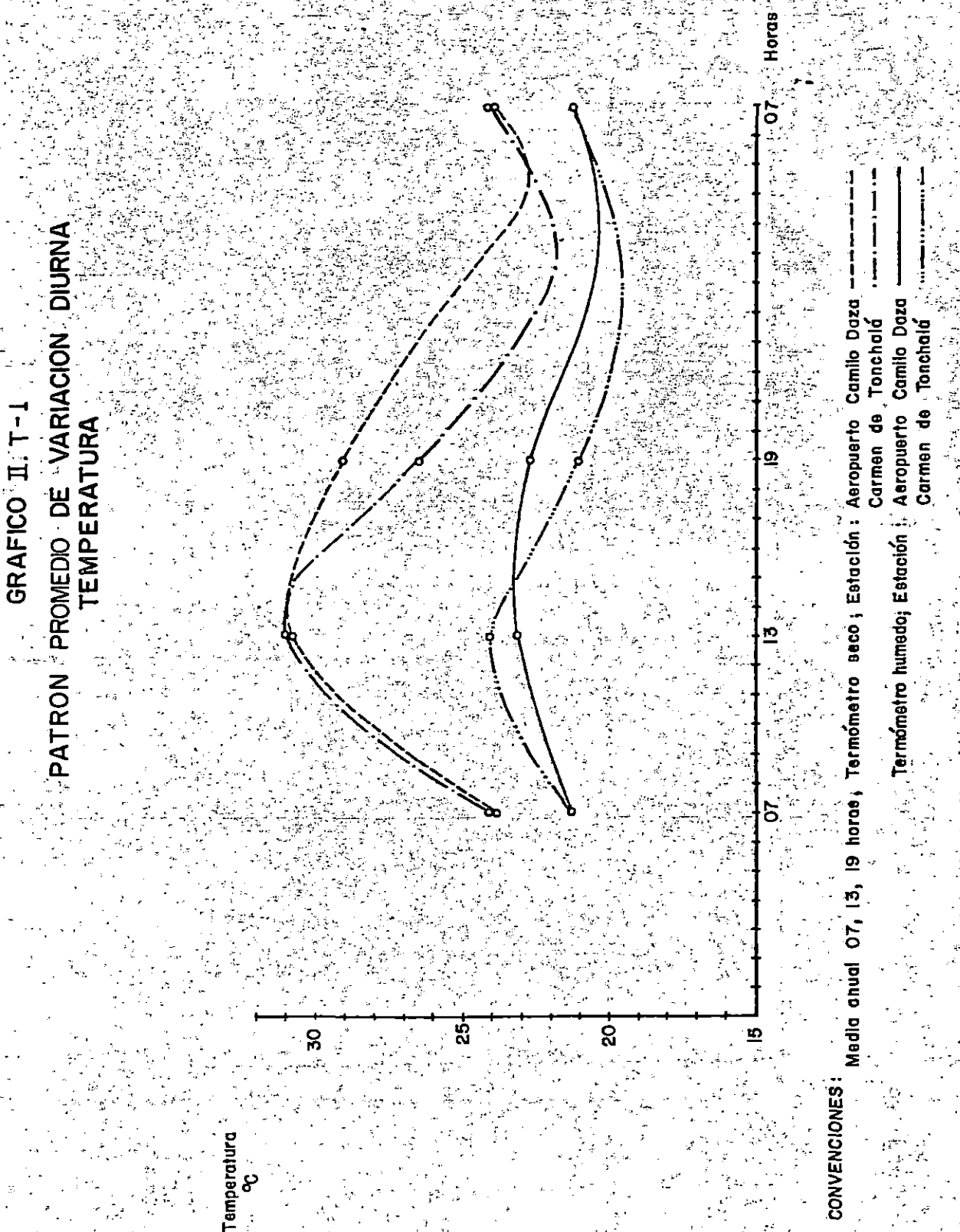
La temperatura de termómetro seco oscila alrededor de 27.95°C para el aeropuerto y alrededor de 27.12°C

para Carmen de Tonchalá, mientras que con termómetro húmedo oscila alrededor de 22.44°C para el Aeropuerto y 22.53°C para el Carmen de Tonchalá. (Cuadro II.T-1 y Gráfica II.T-4).

El cuadro contiene las secuencias históricas de temperaturas extremas para las dos estaciones. Un análisis probabilístico de extremos permite concluir que para un lapso medio de retorno de 20 años corresponden los siguientes valores:

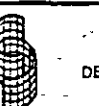
Estación	Temperaturas	
	Máxima Absoluta °C	Mínima Absoluta °C
Aeropuerto Camilo		
Daza	41.4	11.3
Carmen de Tonchalá	38.9	13.3

Las gráficas II.T-5 a II.T-8 muestran las respectivas funciones de probabilidad estimadas.



INSTITUTO COLOMBIANO
DE ENERGIA ELECTRICA
centrales eléctricas
del norte de santander

C
E
N
S



SOCIEDAD GENERAL
DE CONSULTORIA LTDA

PROYECTO TERMOTASA JERO
APROBADO:

FECHA:
Dpto.

CONVENCIONES:
 Media máxima mensual, Estación: Aeropuerto Camilo Daza
 Carmen de Toncháld
 Media mínima mensual, Estación: Aeropuerto Camilo Daza
 Carmen de Toncháld

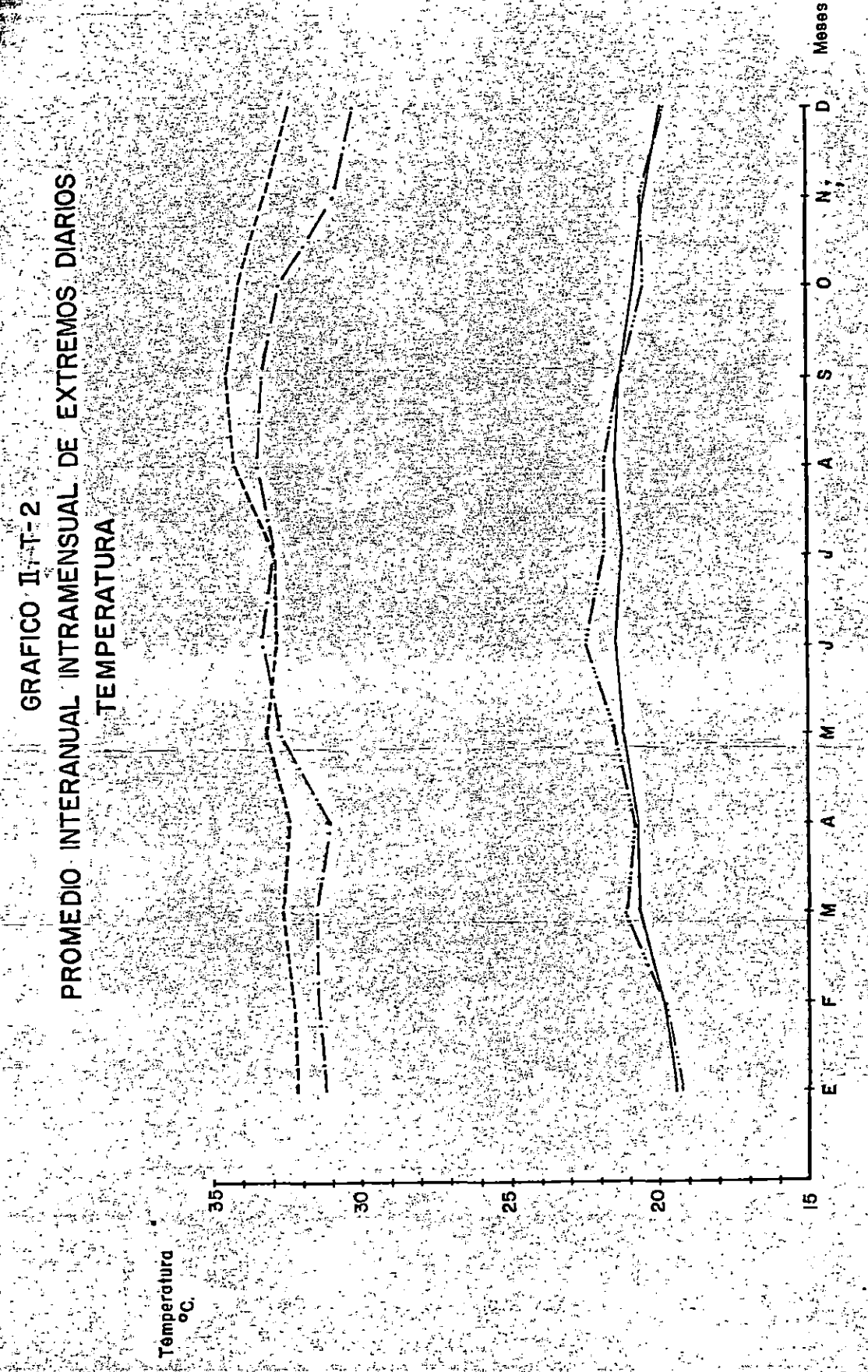


GRAFICO I,T-2
PROMEDIO INTERANUAL INTRAMENSUAL DE EXTREMOS DIARIOS
TEMPERATURA

Temperatura
°C.



INSTITUTO COLOMBIANO
DE ENERGIA ELECTRICA
centrales eléctricas
del norte de santander

CEN

SOCIEDAD GENERAL
DE CONSULTORIA LTDA



PROYECTO TERMOTASAJERO

APROBO:

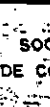
FECHA:



INSTITUTO COLOMBIANO
DE ENERGIA ELECTRICA
centrales eléctricas
del norte de santonder

C
E
N
S

SOCIEDAD GENERAL
DE CONSULTORIA LTDA
S.G.C.L.T.D.A.

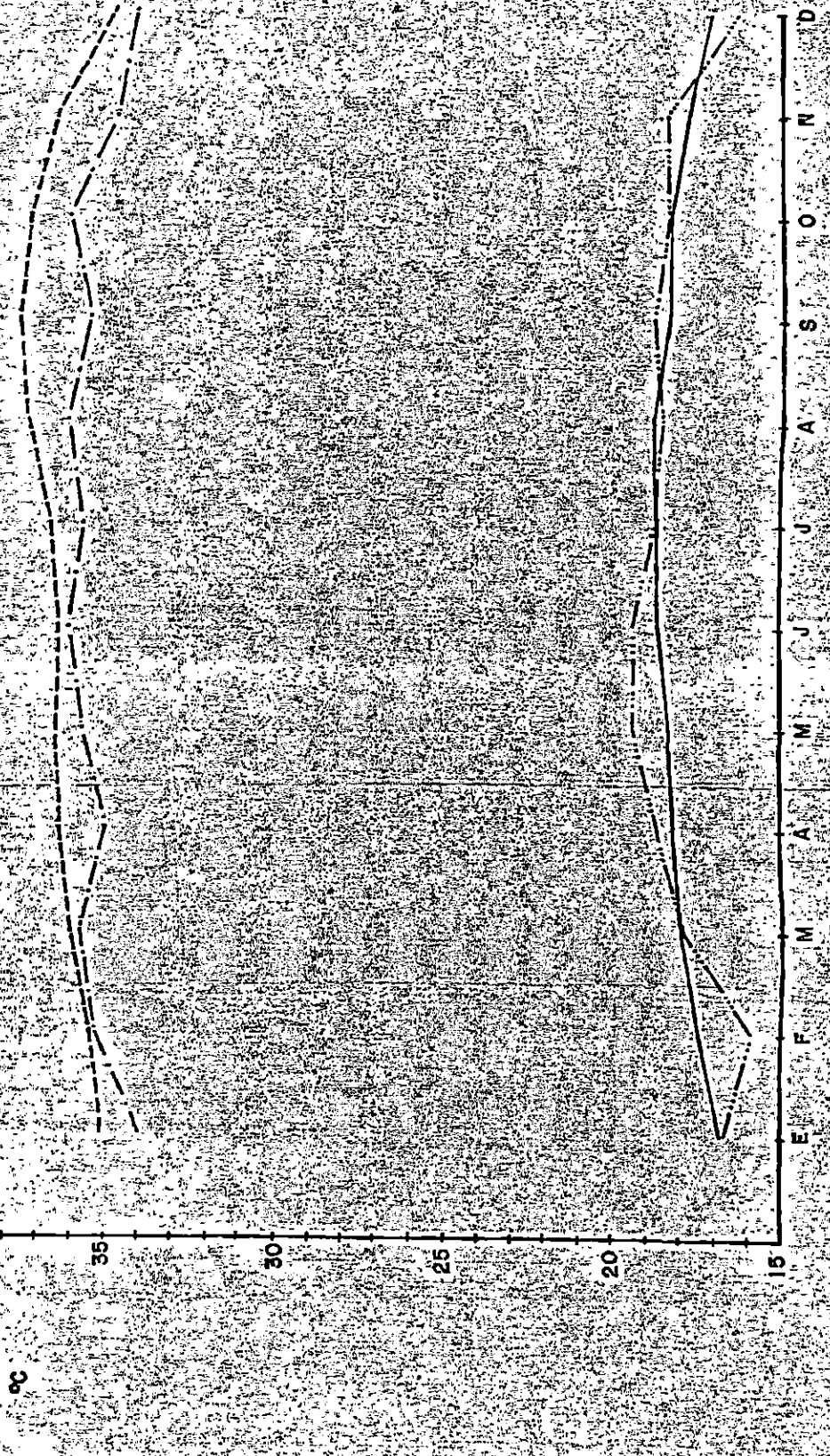


PROYECTO TERMOTASAJERO

APROBADO

FECHA:

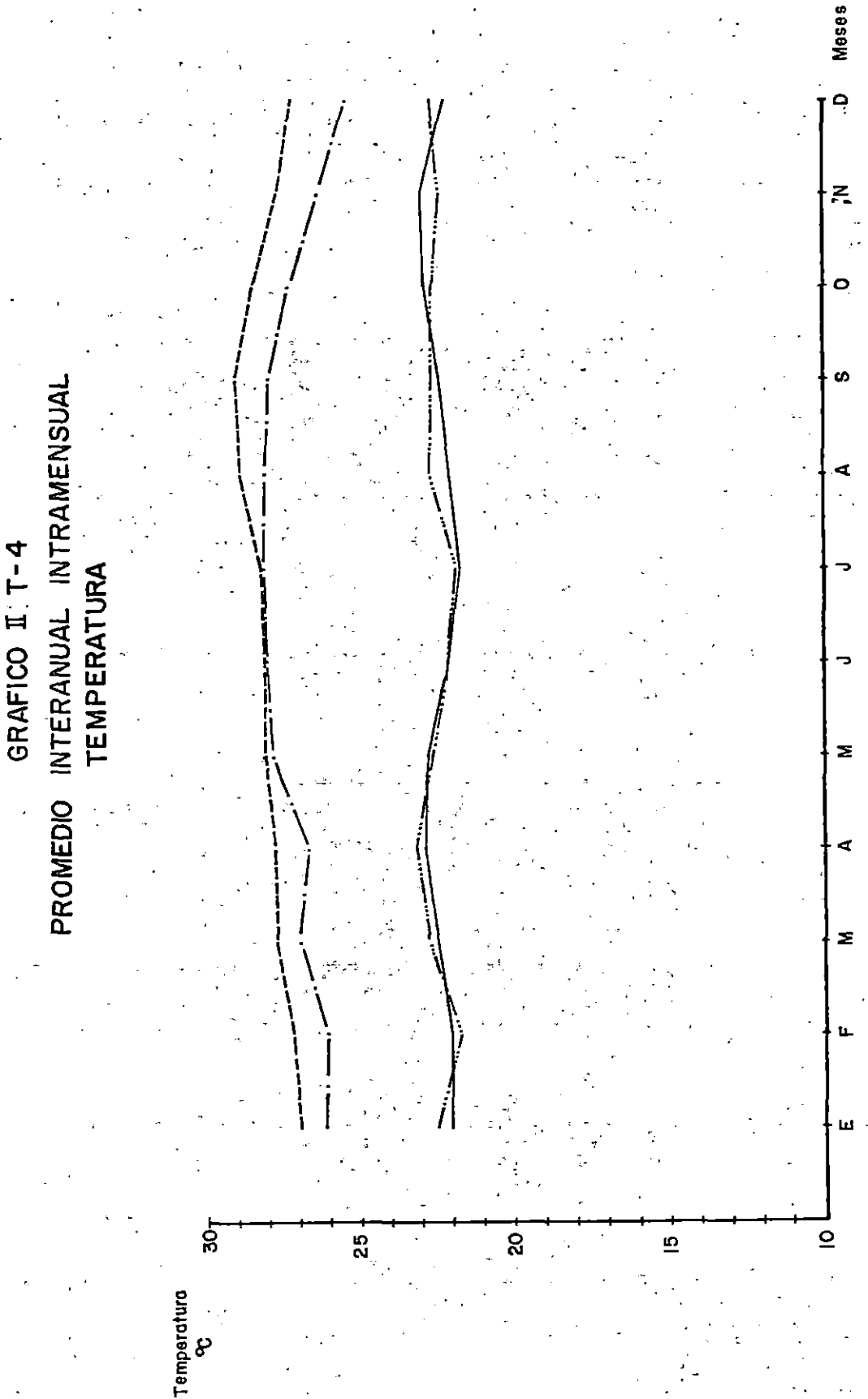
GRAFICO II.T-3
PROMEDIO INTERANUAL DE EXTREMOS INTRAMENSUALES
TEMPERATURA



CONVENCIOS:
Maxima absoluta; Estación: Aeropuerto Camilo Daza
Carmen del Tonchalo
Mínima absoluta; Estación: Aeropuerto Camilo Daza
Carmen del Tonchalo

CONVENCIONES:
Media mensual: termómetro seco; Estación: Aeropuerto Camilo Daza
Carmen de Toncholá

Termómetro húmedo; Estación: Aeropuerto Camilo Daza
Carmen de Toncholá



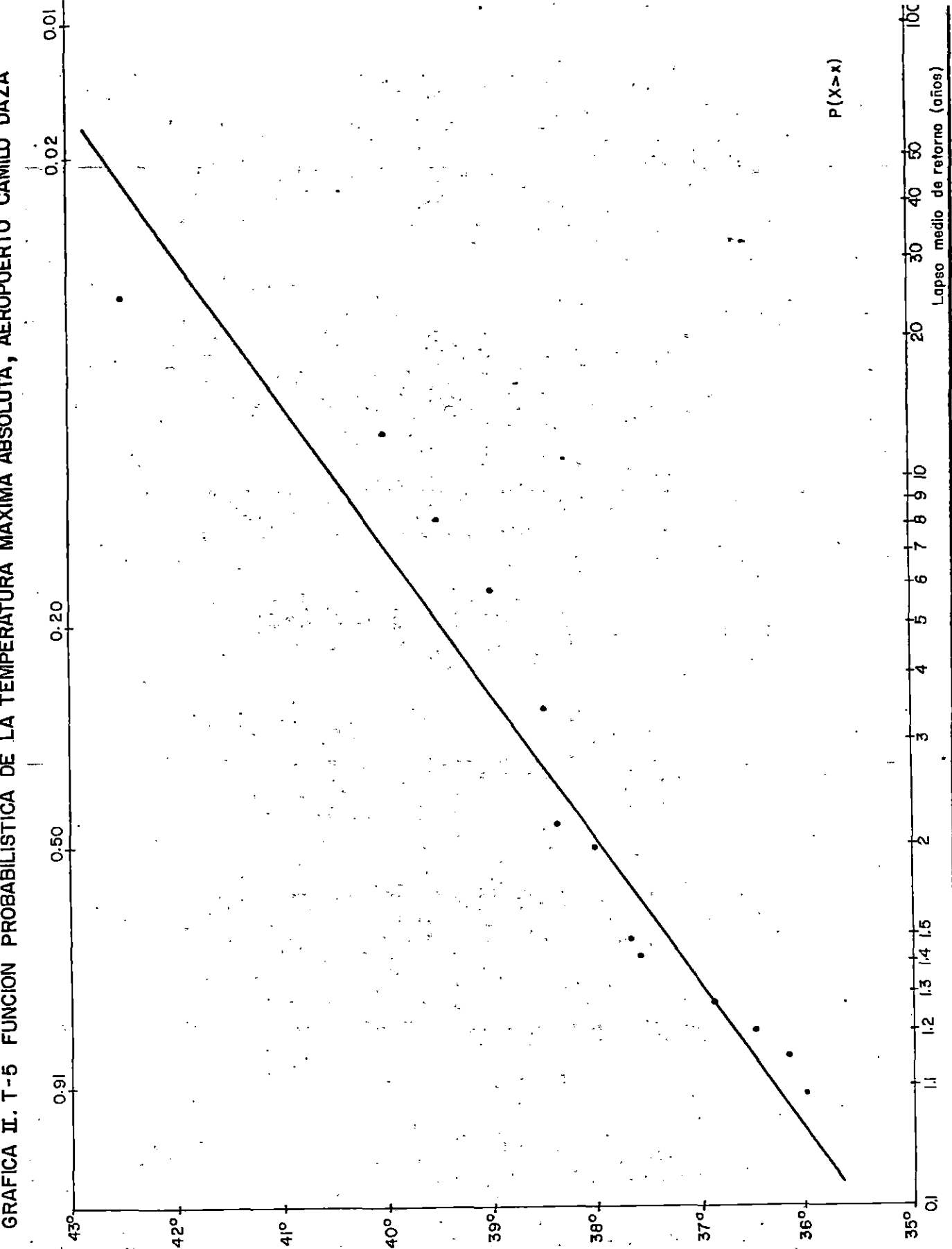
INSTITUTO COLOMBIANO
DE ENERGIA ELECTRICA
centrales eléctricas
del norte de santander

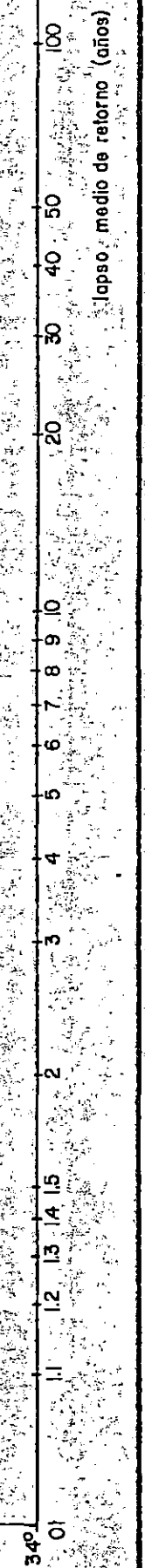
C
M
N
S

SOCIEDAD GENERAL
DE CONSULTORIA LTDA

PROYECTO TERMOTASAJO

APROBADO:
FECHA:

INSTITUTO COLOMBIANO
DE ENERGIA ELECTRICAcentrales eléctricas
del norte de santanderC
E
N
SSOCIIDAD GENERAL
DE CONSULTORIA LTDAPROYECTO TERMOTASAJERO
APROBÓ:
FECHA:



P(X > x)

Tiempo medio de retorno (años)

GRAFICA III-T-6 FUNCION PROBABILISTICA DE LA TEMPERATURA MAXIMA ABSOLUTA, CARMEN DE TONCHALA



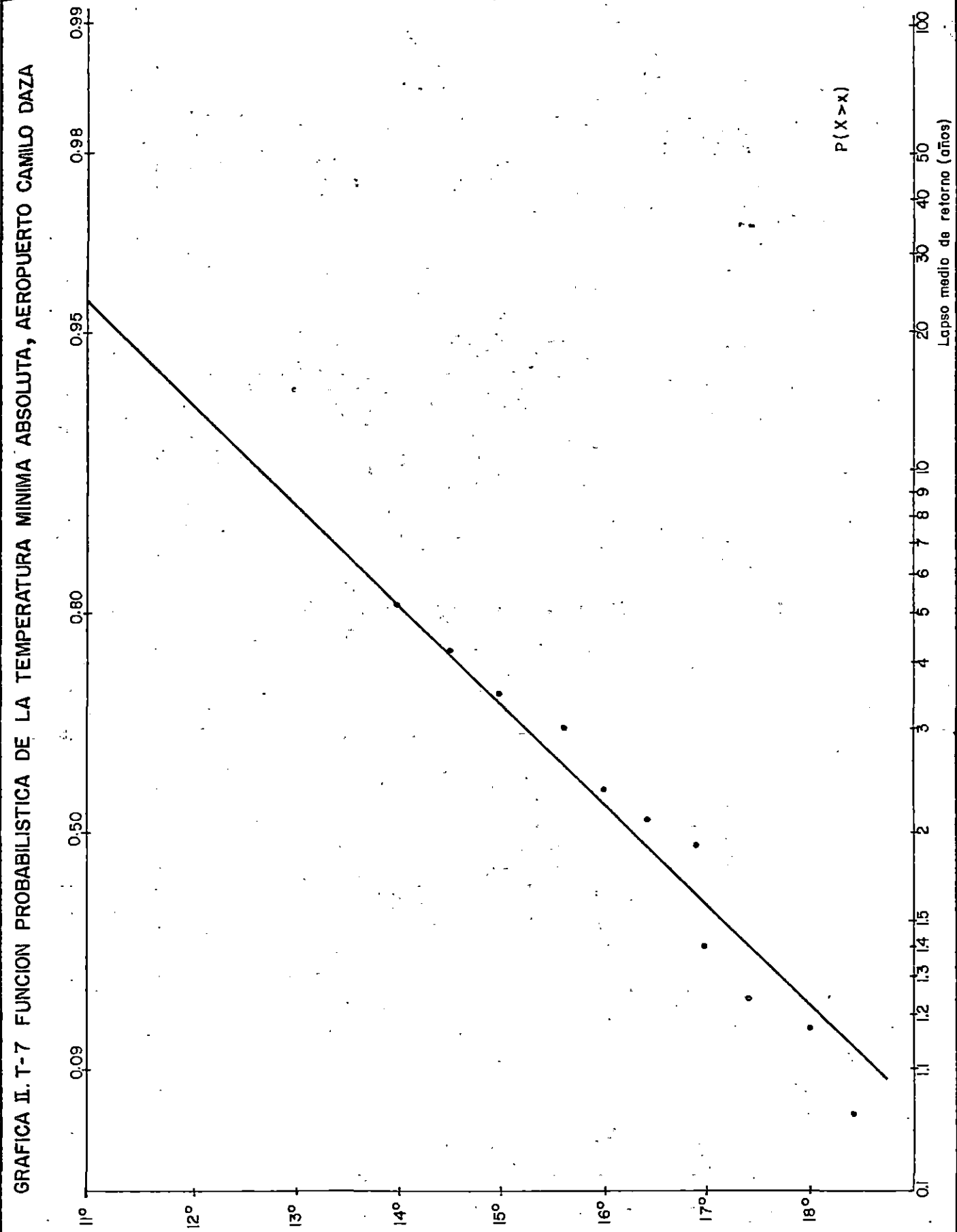
INSTITUTO COLOMBIANO
DE ENERGIA ELECTRICA
centrales eléctricas
del norte de santander

SOCIEDAD GENERAL
DE CONSULTORIA LTDA

PROYECTO TERMOTASAJERO
APROBADO:
FECHA:

APROBADO:
FECHA:

P(X>x) Lápso medio de retorno (años)



GRAFICA II. T-7 FUNCION PROBABILISTICA DE LA TEMPERATURA MINIMA ABSOLUTA, AEROPUERTO CAMILO DAZA



INSTITUTO COLOMBIANO
DE ENERGIA ELECTRICA
centrales eléctricas
del norte de santander

C
E
N
S



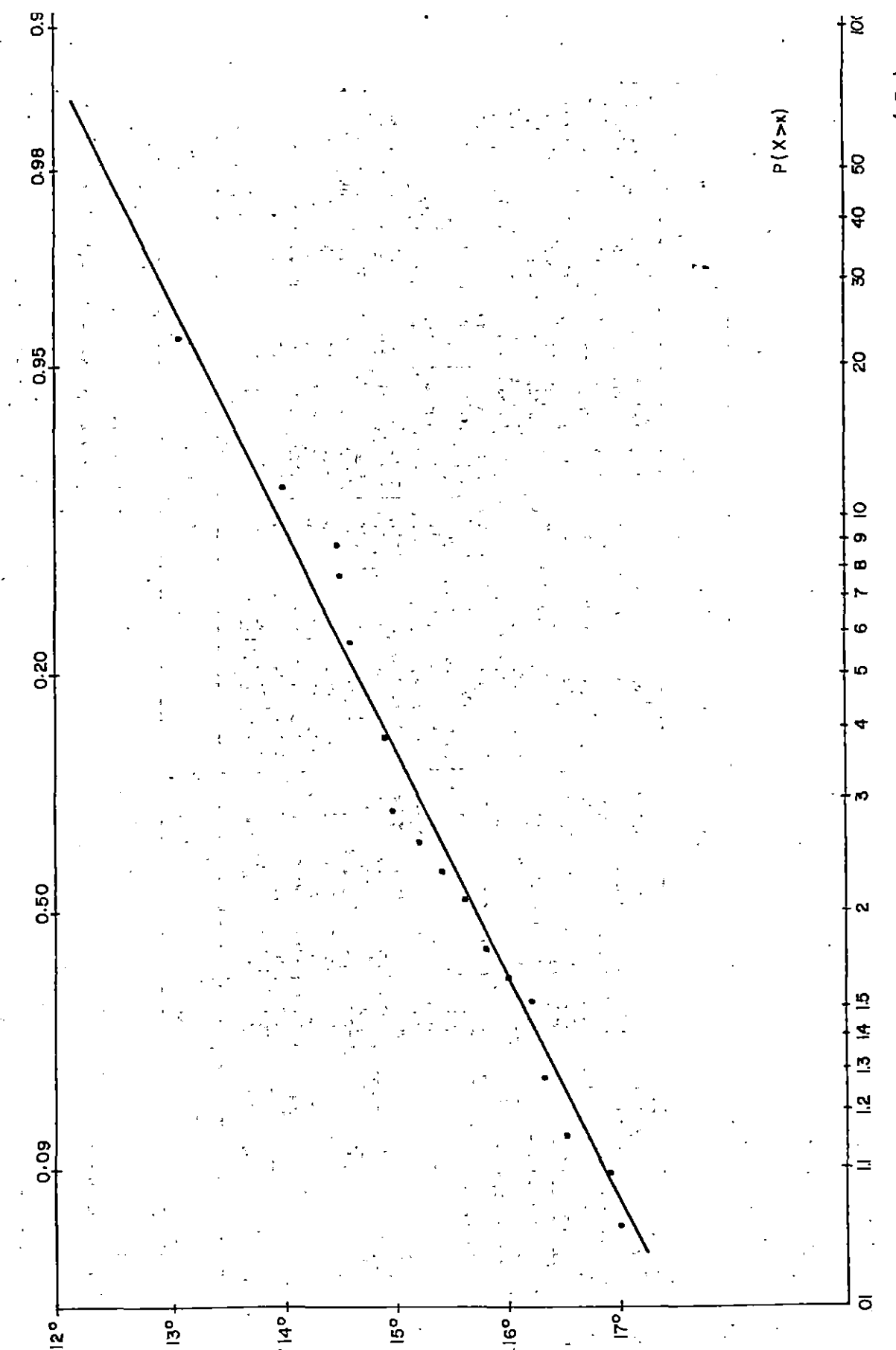
SOCIEDAD GENERAL
DE CONSULTORIA LTDA

PROYECTO TERMOTASAJERO
APROBADO:

FECHA:

Lapso medio de retorno (años)

$P(X > x)$



GRAFICA II. T-8 FUNCION PROBABILISTICA DE LA TEMPERATURA MINIMA ABSOLUTA, CARMEN DE TONCHALA



ICEL

INSTITUTO COLOMBIANO
DE ENERGIA ELECTRICA
centrales eléctricas
del norte de santander

CENS

SOCIEDAD GENERAL
DE CONSULTORIA LTDA

PROYECTO TERMOTASA JERO

APROBO:
FECHA:

FENÓMENO: Temperatura
UNIDADES DE EXPRESIÓN: °C.
FUENTE: Himat (Archivo CENS)

CUADRO N°. II. T.1
PROMEDIO MENSUAL INTRA-ANUAL

ESTACIONES:
ACD=Aeropuerto Camilo Daza, Cúcuta N.D.E.S.
CDT: Carmén de Tonchala, Cúcuta N.D.E. S.

VARIABLE	mes	estación	E	F	M	A	M	J	J	A	S	O	N	D	Promedio anual
Promedio Intramensual de máximas															
ACD	32.18	32.28	32.66	32.55	33.20	32.88	32.91	34.25	34.57	34.06	33.22	32.42	30.10		
CDT	31.23	31.52	31.08	31.59	32.74	33.30	32.96	33.34	33.50	32.80	30.95	30.25	32.10		
Promedio Intramensual de mínimos															
ACD	19.42	19.85	20.58	20.75	21.18	21.45	21.23	21.48	21.35	20.83	20.52	19.92	20.72		
CDT	19.24	19.82	21.10	20.80	21.53	22.56	21.85	21.36	20.60	20.60	20.55	19.80	20.82		
Máxima absoluta intramensual															
ACD	35.23	35.42	35.94	36.2	36.18	37.13	37.13	37.36	36.96	36.05	35.3	36.16			
CDT	34.04	35.33	35.77	34.87	35.47	35.80	35.40	35.80	35.32	35.80	34.33	33.65	33.14		
Mínima absoluta intramensual															
ACD	16.86	17.46	18.04	18.18	18.37	18.80	18.64	18.57	18.35	17.73	17.10	18.06			
CDT	16.72	15.90	17.88	18.63	19.37	19.30	18.85	18.50	18.80	18.18	18.36	16.22	18.04		
Promedio 07 Horas															
ACD	22.50	22.76	23.5	23.85	24.26	25.05	24.88	24.96	24.72	24.20	23.69	23.03	23.95		
CDT	22.97	22.54	23.47	24.00	25.00	25.71	24.80	25.37	24.98	24.26	23.58	22.78	24.12		
Promedio 13 Horas															
ACD	29.78	29.79	30.28	30.23	31.14	30.62	30.70	31.45	32.36	31.99	31.16	30.29	30.82		
CDT	29.88	29.75	30.98	30.47	31.80	31.78	31.72	32.30	32.44	31.82	29.73	29.22	30.99		
Promedio 19 Horas															
ACD	28.63	28.88	28.11	28.79	29.13	28.74	29.08	29.86	29.98	29.4	28.69	28.25	29.04		
CDT	25.97	25.71	26.87	26.28	27.28	27.45	27.30	27.26	26.67	26.09	24.92	26.51			
Promedio Mensual															
ACD	27.0	27.17	27.68	27.74	28.14	28.06	28.06	28.05	28.49	27.97	27.23	27.95			
CDT	26.17	26.10	27.03	26.75	27.90	28.18	28.06	27.98	27.35	26.41	25.48	27.12			
Promedio 07 Horas															
ACD	20.49	20.79	21.32	21.8	21.86	21.33	20.97	21.12	21.47	21.71	21.71	20.92	21.30		
CDT	21.00	20.77	21.71	22.12	21.82	21.22	20.87	21.47	21.30	21.62	21.27	21.15	21.37		
Promedio 13 Horas															
ACD	22.97	22.84	23.13	23.64	23.52	22.77	22.37	22.75	23.22	23.85	24.09	23.38	23.21		
CDT	24.38	22.91	23.74	24.36	23.82	23.40	23.40	23.00	23.88	24.02	24.70	24.04			
Promedio 19 Horas															
ACD	22.68	22.54	22.84	23.18	23.15	22.64	22.07	22.54	22.73	23.3	23.29	22.71	22.61		
CDT	22.08	21.77	22.86	23.14	22.43	21.73	21.47	21.95	21.62	22.34	22.07	22.20	21.14		
Promedio Mensual															
ACD	22.05	22.04	22.45	22.91	22.83	22.21	21.81	22.47	22.97	23.03	22.35c	22.44			
CDT	22.52	21.80	22.72	23.22	22.67	23.14	21.95	22.77	22.64	22.47	22.70	22.53			

SECUENCIA HISTORICA DE TEMPERATURAS EXTREMAS

Estación Variable	Est. Aeropuerto Camilo Daza		Est. Carmén de Tonchalá	
	Temperatura Máxima abs.	Temperatura Mínima abs.	Temperatura Máxima abs..	Temperatura Mínima abs..
Año	° c	° c.	° c	° c
1950	42,5	---	31,1*	---
51	38,4	---	36,7*	---
52	37,7	---	36,3*	---
53	39,0	14,0	37,0*	14,9*
54	---	15,0	---	15,4*
55	39,00	13,0	37,0*	14,0*
56	36,5	---	35,6*	---
57	38,0	14,5	36,5*	15,2*
58	---	---	---	---
59	38,5	14,0	36,8*	14,9*
60	37,6	15,6	32,2*	15,6*
61	36,9	17,0	35,8*	16,3*
62	36,0	17,0	35,3*	16,3*
63	38,9	16,0	36,5*	15,8*
64	38,5	16,0	36,8*	15,8*
65	39,5	10,0	37,3*	13,1*
66	39,0	17,4	37,0*	16,5*
67	40,0	17,0	37,6*	16,3*
68	38,0	17,4	36,5*	16,5*
69	38,5	17,0	37,4	16,0
70	38,5	18,0	36,5*	14,0
71	---	---	35,6	15,0
72	---	---	37,0	17,0
73	38,0	18,4	39,6	16,9*
74	36,2	16,4	35,8	14,6
75	36,0	18,4	36,0	15,0
76	37,6	---	36,2*	16,2*
77	---	---	37,6	---

* Dato hallado por correlación

En los promedios de variación diurna se presentan los valores más bajos hacia las 13 horas y los valores más altos de las 04 horas a las 06 horas, siendo estos valores de 54% y 81% para Carmen de Tonchalá (Gráfico II.H-1)

El promedio mensual de la humedad relativa presenta variaciones de 59.42% a 70.35% para el aeropuerto y de 58.67% a 78.83% para Carmen de Tonchalá; los valores de promedio intramensual de máximos y el promedio intramensual de mínimos varían entre un promedio interanual de 57.88% y 81.93% para el Aeropuerto, dando así una oscilación aproximada de 30%, mientras que en Carmen de Tonchalá varía entre 51.25% y 83.38% para una oscilación promedio de 32%. (Cuadro II.H-1, Gráficas II.H-2 y H-3). Los valores más bajos se presentan en los meses de junio a septiembre y los valores más altos de noviembre a febrero.

El cuadro II.H-2 contiene las secuencias históricas de extremos intramensuales de promedios mensuales. Un análisis probabilístico de extremos permite concluir que para un lapso medio de retorno de 20 años corresponden los siguientes valores:

Estación	Humedad Relativa	
	Media Máxima	Media Mínima
	%	%
Aeropuerto Camilo Daza	99.0	35.7
Carmen de Tonchalá	98.8	25.9

Las gráficas II.H-4 a II.H-7 muestran las correspondientes funciones probabilísticas.

Media anual 07, 13, 19 horas; Estación: Aeropuerto Camilo Daza
Carmen de Táchira

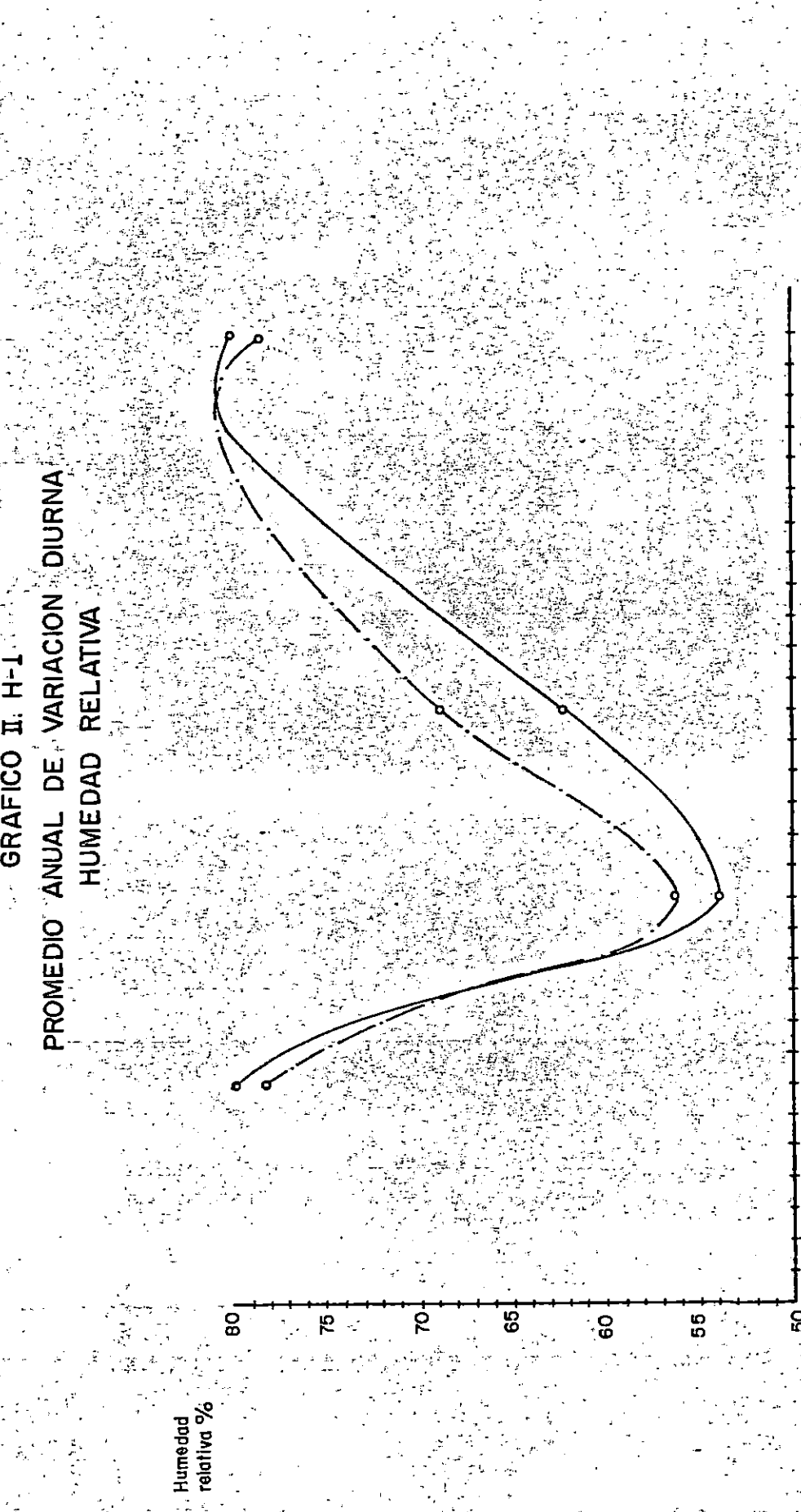
CONVENCIONES:

07 Horas

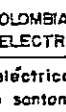
19

13

07



INSTITUTO COLOMBIANO
DE ENERGIA ELECTRICA
centrales eléctricas
del norte de santander



SOCIEDAD GENERAL
DE CONSULTORIA LTDA

APROBO:
PROYECTO TERMOTASAJERO
FECHA:



INSTITUTO COLOMBIANO
DE ENERGIA ELECTRICA
centrales eléctricas
del norte de santander

C
E
N
S

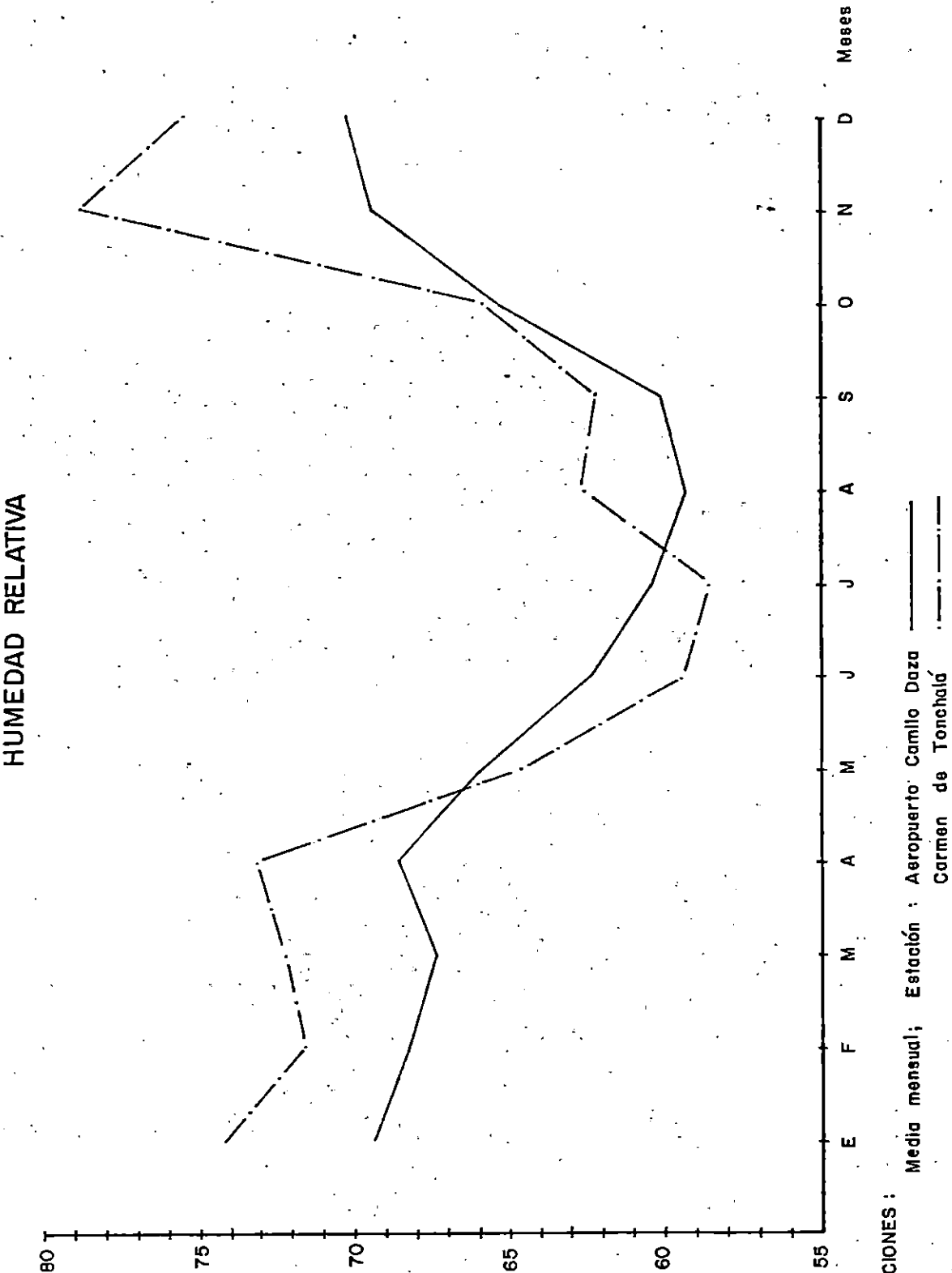


SOCIEDAD GENERAL
DE CONSULTORIA LTDA

PROYECTO TERMOTASAJERO

APROBO:	
FECHA:	

GRAFICO II. H-2
PROMEDIO INTERANUAL INTRAMENSUAL
HUMEDAD RELATIVA



CONVENCIONES : Media mensual; Estación : Aeropuerto Camilo Daza — Carmen de Tonchá - - -

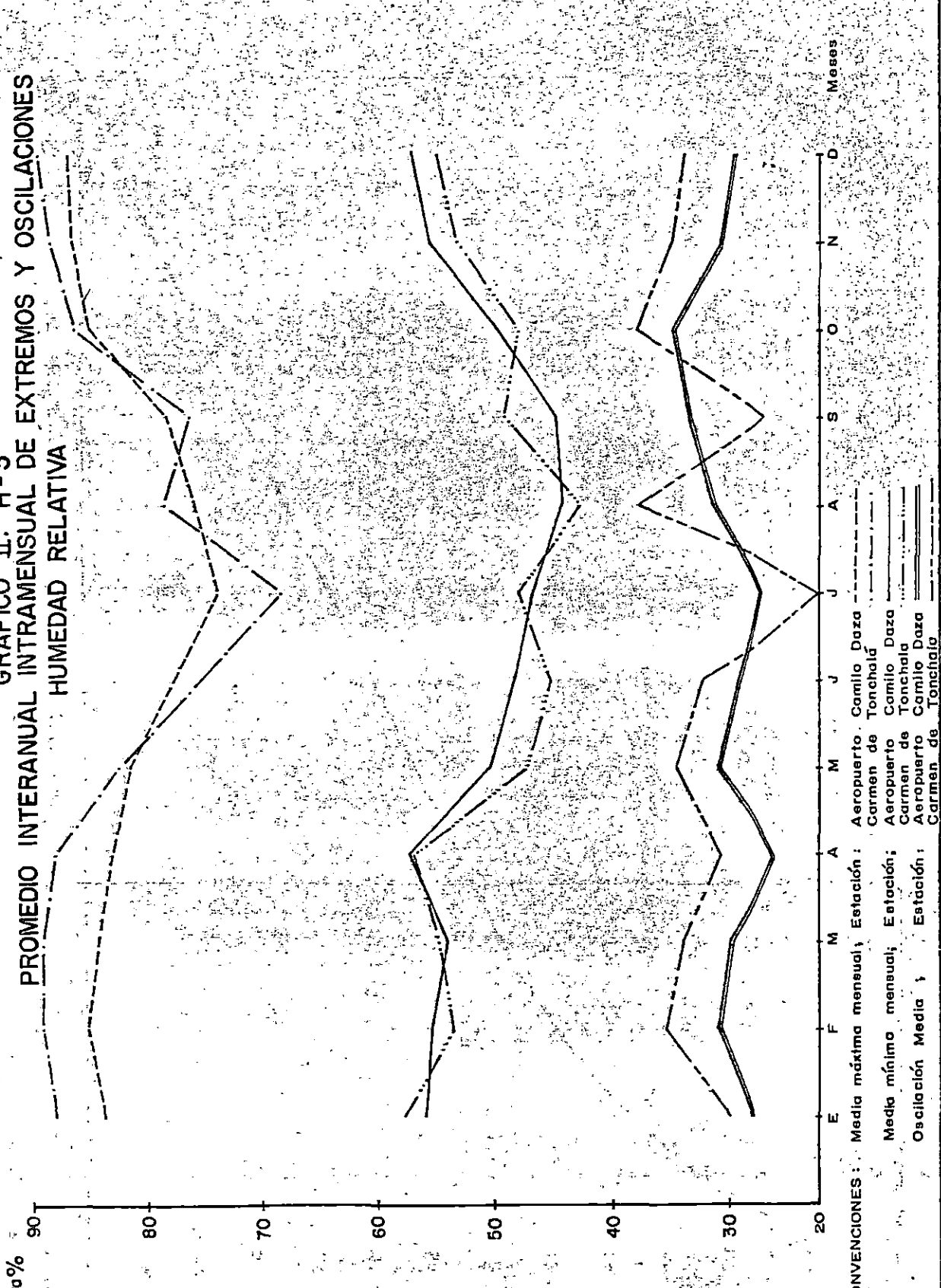


INSTITUTO COLOMBIANO
DE ENERGIA ELECTRICA
centrales eléctricas
del norte de santander

SOCIEDAD GENERAL
DE CONSULTORIA LTDA

PROYECTO TERMOTASAJO
APROBADO:
FECHA:

GRAFICO II. H - 3
PROMEDIO INTERANUAL INTRAMENSUAL DE EXTREMOS Y OSCILACIONES
HUMEDAD RELATIVA



CONVENCIONES : Media máxima mensual; Estación : Aeropuerto Camilo Daza
Media mínima mensual; Estación : Carmen de Toncholá
Media mensual; Estación : Aeropuerto Camilo Daza
Oscilación Media ; Estación : Aeropuerto Camilo Daza
Oscilación Extremos ; Estación : Carmen de Toncholá



icel

INSTITUTO COLOMBIANO
DE ENERGIA ELECTRICA
centrales eléctricas
del norte de santander

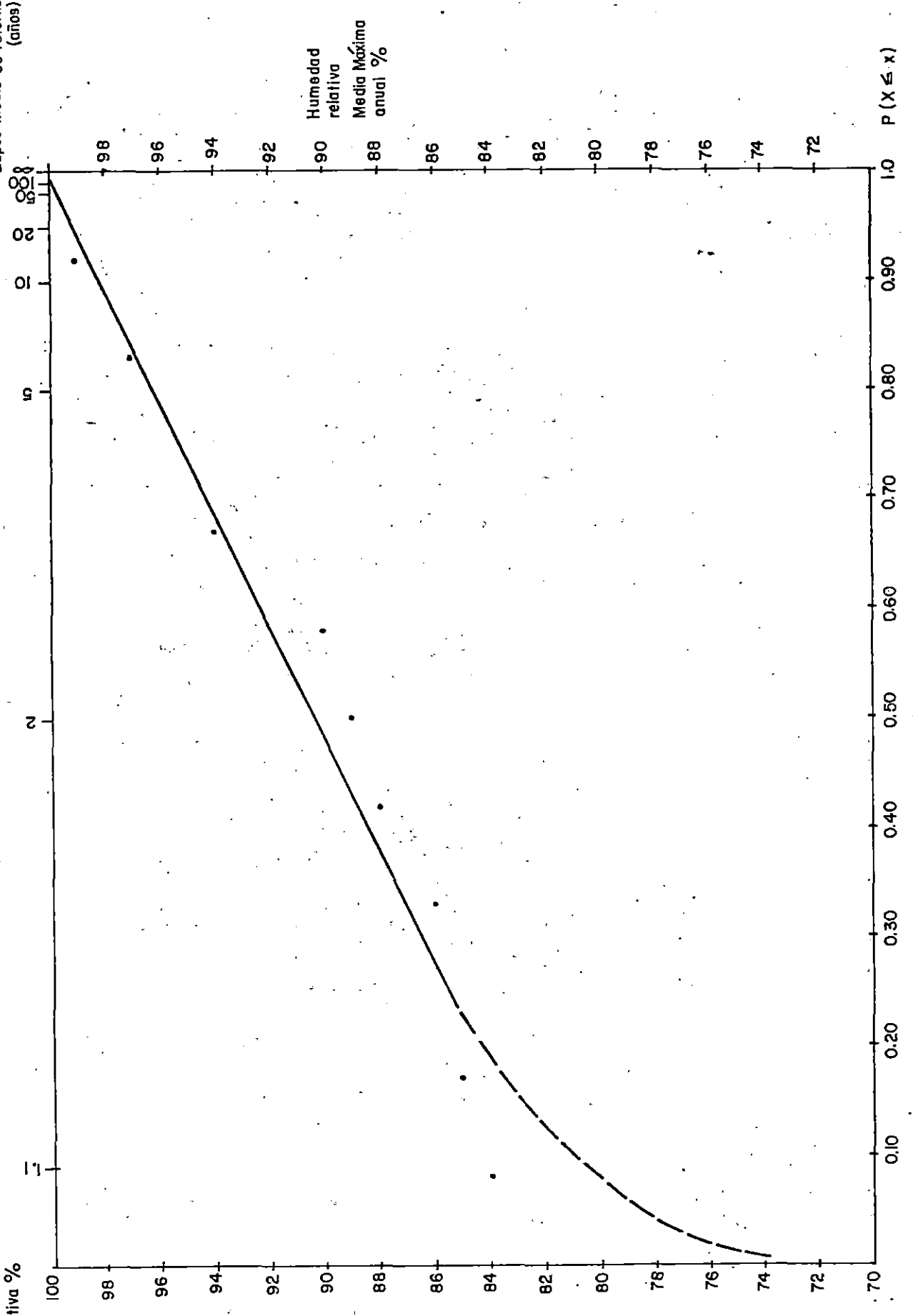
C
E
N
S

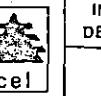
SOCIEDAD GENERAL
DE CONSULTORIA LTDA

PROYECTO TERMOTASAJERO

A PROBO:
FECHA:

GRAFICA II. H-4 HUMEDAD RELATIVA: MAXIMO INTRANUAL DEL PROMEDIO MENSUAL



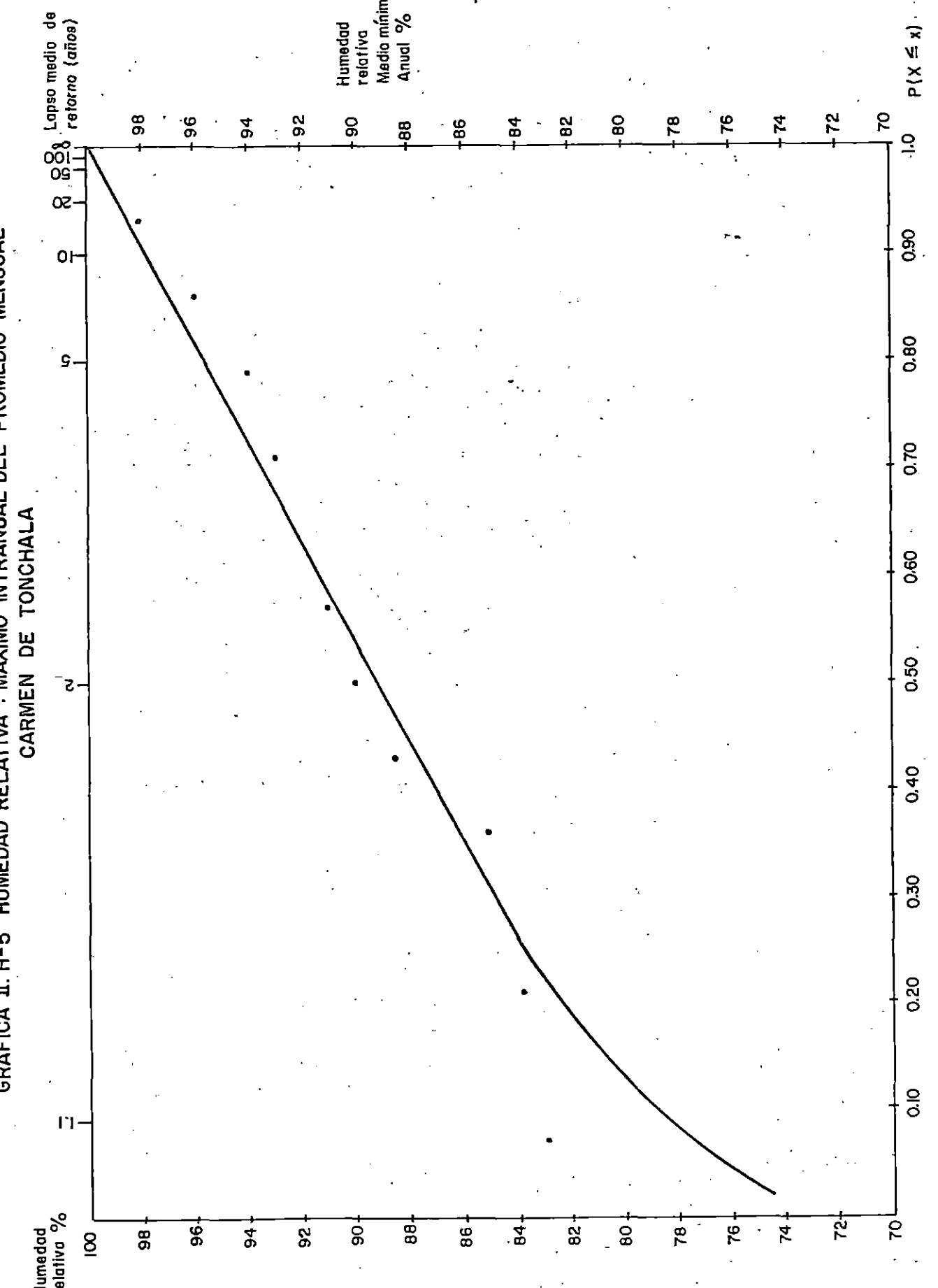


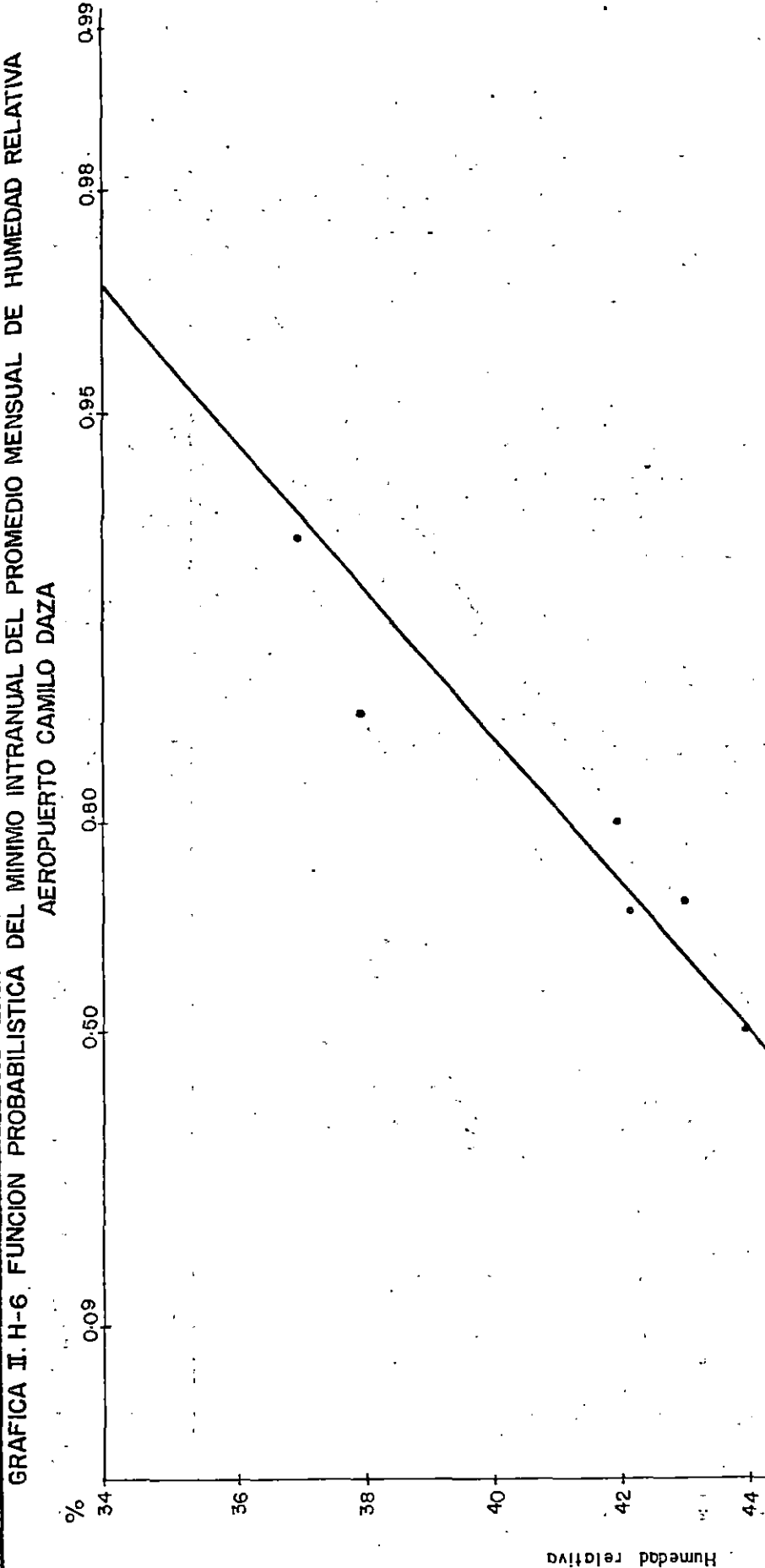
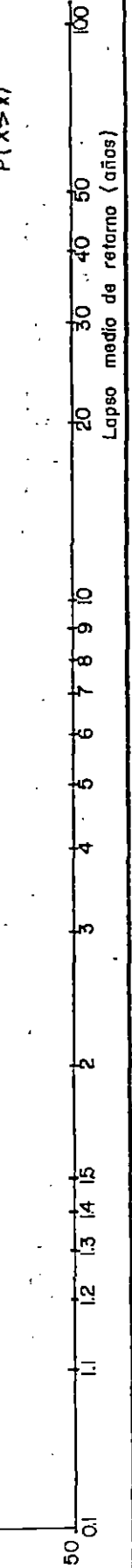
INSTITUTO COLOMBIANO
DE ENERGIA ELECTRICA
centrales eléctricas
del norte de santander

C
E
N
S

SOCIEDAD GENERAL
DE CONSULTORIA LTDA

PROYECTO TERMOTASA JERO	APROBO:
	FECHA:

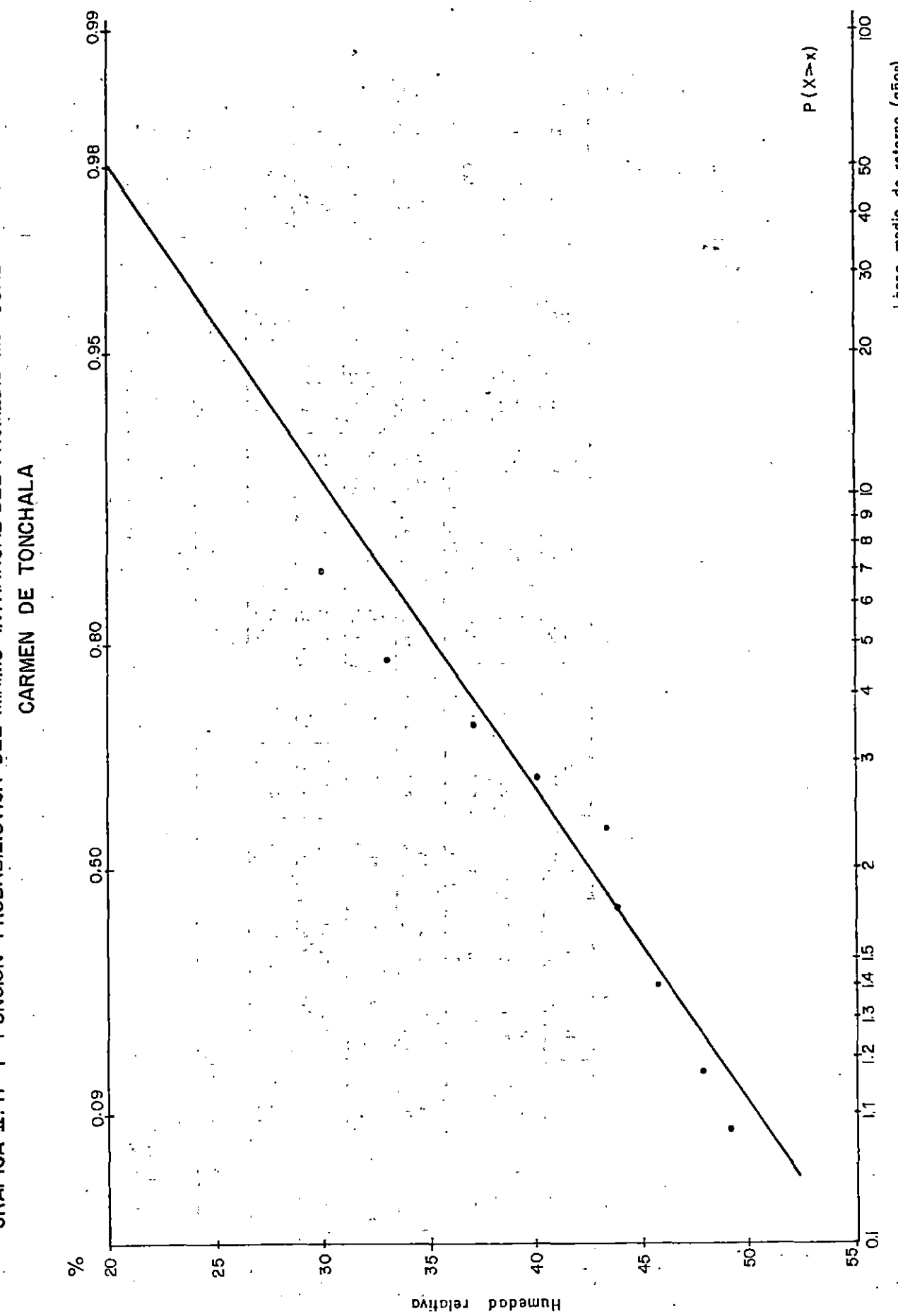




	INSTITUTO COLOMBIANO DE ENERGIA ELECTRICA centrales eléctricas del norte de santander	C E N S		SOCIEDAD GENERAL DE CONSULTORIA LTDA	PROYECTO TERMOTASAJERO	APROBO:	
						FECHA:	

Lápso medio de retorno (años)

$P(X \geq x)$



INSTITUTO COLOMBIANO
DE ENERGÍA ELECTRICA
centrales eléctricas
del norte de santander

C N C S

SOCIEDAD GENERAL
DE CONSULTORIA LTDA

PROYECTO TERMOTASAJERO

A PROBO:

FECHA:

CUADRO N°. II.H.1
PROMEDIO INTRAMENSUAL

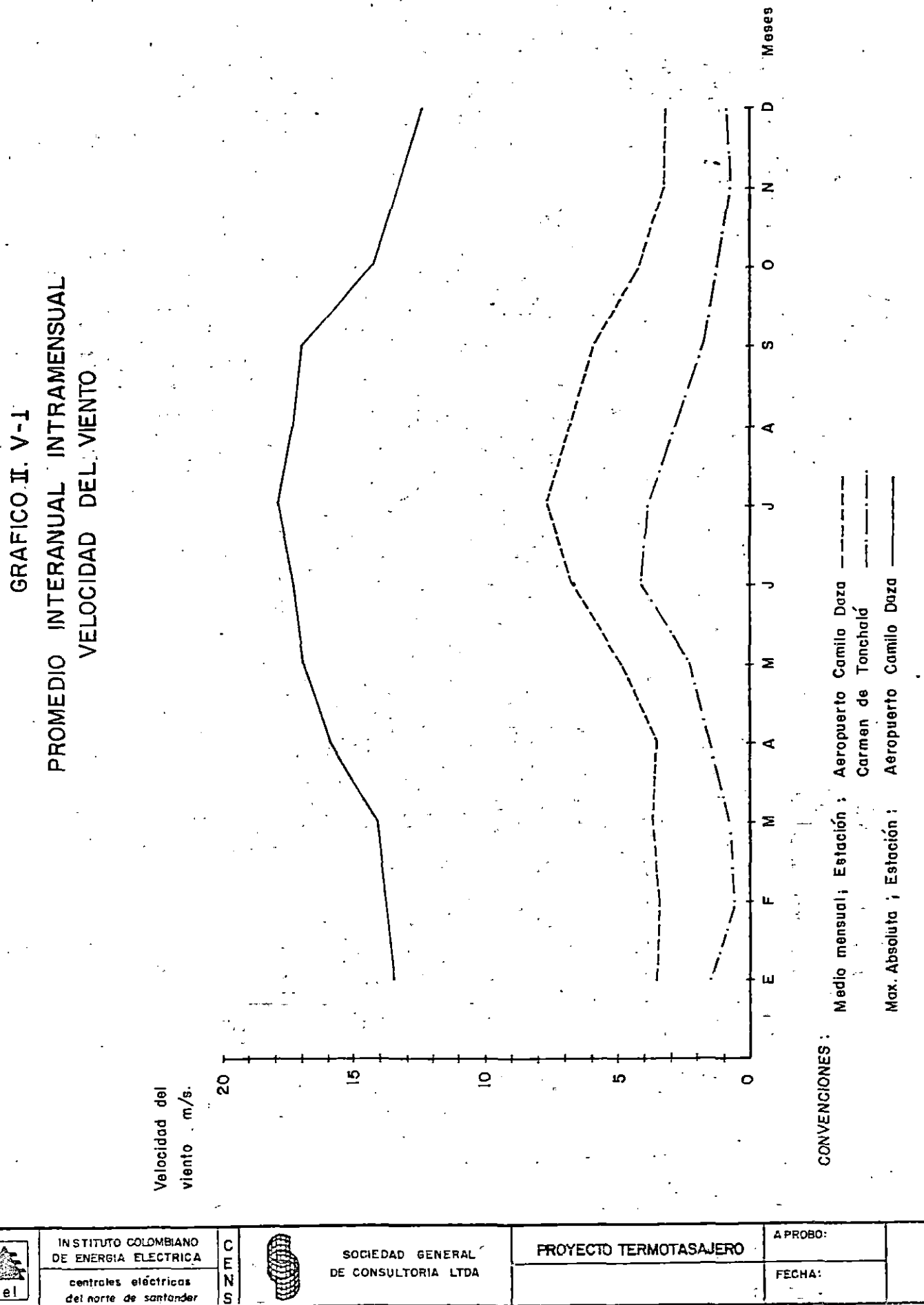
FENÓMENO: HUMEDAD RELATIVA
UNIDADES DE EXPRESIÓN %
FUENTE: Himat (archivo CENS)

ESTACIONES:

ACD: Aeropuerto Camilo Daza, Cúcuta N. de. g.

CDT: Carmén de Táchala, Cúcuta N. de. s.

VARIABLE	Mes	Estación	E	R	N	A	M	J	J	A	S	O	N	D	Promedio Anual
PROMEDIO 07 HORAS	ACD	83.79	94.55	83.42	82.89	79.08	72.54	70.58	72.67	75.75	82.92	85.36	85.33	79.90	
	CDT	83.80	96.14	86.28	85.00	76.33	68.00	65.50	71.00	71.00	78.20	81.67	83.75	78.06	
PROMEDIO 13 HORAS	ACD	57.90	57.90	56.5	58.11	52.66	50.77	49.00	45.83	47.50	52.50	58.00	59.25	53.83	
	CDT	64.80	57.42	57.28	59.60	51.33	49.50	50.13	55.25	51.40	62.16	64.75	56.59		
PROMEDIO 19 HORAS	ACD	67.90	66.18	65.58	66.67	66.33	64.00	60.17	60.42	61.75	69.17	73.50	72.92	62.22	
	CDT	71.40	71.71	72.85	75.40	66.83	61.17	59.67	62.25	60.00	68.20	77.50	77.25	68.05	
PROMEDIO MENSUAL	ACD	69.43	68.37	67.44	68.67	65.92	62.42	60.46	59.42	60.20	65.38	69.48	70.35	65.63	
	CDT	74.00	71.71	72.28	73.20	64.67	59.50	58.67	62.75	62.25	66.00	78.83	75.50	68.28	
PROMEDIO INTRAMENSUAL DE MAXIMOS	ACD	83.8	85.18	84.33	83.11	81.58	77.85	74.17	76.00	76.50	85.08	86.54	87.00	81.93	
	CDT	88.0	89.14	89.00	88.00	82.66	75.67	68.67	78.75	76.50	86.20	88.50	89.50	83.38	
PROMEDIO INTRAMENSUAL DE MINIMOS.	ACD	56.10	55.55	54.25	57.44	50.5	48.54	47.17	44.58	43.00	50.13	55.91	57.25	51.08	
	CDT	58.00	53.71	55.00	57.20	47.67	45.50	46.33	43.00	49.50	48.20	53.67	55.25	51.45	
OSCILACION MEDIA	ACD	27.90	31.00	30.08	25.66	31.08	29.31	27.08	31.42	33.50	34.92	30.91	29.83	30.22	
	CDT	30.00	35.43	34.14	30.80	34.83	32.50	20.17	38.00	26.75	38.00	35.00	34.00	32.47	



INSTITUTO COLOMBIANO
DE ENERGIA ELECTRICA
centrales eléctricas
del norte de santander

C
E
N
S

SOCIEDAD GENERAL
DE CONSULTORIA LTDA

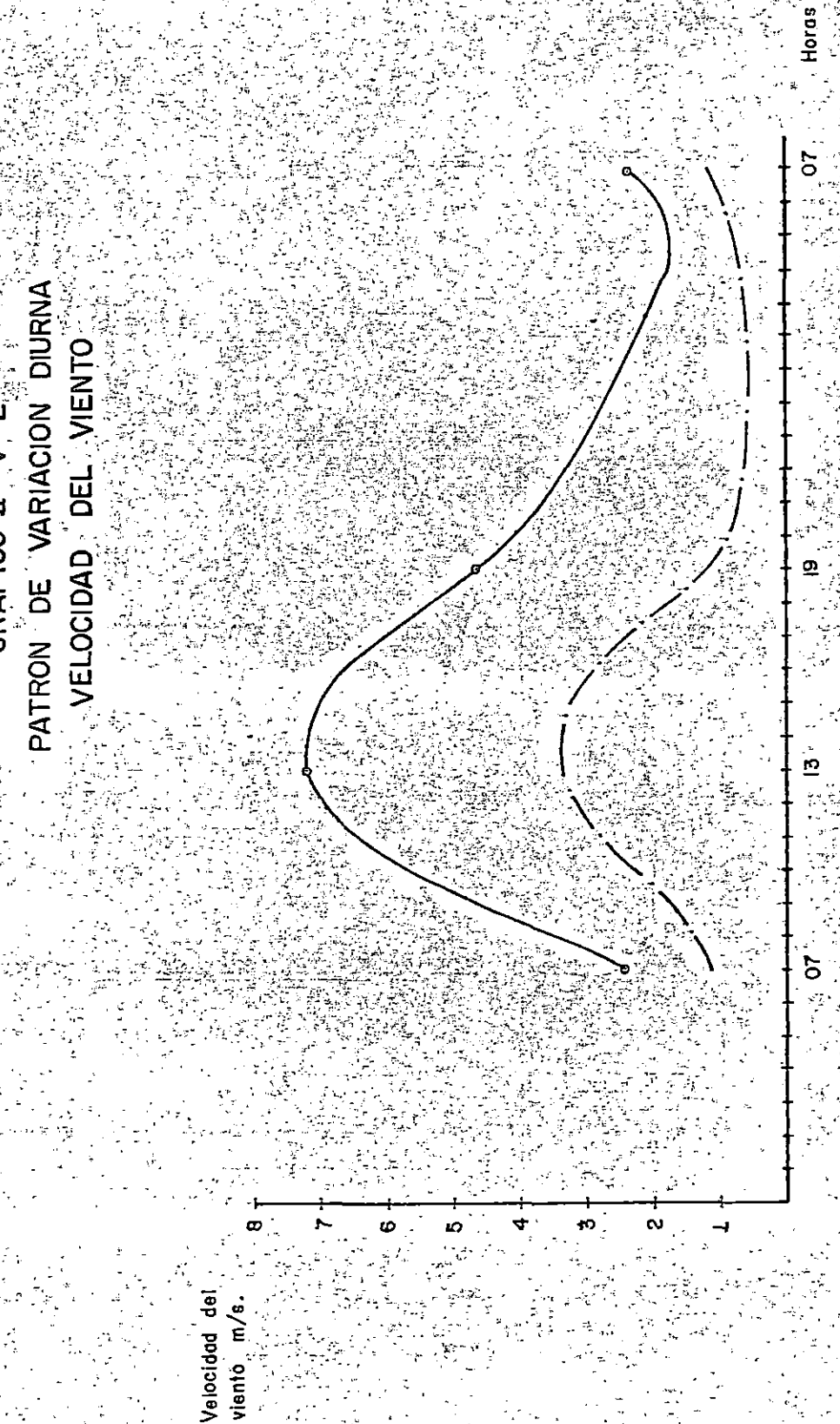
PROYECTO TERMOTASAJERO

A PROBO:

FECHA:

CONVENCIONES :

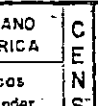
Medio anual 07, 13, 19 horas; Estación : Aeropuerto Camilo Daza
Carmen de Táchira



INSTITUTO COLOMBIANO
DE ENERGIA ELECTRICA
centrales eléctricas
del norte de santander

CEN

S



SOCIADAD GENERAL
DE CONSULTORIA LTDA

PROYECTO TERMOTASA JERO

APROBADO:
FECHA:

MENSUAL INTRA-ANNUAL

卷之三

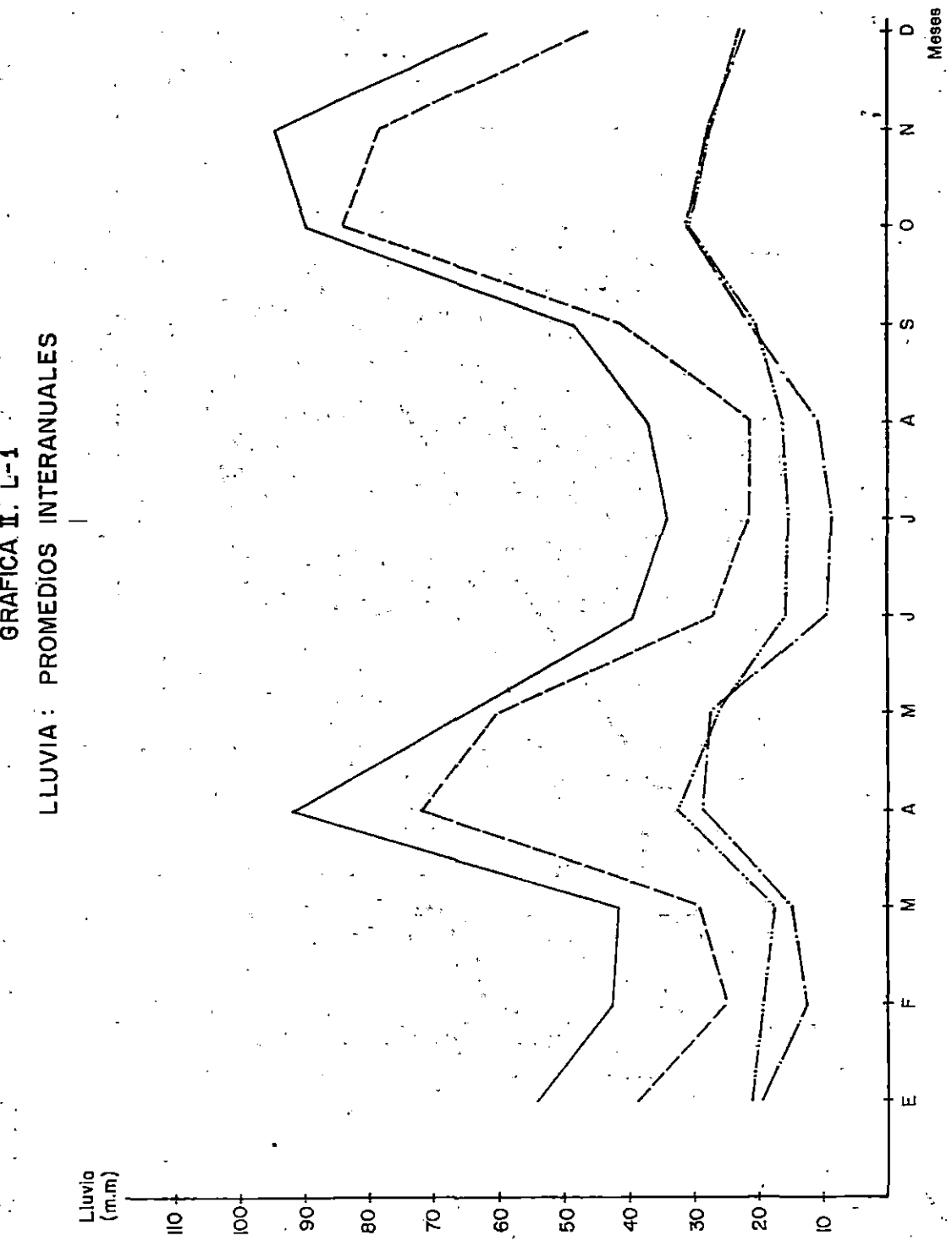
FENOMENO: Velocidad del Viento

UNIDADES DE EXPRESIÓN: M/S

CDT: Carmén de Tonchala, Cúcuta N. DE S.

Variable	Estatación	E.	F.	M.	A.	M.	J.	J.	A.	S.	O.	N.	D.	PROMEDIO ANUAL
MEDIA 07	ACD	1.05	0.92	0.78	1.07	2.81	4.91	5.84	4.52	3.39	1.85	1.02	0.94	2.42
	CDT	0.5	0.1	0.13	0.47	1.53	2.23	3.35	3.02	1.23	0.70	0.37	0.30	1.16
MEDIA 13 HORAS	ACD	5.92	5.81	6.01	5.97	7.40	9.51	10.16	9.45	8.61	6.42	5.56	5.62	7.20
	COT	3.15	1.75	1.87	3.00	4.77	6.77	5.80	5.02	3.07	3.00	1.90	1.55	3.37
MEDIA 19 HORAS	ACD	3.75	3.75	4.24	3.82	4.54	5.80	6.95	6.55	5.74	4.25	3.44	3.17	4.67
	CDT	0.95	0.05	0.33	0.67	1.2	1.53	4.93	2.22	0.83	0.60	0.27	0.75	1.19
MEDIA ANNUAL	ACD	3.57	3.45	3.69	3.59	4.90	6.76	7.70	6.83	5.89	4.24	3.30	3.21	4.78
	CDT	1.50	0.60	0.83	1.50	2.37	4.10	3.90	2.90	1.80	1.30	0.77	0.63	1.87
MAXIMA ABSOLUTA.	ACD	13.47	13.8	14.07	15.93	16.98	17.35	17.69	17.31	16.98	14.27	12.35	12.41	15.32

- Total mensual Carmen de Toncháid
 - Total mensual Aeropuerto Comilo Daza
 - Máxima intramensual en 24 horas, Aeropuerto Comilo Daza
 - Máxima intramensual en 24 horas, Carmen de Toncháid

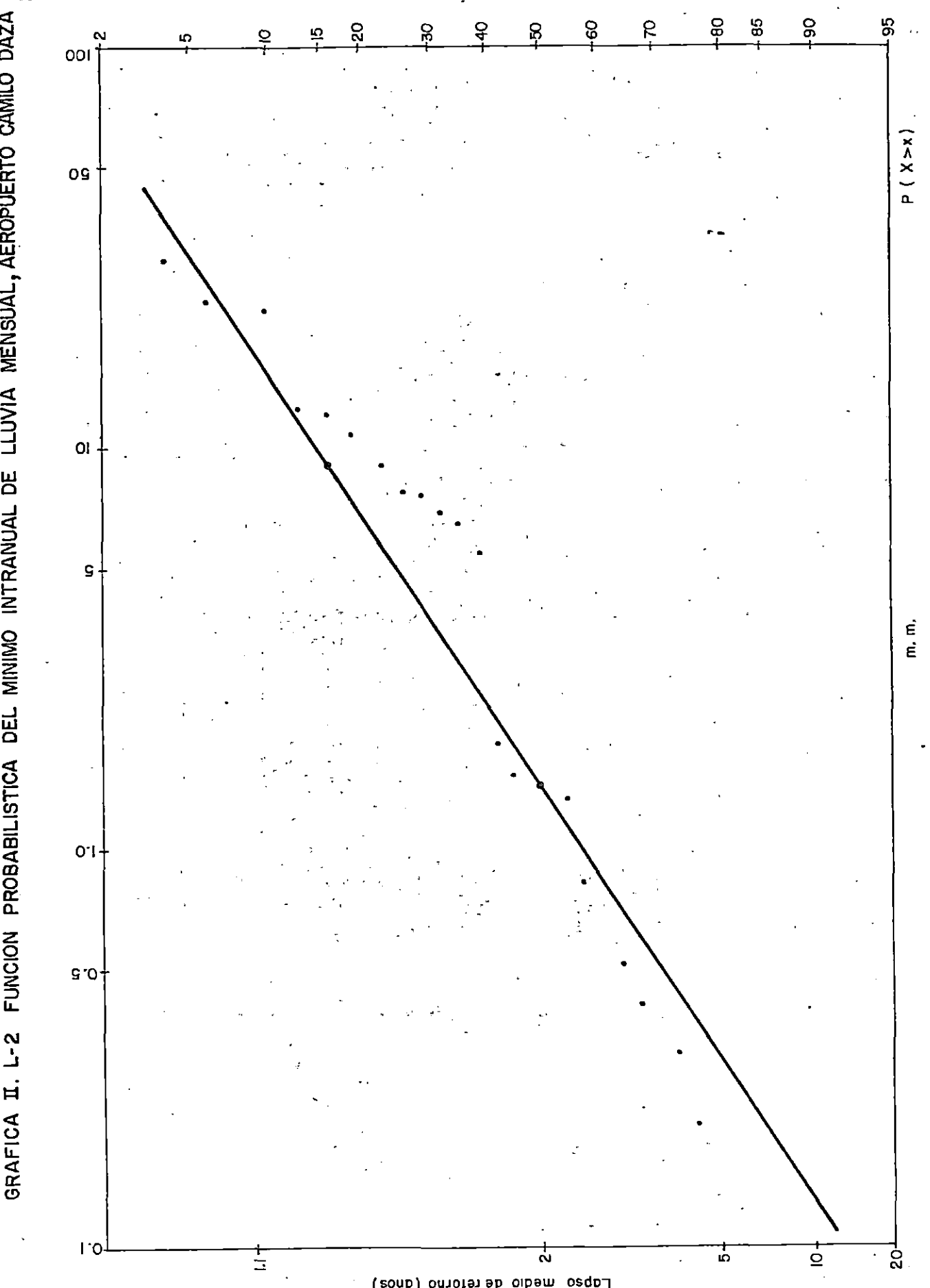


INSTITUTO COLOMBIANO
 DE ENERGIA ELECTRICA
 centrales eléctricas
 del norte de Santander

C
 E
 N
 S

SOCIEDAD GENERAL
 DE CONSULTORIA LTDA

PROYECTO TERMOTASAJO
 APROBADO:
 FECHA:



INSTITUTO COLOMBIANO
DE ENERGIA ELECTRICA
centrales eléctricas
del norte de santander

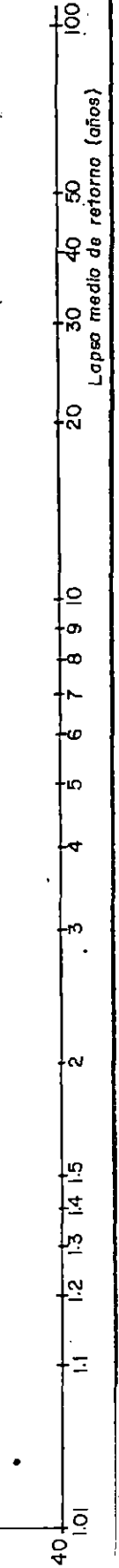
CEN

S

SOCIEDAD GENERAL
DE CONSULTORIA LTDA

PROYECTO TERMOTASAJERO

APROBÓ:
FECHA:

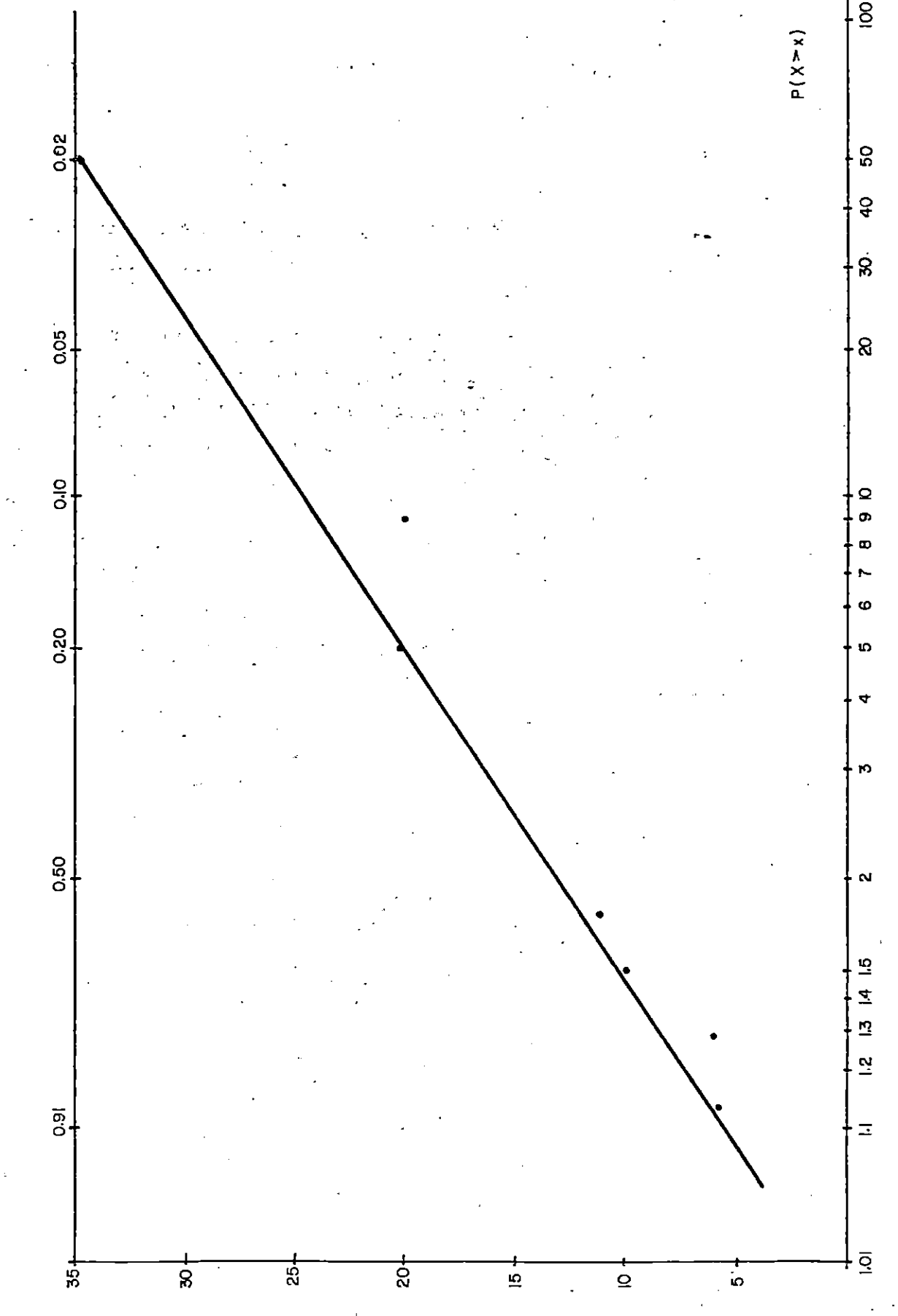


GRAFICA II. L-4 FUNCION PROBABILISTICA DEL MINIMO INTRANUAL DE LOS TOTALES MENSUALES DE LLUVIA
CARMEN DE TONCHALA

 INSTITUTO COLOMBIANO DE ENERGIA ELECTRICA centrales eléctricas del norte de santander	 C E N S	 SOCIEDAD GENERAL DE CONSULTORIA LTDA	APROBO:
			FECHA:

Lapso medio de retorno (años)

$P(X > x)$



GRAFICA II. L-5 FUNCION PROBABILISTICA DE LA MAXIMA LLUVIA EN 10 MINUTOS, CARMEN DE TONCHALA



INSTITUTO COLOMBIANO
DE ENERGIA ELECTRICA
centrales eléctricas
del norte de santander

CEN



SOCIEDAD GENERAL
DE CONSULTORIA LTDA

PROYECTO TERMOTASAJERO
APROBO:
FECHA:

P(X > x)

Lapso medio de retorno (años)

100

50

40

30

20

10

5

4

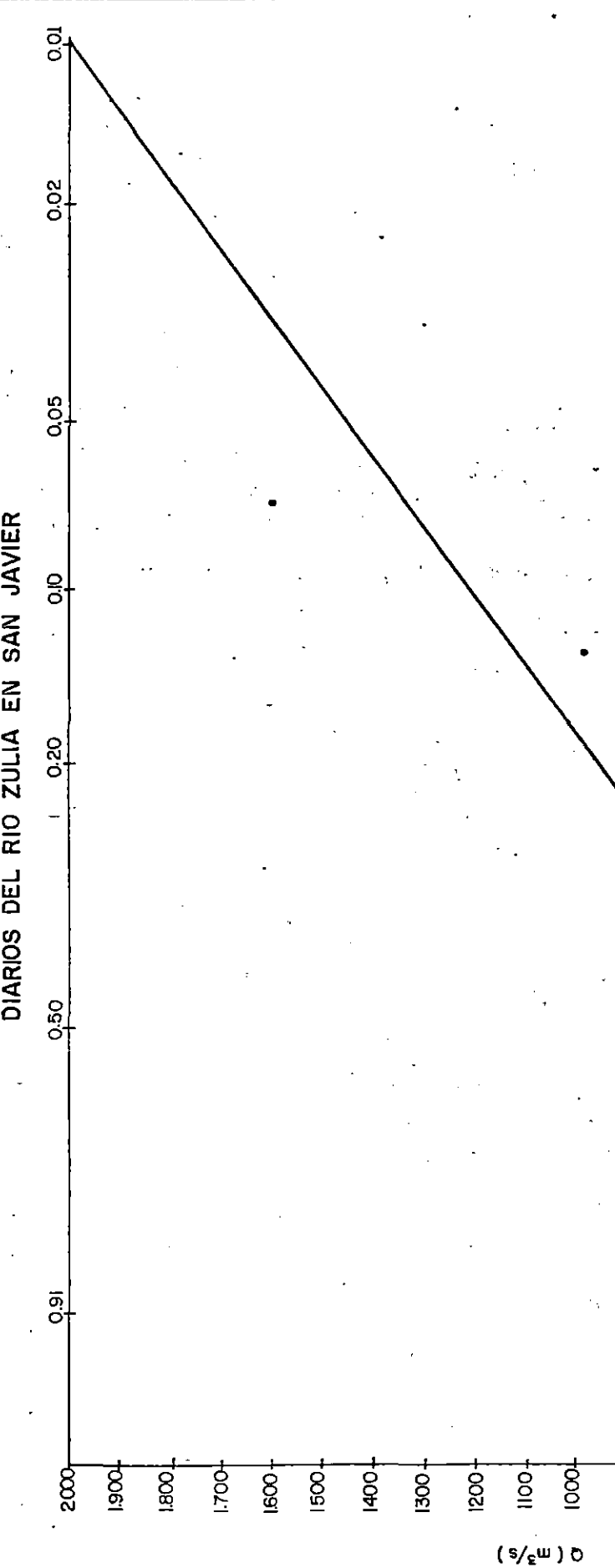
3

2

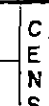
1

0.5

0.1



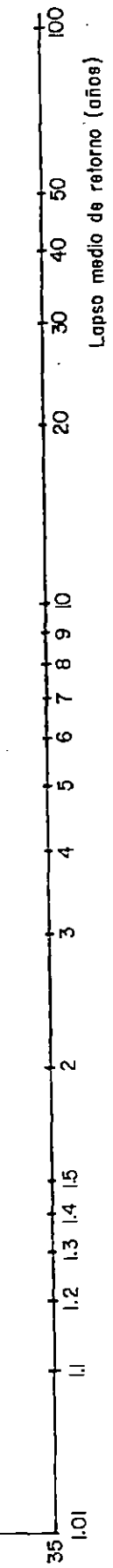
INSTITUTO COLOMBIANO
DE ENERGIA ELECTRICA
centrales eléctricas
del norte de santander



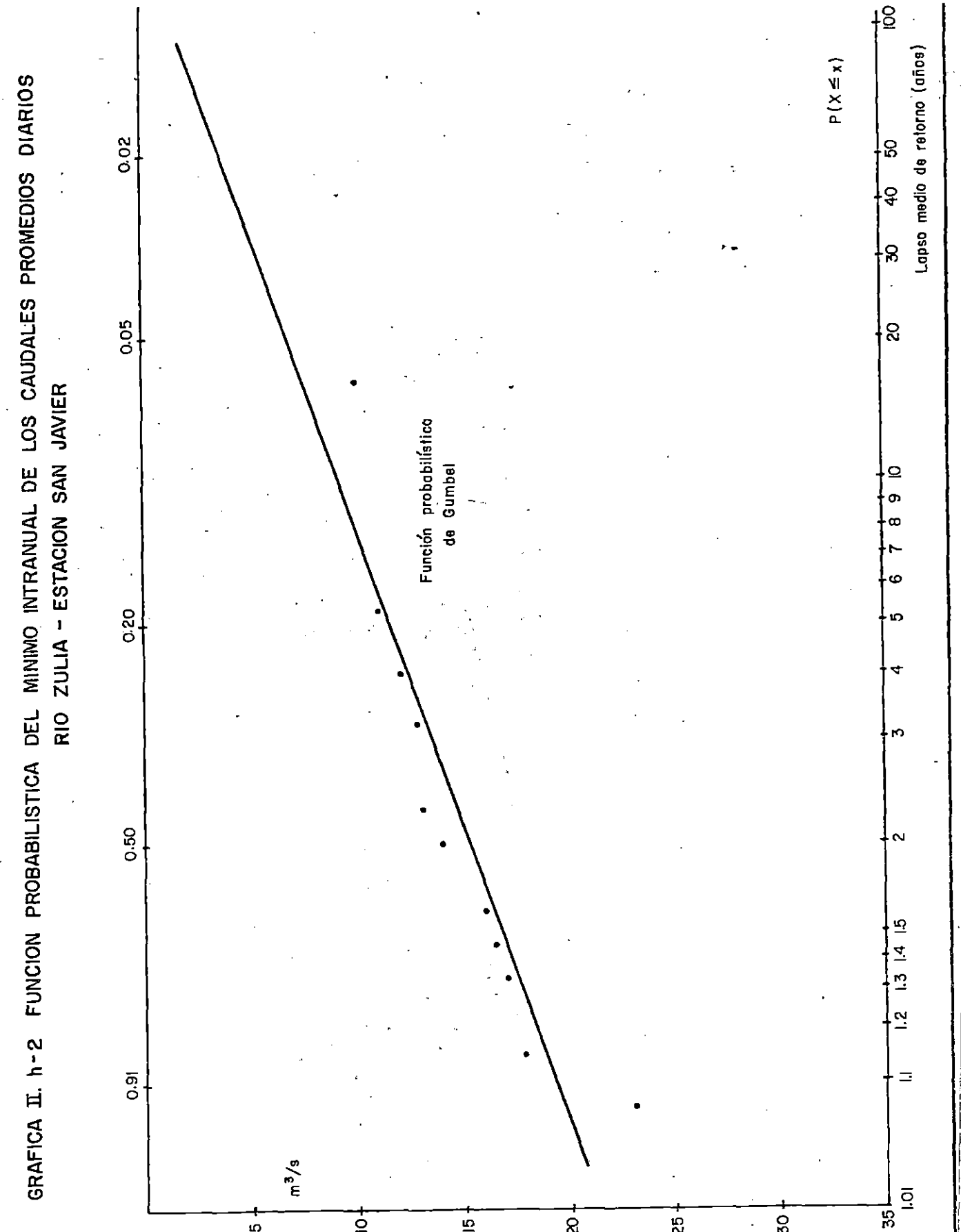
SOCIEDAD GENERAL
DE CONSULTORIA LTDA

PROYECTO TERMOTASAJERO

A PROBO:
FECHA:



GRAFICA II. h-2 FUNCION PROBABILISTICA DEL MINIMO INTRANUAL DE LOS CAUDALES PROMEDIOS DIARIOS
RIO ZULIA - ESTACION SAN JAVIER



INSTITUTO COLOMBIANO
DE ENERGIA ELECTRICA
centrales eléctricas
del norte de santander

C
E
N
S

SOCIEDAD GENERAL
DE CONSULTORIA LTDA

PROYECTO TERMOTASAJERO
APROBÓ:
FECHA:



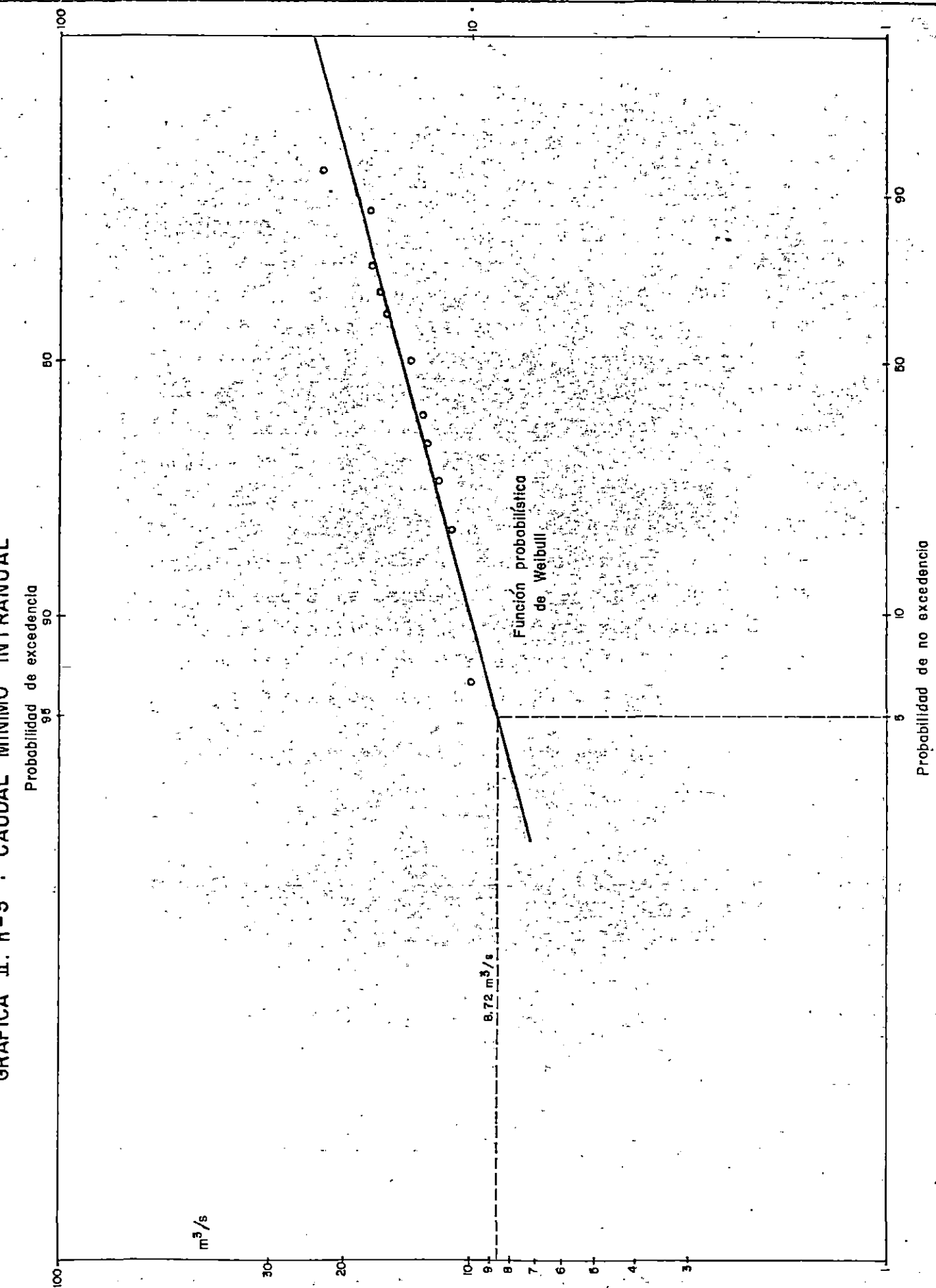
INSTITUTO COLOMBIANO
DE ENERGIA ELECTRICA
centrales eléctricas
del norte de santander

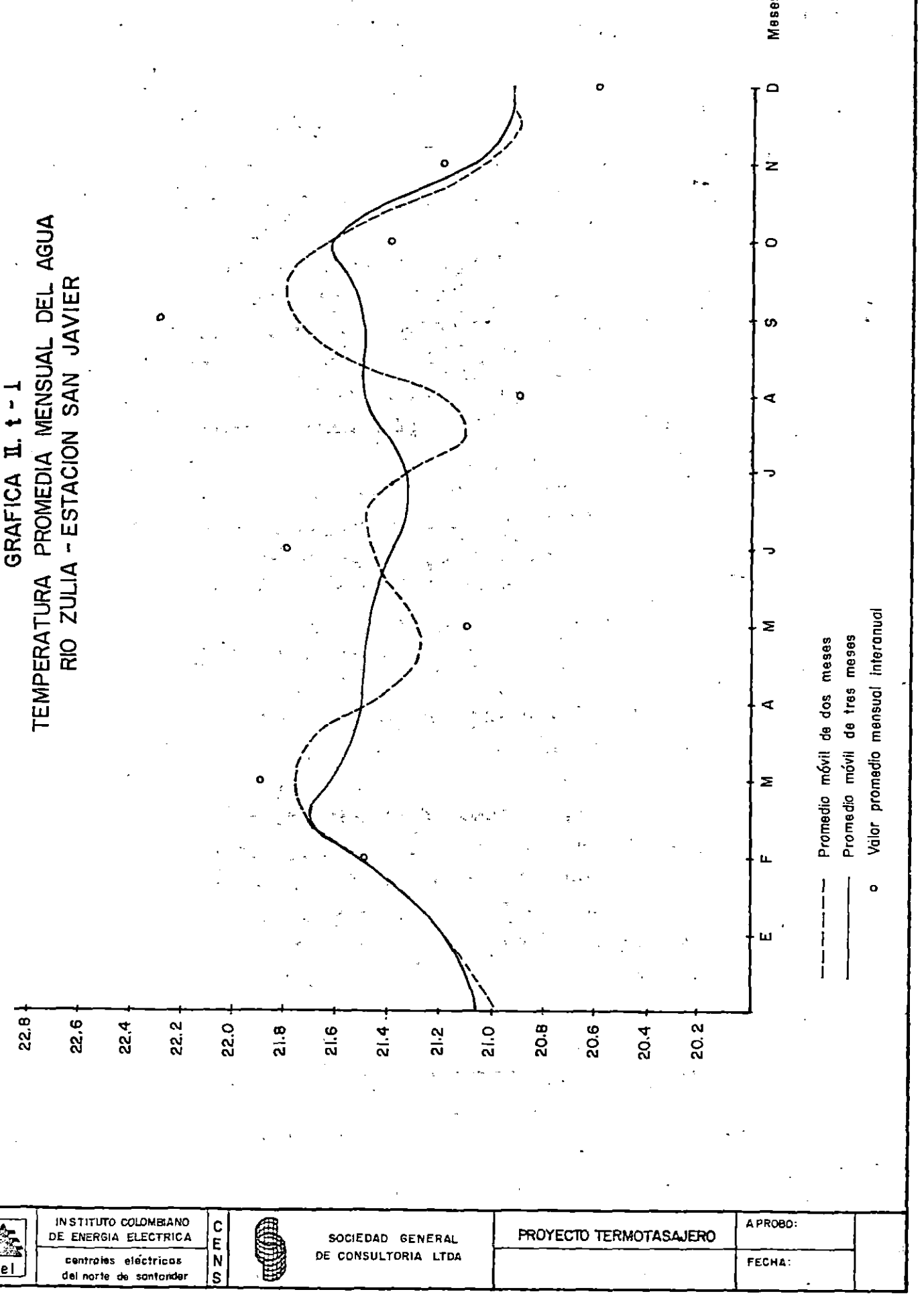
C
E
N
S

SOCIEDAD GENERAL
DE CONSULTORIA LTDA

PROYECTO TERMOTASAJERO

APROBO:
FECHA:





INSTITUTO COLOMBIANO
DE ENERGIA ELECTRICA
centrales eléctricas
del norte de santander



SOCIEDAD GENERAL
DE CONSULTORIA LTDA

PROYECTO TERMOTASAJERO

APROBÓ:

FECHA:

CUADRO No. II.C.2

Instituto Geológico de I.V.N. ESTACIONES HIDROLOGICAS Y MINERAS

Solicitud de Información Técnica

Oficio No. /

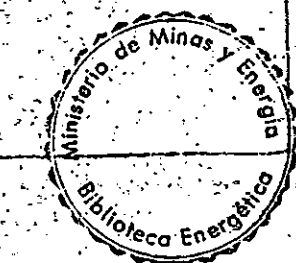
Bogotá, diciembre 11 de 1978

Muestras Nos.	6311 al 6315 Acueducto	6312 6313	No. 3 Herencia del Rio Portuguesa	No. 4 Herencia del Rio Portuguesa
Procedencia	La Andes	Carretero	Arrieta (arrista)	Arrieta (arrista)
Remitente	Compañía GENERAL DE CONSUMO S.A.			
Attn: Oficina de Aragua				
Dirección	Calle 72 # 12-77 Tel. 2555305			
Trabajo solicitado	Resuelto. 260/78 Ing. Geologas			
Muestra referencia	Bolivia 2093 noviembre 29/78			

RESULTADO DEL ANALISIS

Muestras Nos.	Latas	6311	6312	6313	6314	6315
Su Referencia	Bo.1 Puente Zalin	No.2 Zolin Sand	No.3 Herencia del Rio Portuguesa	No.4 Herencia del Rio Portuguesa	No.5 Rio Portuguesa	
	Viejo (arrista)	Carretero (arrista)	Arrieta (arrista)	Arrieta (arrista)	Arrieta (arrista)	
Turbiedad en SI0.2	2.50	7.50	12.20	12.20	17.00	mg/l
pH potencimétrico a 20°C	7.90	8.00	8.00	8.10	8.00	
Conductividad específica a 25°C	111.80	119.88	131.23	130.09	130.09	micromhos/cm.
Dureza Total E.D.T. en CaCO ₃	54.25	51.89	54.25	63.68	66.04	mg/l
Alcalinidad al la Fórmula Linares	5.00	4.50	5.00	5.00	5.00	
Alcalinidad al Acetato de Metilo en CaCO ₃	50.00	30.00	30.00	45.00	45.00	
Carbonatos	6.00	6.00	6.00	6.00	6.00	
Bicarbonatos en SO ₃	60.99	36.59	54.89	54.89	56.89	
Cloruro en Cl	14.20	14.40	17.75	14.20	14.20	
Sulfato en SO ₄	3.00	2.00	2.00	3.00	3.00	
Nitrato en NO ₃	2.80	2.00	1.50	2.00	2.00	
Hierro total en Fe	0.60	0.40	0.30	0.25	0.25	
Hierro en suspensión en Fe	0.10	0.1	0.14	0.14	0.14	
Hierro en disolución en Fe	0.50	0.43	0.26	0.11	0.11	
Calcio en Ca	15.09	15.9	15.05	16.94	16.94	20.00
Magnesio en Mg	3.96	2.8	2.9	3.97	3.83	
Fosfato en P	0.5	0.5	0.05	0.05	0.05	
Amonio en NH ₄	1.00	0.10	1.00	1.00	1.00	
Ionato en K	5.00	5.0	5.00	5.00	4.00	
Undio en Ba						

Pase a la otra pág. 2



CUADRO N° II.C.2 (cont)

Urto de No. 101-9.1:

- 3 -

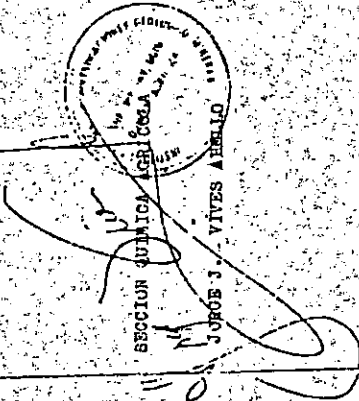
NOTAS

Las muestras analizadas son suficientemente imjorables ya sea por su sujeción (falta 5 m.s/1), o por su contenido de hierro. (falta 0.30 m.s/1).

En cuanto a su duraza se clasifican como aguas acidizadas.

Para irrigación se clasifican en el grupo C 51, debajo polvo de calización y bajo tellero de oxidación para los cultivos.

Ejecutado por: Dra. M. Ortíz Pérez Hernández



/abn-

Subdirección Investigaciones Químicas
Oficio N°. 61608C

Bogotá, D.C., enero 30 de 1979

CUADRO N° II.C.3

INSTITUTO NACIONAL DE INVESTIGACIONES GEOLOGICO-MIÉTRICAS

"IEGOMIA B"

Muestra No.: 04 al 011-Arias
Procedencia: Corriente Individua
Remitente: JAIME SÁNDAR LIMA
Dirección: Quill 7B N° 9-57 Tel. 485641
Trabajo solicitado: Pennl. 260/78 Inspeccines
Muestra referencia: Boleta 04 enero 16/79

RESULTADO DEL ANÁLISIS

Muestra Nro. Su referencia	No. 01 Zulia	No. 02 Zulia	No. 03 Zulia	No. 04 Zulia	No. 05 Zulia	No. 06 Zulia	No. 07 Zulia	No. 08 Zulia	No. 09 Zulia	No. 010 Zulia	No. 011 Zulia
Turbiedad en 510 ₂	2.00	2.00	2.50	2.50	2.00	2.00	2.50	2.50	2.00	2.00	2.00
pH Potenciométrico a 20°C	8.20	8.20	8.20	8.10	8.20	8.20	8.10	8.20	8.20	8.20	8.20
Conductividad específica a 25°C	222.32	203.04	188.50	178.22	231.24	183.05	178.90	174.10	174.10	174.10	174.10
Dureza Total E.D.T.A. en CaCO ₃	97.08	81.37	177.75	74.99	99.50	80.54	75.23	72.81	72.81	72.81	72.81
Alcalinidad a la Phenolfalerna	0.00	0.00	0.00	0.00	0.00	0.00	0.00	0.00	0.00	0.00	0.00
Alcalinidad al Antrancido de Metilo en CaCO ₃	90.21	80.72	72.85	68.73	84.69	70.10	68.26	66.32	66.32	66.32	66.32
Carbonatos	0.00	0.00	0.00	0.00	0.00	0.00	0.00	0.00	0.00	0.00	0.00
Bicarbonatos en HCO ₃	110.08	98.48	88.88	83.86	103.12	83.52	83.28	80.91	80.91	80.91	80.91
Cloruros en Cl ⁻	14.18	14.18	14.18	14.18	14.18	14.18	14.18	14.18	14.18	14.18	14.18
Sulfato en SO ₄ ²⁻	0.60	0.50	0.60	0.60	10.00	0.60	0.60	0.50	0.50	0.50	0.50
Filtratos en NO ₃ ⁻	0.00	0.00	0.00	0.00	0.00	0.00	0.00	0.00	0.00	0.00	0.00
Hierro total en Fe	0.40	0.40	0.39	0.35	0.35	0.35	0.35	0.35	0.35	0.35	0.35
Hierro en solución en Fe ²⁺	0.10	0.10	0.10	0.10	0.10	0.10	0.10	0.10	0.10	0.10	0.10
Hierro en suspensión en Fe ²⁺ (por direc- tencia)	0.30	0.30	0.27	0.23	0.23	0.23	0.23	0.23	0.23	0.23	0.23
Calcio en Ca	22.22	26.66	31.10	30.00	34.44	32.22	23.32	22.22	22.22	22.22	22.22
Magnesio en Mg	9.96	4.97	0.00	0.00	3.21	0.00	4.05	4.14	4.14	4.14	4.14
Manganoso en Mn	- 0.05	- 0.05	- 0.05	- 0.05	- 0.05	- 0.05	- 0.05	- 0.05	- 0.05	- 0.05	- 0.05
Potasio en K	0.80	0.80	0.82	0.82	0.82	0.82	0.82	0.82	0.82	0.82	0.82
Sodio en Na	6.00	6.00	7.70	6.00	6.00	6.00	6.00	6.00	6.00	6.00	6.00
Represas											
Incora (abajo) Incora (abajo)											
Centro											
Orilla Izq.											
Represas											
Incora (abajo) Incora (abajo)											
Centro											
Orilla Der.											

Represas: La "Hacienda" Rte Zulita
Incora (abajo) Incora (abajo) Incora (abajo) Incora (abajo) Incora (abajo)
Centro: Centro
Orilla Der.: Orilla Der.
Fase a la izq.: Fase a la izq.
Viejo: Viejo

CUADRO No. II.C.3 (Continuación)						
Muestreo No.	No. 01	No. 02	No. 03	No. 04	No. 05	No. 06
Su referencia	Aguas	Zulia	Zulia	Zulia	Zulia	Zulia
Salídos totales (evaporación a 105°C)						
169.00	152.00	155.00	137.00	167.00	160.00	156.00
163.00	150.00	143.00	136.00	166.00	138.00	131.00
6.00	2.00	12.00	1.00	1.00	22.00	5.00
Relación de Abrazoón de Sodio R.A.B	0.26	0.28	0.34	0.30	0.26	0.21
Clasificación para irrigación	C. 1					
T O T A L	2.2162	2.0274	1.8849	1.7866	2.3053	1.8299
Sólidos en solución (evaporación a 105°C)						
163.00	150.00	143.00	136.00	166.00	138.00	131.00
6.00	2.00	12.00	1.00	1.00	22.00	5.00
Relación de Abrazoón de Sodio R.A.B	0.26	0.28	0.34	0.30	0.26	0.21
Clasificación para irrigación	C. 1					
T O T A L	2.2162	2.0274	1.8849	1.7866	2.3053	1.8299

B A L A N C E C A T I O N I C O - A N I O N Ó G I C O

GATIGOTES MES/1lt.	Po	Ca	Mg	Mn	K	Fa	T O T A L
0.0036	0.0043	0.0043	0.0036	0.0036	0.0036	0.0036	0.0043
1.1087	1.3303	1.5518	1.4970	1.7105	1.6077	1.1636	1.1087
0.8191	0.4087	0.0000	0.0000	0.2639	0.0000	0.3330	0.3404
0.0036	0.0036	0.0036	0.0036	0.0036	0.0036	0.0036	0.0036
0.0204	0.0204	0.0209	0.0209	0.0521	0.0204	0.0184	0.0184
0.2608	0.3043	0.2608	0.2608	0.1939	0.2608	0.2608	0.2608
T O T A L	2.2162	2.0274	1.8849	1.7866	2.3053	1.8299	1.7362

ANOTES MES/1lt.

HCO₃ 1.8040 1.6140 1.4566 1.3744 1.6933 1.4016 1.3648 1.3260
 Ca 0.3998 0.3998 0.3998 0.3998 0.3998 0.3998 0.3998 0.3998
 SO₄ 0.0124 0.0104 0.0124 0.0124 0.0124 0.0124 0.0104 0.0104
 NO₃ 0.0000 0.0032 0.0161 0.0080 0.0040 0.0161 0.0080 0.0000

T O T A L

2.2162 2.0274 1.8849 1.7866 2.3053 1.8299 1.7830 1.7362

F O T A S: Las muestras son químicamente rotibias; en relación a su dureza clasifican como aguas semi-dueras.
 Para irrigación corresponden al grupo C. S. 1, de bajo relieve de salinidad y bajo pH de hidrólisis.

Ejecutado por: Dr. Badel Francisco Coronel.

/bbb-





icel

INSTITUTO COLOMBIANO
DE ENERGIA ELECTRICA
centrales eléctricas
del norte de santander

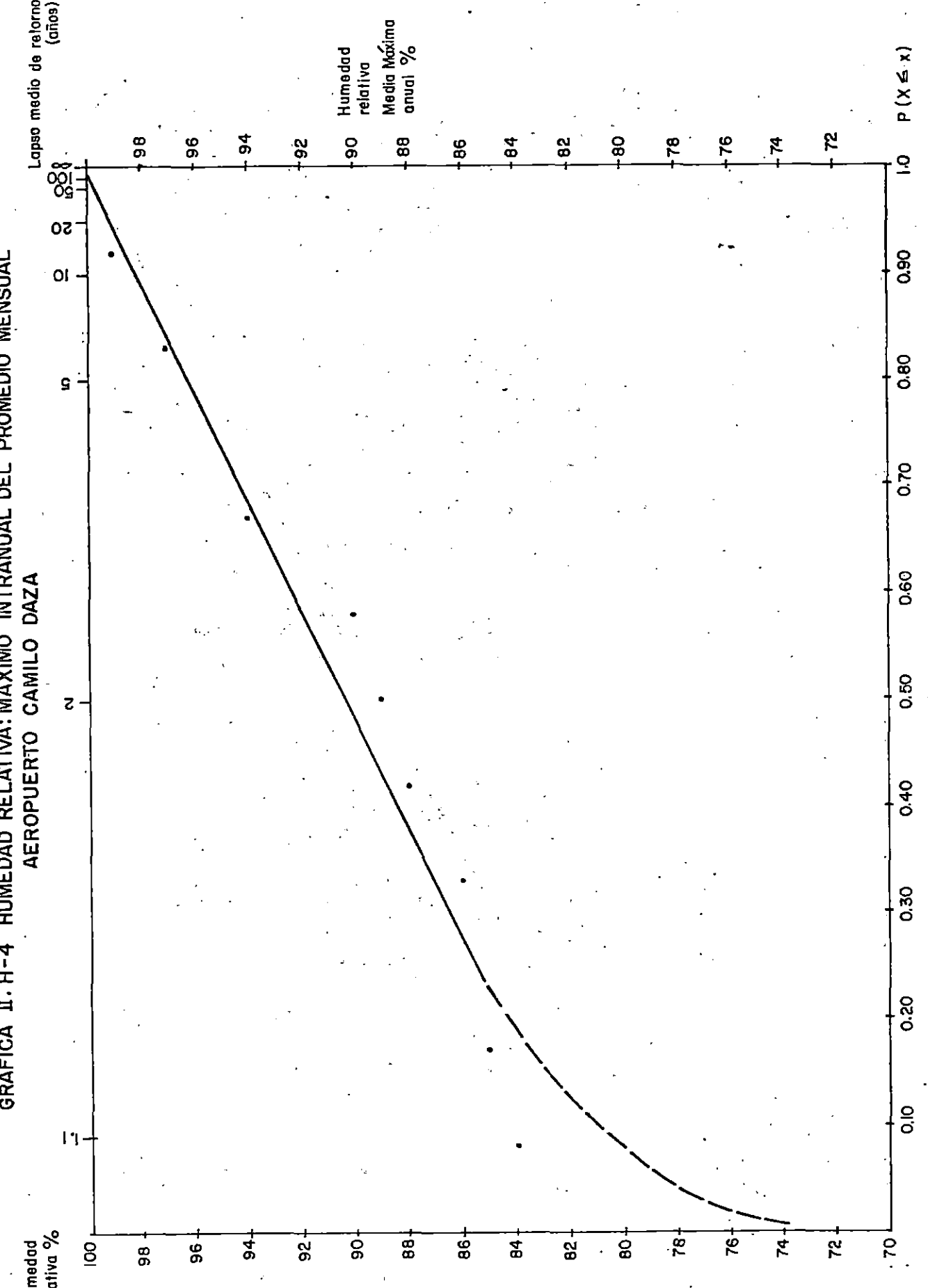
C
E
N
S

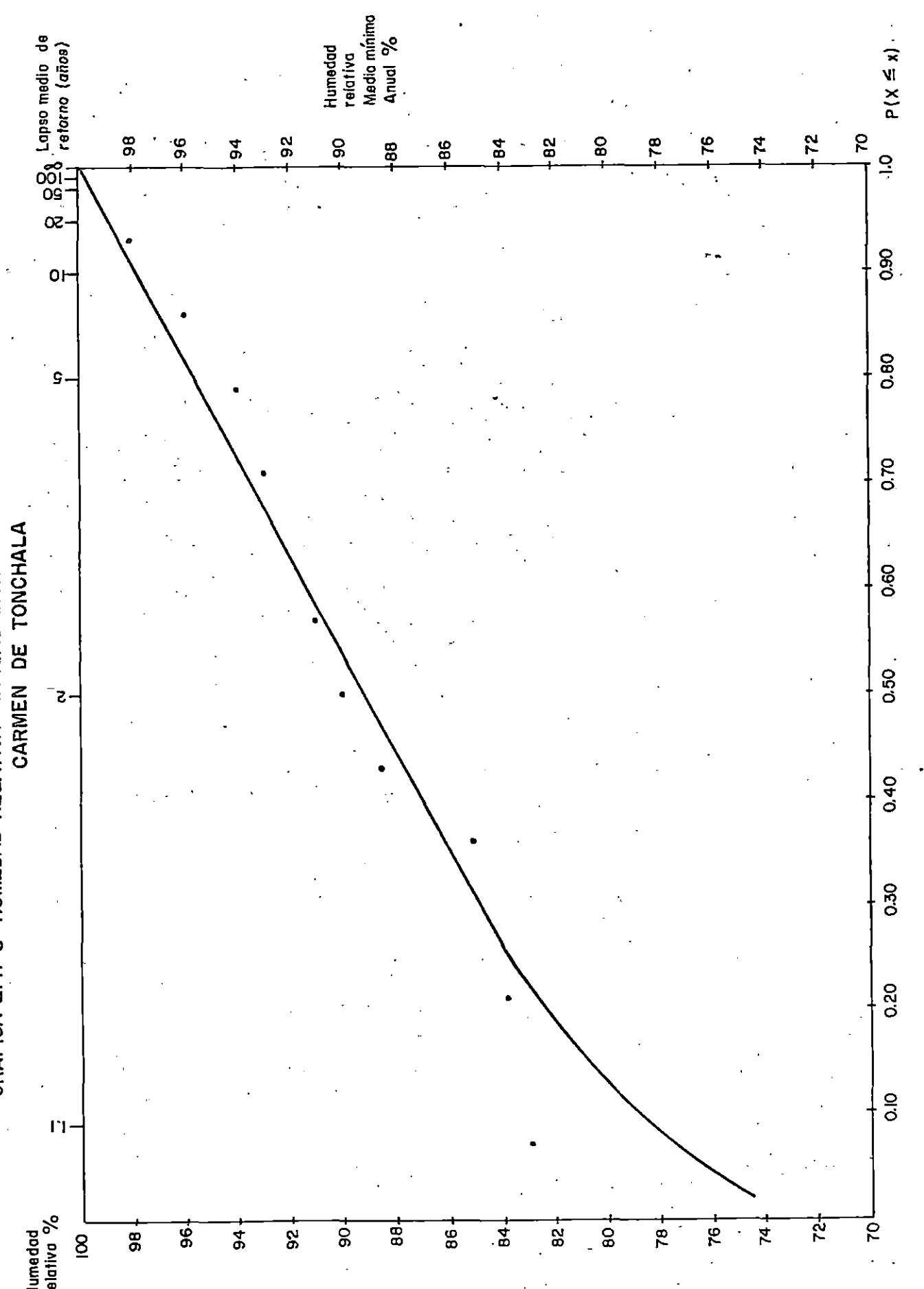
SOCIEDAD GENERAL
DE CONSULTORIA LTDA

PROYECTO TERMOTASAJERO

A PROBO:
FECHA:

GRAFICA II. H-4 HUMEDAD RELATIVA: MAXIMO INTRANUAL DEL PROMEDIO MENSUAL AEROPUERTO CAMILO DAZA



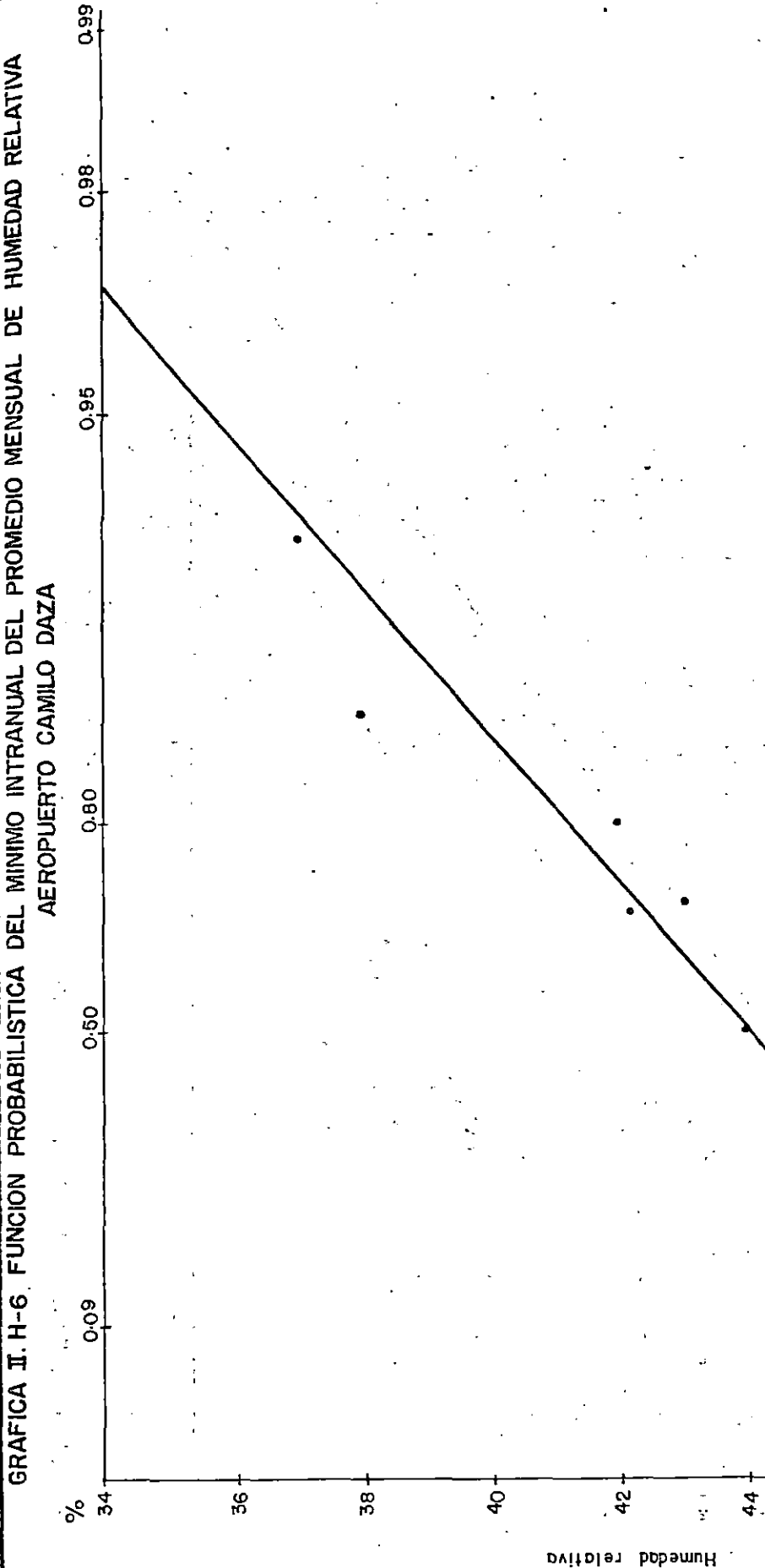
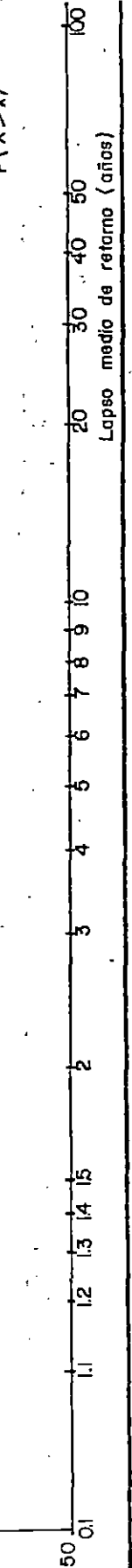


INSTITUTO COLOMBIANO
DE ENERGIA ELECTRICA
centrales eléctricas
del norte de santander

C
E
N
S

SOCIEDAD GENERAL
DE CONSULTORIA LTDA

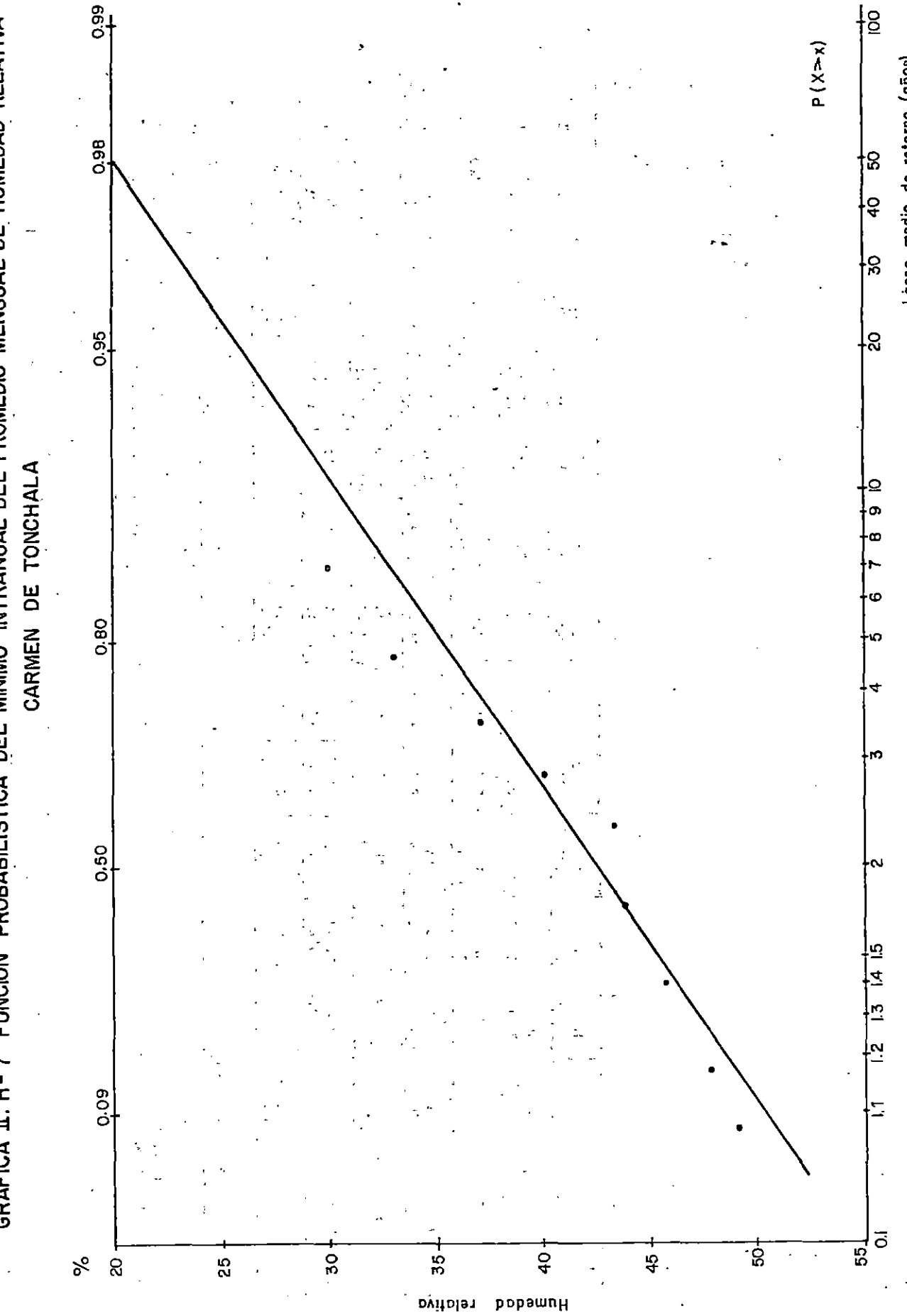
PROYECTO TERMOTASA JERO
APROBO:
FECHA:



	INSTITUTO COLOMBIANO DE ENERGIA ELECTRICA centrales eléctricas del norte de santander	C E N S		SOCIEDAD GENERAL DE CONSULTORIA LTDA	PROYECTO TERMOTASAJERO	APROBO:	
						FECHA:	

Lápso medio de retorno (años)

$P(X > x)$



GRAFICA II. H-7 FUNCION PROBABILISTICA DEL MINIMO INTRANUAL DEL PROMEDIO MENSUAL DE HUMEDAD RELATIVA
CARMEN DE TONCHALA



INSTITUTO COLOMBIANO
DE ENERGIA ELECTRICA
centrales eléctricas
del norte de santander



SOCIEDAD GENERAL
DE CONSULTORIA LTDA

PROYECTO TERMOTASAJERO

A PROBO:
FECHA:

CUADRO N°. II.H.1

PROMEDIO INTRAMENSUAL

FENÓMENO: HUMEDAD RELATIVA
 UNIDADES DE EXPRESIÓN %
 FUENTE: Himat (archivo CENS)

ESTACIONES:

ACD: Aeropuerto Camilo Daza, Cúcuta N. de. g.

CDT: Carmén de Táchala, Cúcuta N. de. s.

VARIABLE	Mes	Estación	E	R	N	A	M	J	J	A	S	O	N	D	Promedio Anual
PROMEDIO 07 HORAS	ACD	83.79	94.55	83.42	82.89	79.08	72.54	70.58	72.67	75.75	82.92	85.36	85.33	79.90	
	CDT	83.80	96.14	86.28	85.00	76.33	68.00	65.50	71.00	71.00	78.20	81.67	83.75	78.06	
PROMEDIO 13 HORAS	ACD	57.90	57.90	56.5	58.11	52.66	50.77	49.00	45.83	47.50	52.50	58.00	59.25	53.83	
	CDT	64.80	57.42	57.28	59.60	51.33	49.50	50.13	55.25	51.40	62.16	64.75	56.59		
PROMEDIO 19 HORAS	ACD	67.90	66.18	65.58	66.67	66.33	64.00	60.17	60.42	61.75	69.17	73.50	72.92	62.22	
	CDT	71.40	71.71	72.85	75.40	66.83	61.17	59.67	62.25	60.00	68.20	77.50	77.25	68.05	
PROMEDIO MENSUAL	ACD	69.43	68.37	67.44	68.67	65.92	62.42	60.46	59.42	60.20	65.38	69.48	70.35	65.63	
	CDT	74.00	71.71	72.28	73.20	64.67	59.50	58.67	62.75	62.25	66.00	78.83	75.50	68.28	
PROMEDIO INTRAMENSUAL DE MAXIMOS	ACD	83.8	85.18	84.33	83.11	81.58	77.85	74.17	76.00	76.50	85.08	86.54	87.00	81.93	
	CDT	88.0	89.14	89.00	88.00	82.66	75.67	68.67	78.75	76.50	86.20	88.50	89.50	83.38	
PROMEDIO INTRAMENSUAL DE MINIMOS.	ACD	56.10	55.55	54.25	57.44	50.5	48.54	47.17	44.58	43.00	50.13	55.91	57.25	51.08	
	CDT	58.00	53.71	55.00	57.20	47.67	45.50	46.33	43.00	49.50	48.20	53.67	55.25	51.45	
OSCILACION MEDIA	ACD	27.90	31.00	30.08	25.66	31.08	29.31	27.08	31.42	33.50	34.92	30.91	29.83	30.22	
	CDT	30.00	35.43	34.14	30.80	34.83	32.50	20.17	38.00	26.75	38.00	35.00	34.00	32.47	

CUADRO No. II. H.2

EXTREMOS INTRAMANUALES DE PROMEDIOS MENSUALES

HUMEDAD RELATIVA

Estación	Est. Aeropuerto Camilo Daza	Est. Carmén de Tonchalá		
Variable	Máximo	Mínimo	Máximo	Mínimo
Año				
1964	84	45	82,9*	45,6*
65	86	44	83,8*	44,5*
66	89	47	85,1*	47,8*
67	88	47	84,7*	47,8*
68	86	45	83,8*	45,6*
69	85	44	93	44,5*
70	90	47	96	49
71			98	49
72	94	42	90	30
73	94	42	90	30
74	99	37	93	30
75	97	38	91	33
76	97	43	88,6*	43,5*

* Dato hallado por correlación



1.4 VIENTOS.

1.4.1 Velocidad

La velocidad del viento presenta variaciones suaves a lo largo del año; la velocidad media mensual tiene una variación que va desde 3.21 en el mes de diciembre a 7.70 M/seg. en el mes de julio para el aeropuerto y de 0.60 en febrero a 4.10 M/seg. en junio para el Carmen de Tonchalá. El valor máximo absoluto varía entre 12.41 M/seg. en diciembre y 17.89 M/seg en julio para el aeropuerto. Los mayores valores de velocidad del viento se presentan entre los meses de junio y agosto, y los menores valores entre noviembre y marzo. (Cuadro II.V-1, Gráfica II.V-1).

La gráfica II.V-2 muestra el patrón de variación diurna de la velocidad del viento para las dos estaciones, en el cual se aprecia la ocurrencia de mínimos durante la noche y de máximos un poco más tarde que el mediodía.

1.4.2.1 Estación Aeropuerto Camilo Daza

La secuencia histórica utilizada para este análisis tiene datos diarios tanto de dirección como de velocidad, para el lapso comprendido entre 1971 y 1977.

Se utilizaron frecuencias mensuales en cada dirección, expresadas como porcentajes sobre el total de observaciones, con lo cual se desarrolló una rosa de vientos para cada mes y para el período en estudio, es decir con base en valores promedios mensuales inter-anuales.

Con esto se obtienen las rosas de vientos que aparecen en las gráficas II.V-3 a f, en las cuales se observa que predominan los vientos del norte en los meses de octubre a abril con frecuencias que varían entre 30% y 40%; mayo y septiembre son 2 meses en los cuales actúan de manera similar los vientos del norte y sur con frecuencias entre 20% y 30%, y en los meses de junio a agosto predominan los vientos del sur con frecuencias entre 20% y 40%.

La rosa anual (gráfica II.V-3) muestra como los vientos del norte se presentan con mayor frecuencia (aproximadamente 30%, que los del sur (18%), siendo estas las direcciones predominantes.

La calma máxima se presenta en febrero con una frecuencia de 48% y la mínima en julio con una frecuencia de 16%; la calma promedio anual tiene una frecuencia de 36.3%.

1.4.2.2 Estación Carmen de Tonchalá.

La secuencia histórica utilizada para este

análisis tiene datos diarios tanto de dirección como de velocidad, para el lapso comprendido entre 1973 y 1975.

Se utilizaron frecuencias mensuales en cada dirección, expresadas como porcentajes sobre el total de observaciones, con lo cual se desarrolló una rosa de vientos para cada mes y para el período en estudio, es decir con base en valores promedios mensuales inter-anuales.

Con esto se obtienen las rosas de viento que aparecen en las gráficas II.V-4 a f, en las cuales se observa que predominan los vientos del norte con una frecuencia que varía entre 15% y 35% y los del sur con una frecuencia que varía entre 15% y 30% a lo largo del año y los del occidente con alguna predominancia en los meses de septiembre a diciembre.

La rosa anual (gráfica II.V-4) muestra los valores similares para las direcciones norte y sur (aproximadamente 21%), para viento de occidente 9% y una calma promedio de 41.3%.

La calma máxima se presenta en febrero con una frecuencia de 66.5% y la calma mínima se presenta en agosto con una frecuencia del 16%.

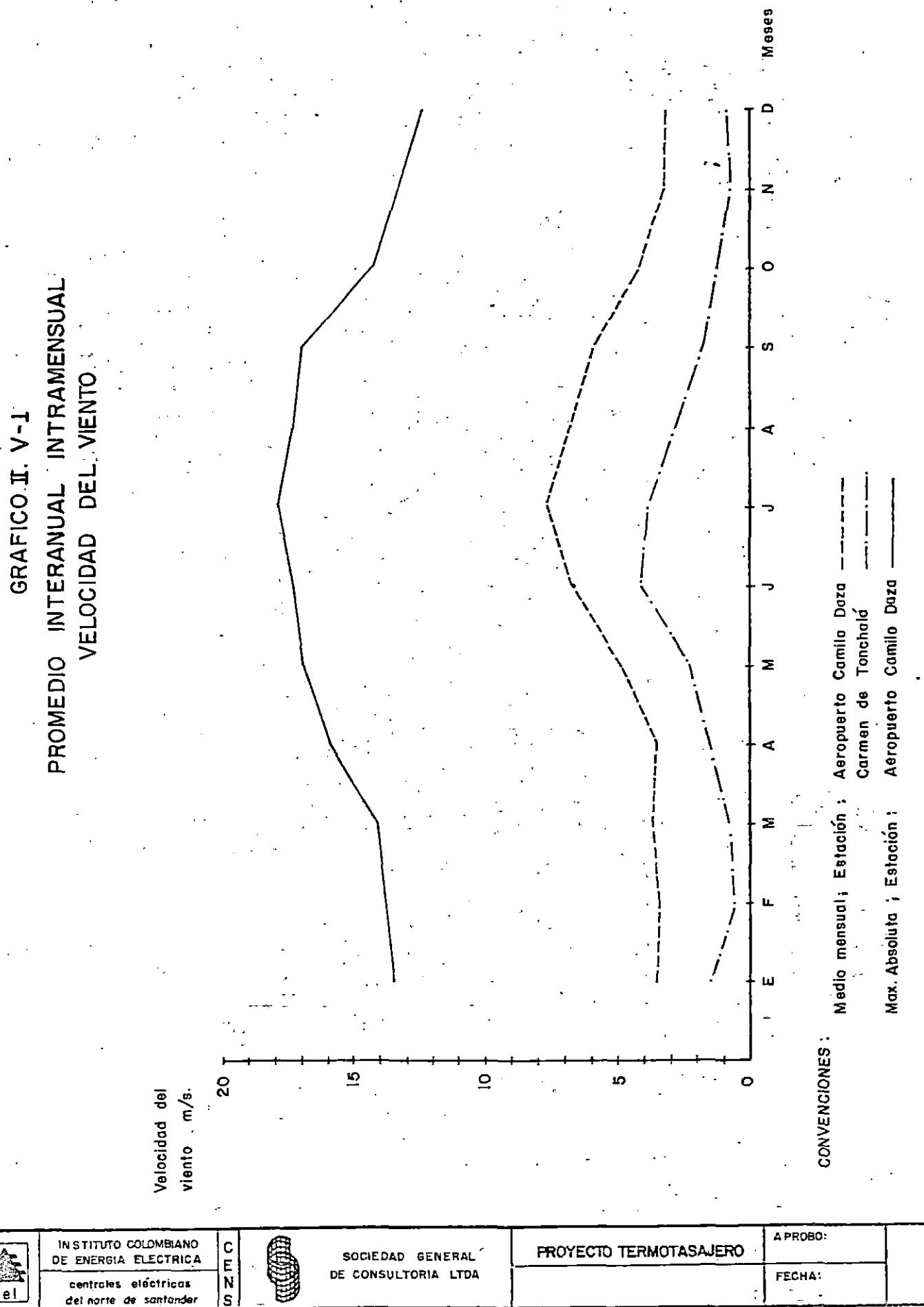
1.4.2.3 Comparación entre las estaciones Aeropuerto Camilo Daza y Carmen de Tonchalá.

Tanto en Aeropuerto como en Carmen de Tonchalá,

predominan los vientos del norte y del sur.

En la primera estación el predominio del norte es más marcado, con una frecuencia anual del orden de 30% mientras en el sur es de 18%; en la segunda la frecuencia anual es del orden de 21% para las dos direcciones; la calma tiene una frecuencia anual de 36% en la primera y de 41% en la segunda.

la velocidad promedia en la primera estación es de 5.24 y en la segunda de 2.3 m/s., con factores de estacionalidad similares.



INSTITUTO COLOMBIANO
DE ENERGIA ELECTRICA
centrales eléctricas
del norte de santander

C
E
N
S

SOCIEDAD GENERAL
DE CONSULTORIA LTDA

PROYECTO TERMOTASAJERO

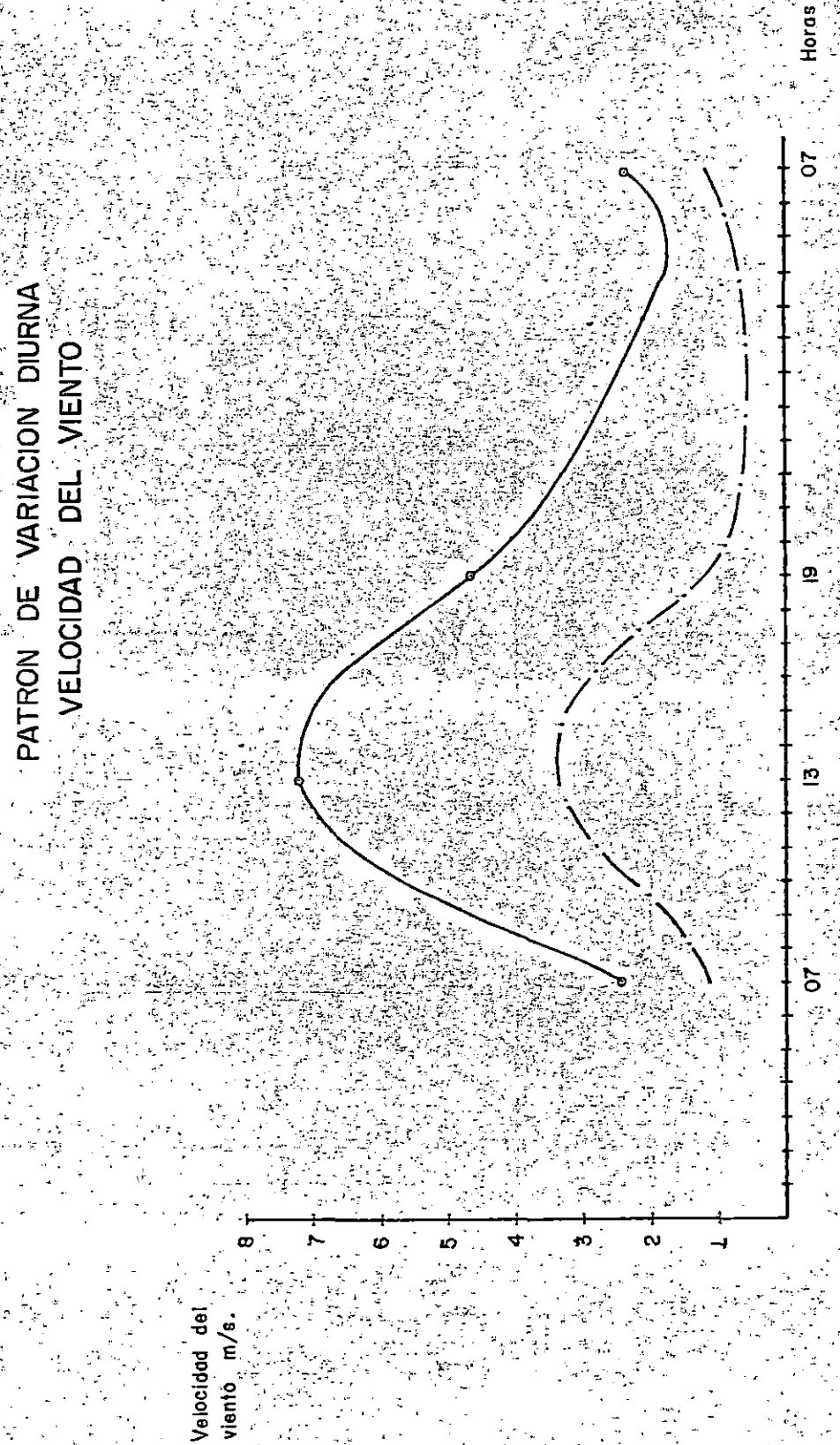
APROBÓ:
FECHA:

CONVENCIONES :

Medio anual 07, 13, 19 horas; Estación :

Aeropuerto Camilo Daza

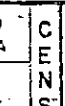
Carmen de Táchira



INSTITUTO COLOMBIANO
DE ENERGIA ELECTRICA
centrales eléctricas
del norte de santander

CEN

S



SOCIEDAD GENERAL
DE CONSULTORIA LTDA

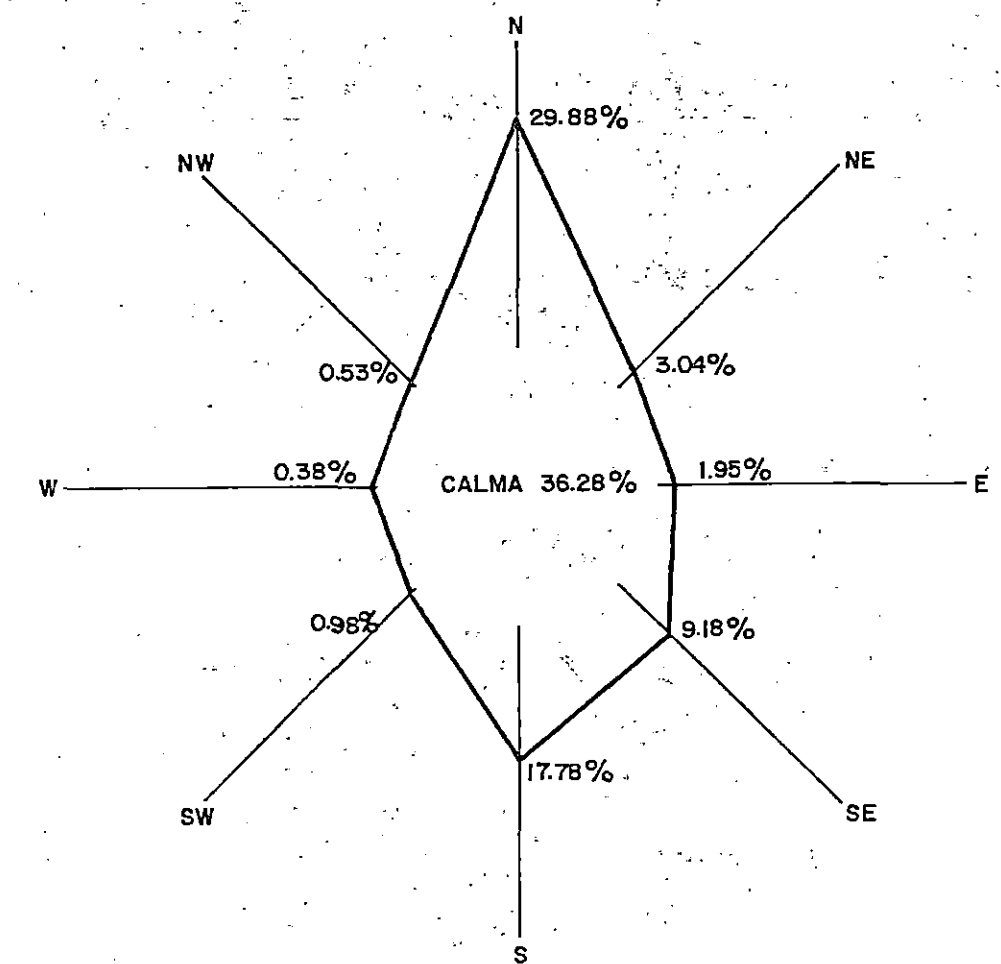
PROYECTO TERMOTASAJERO

APROBADO:

FECHA:

GRAFICA II -V- 3

ROSA ANUAL DE VIENTOS
FRECUENCIA PROMEDIO DE DIRECCION
Est: Aeropuerto Camilo Daza



INSTITUTO COLOMBIANO
DE ENERGIA ELECTRICA
centrales eléctricas
del norte de santander



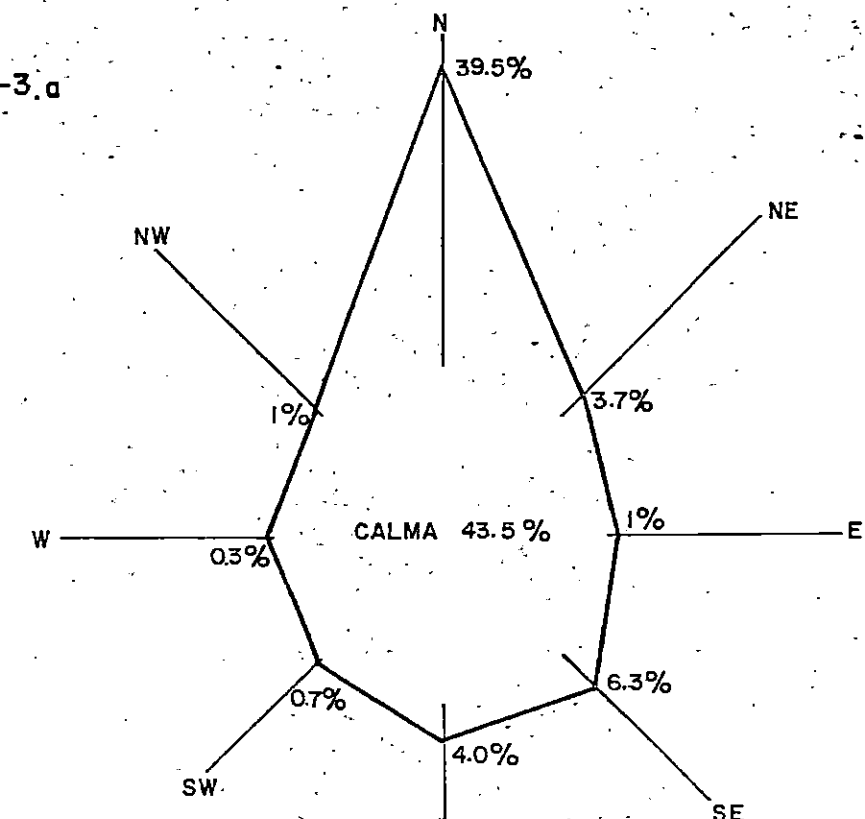
SOCIEDAD GENERAL
DE CONSULTORIA LTDA

PROYECTO TERMOTASA JERO

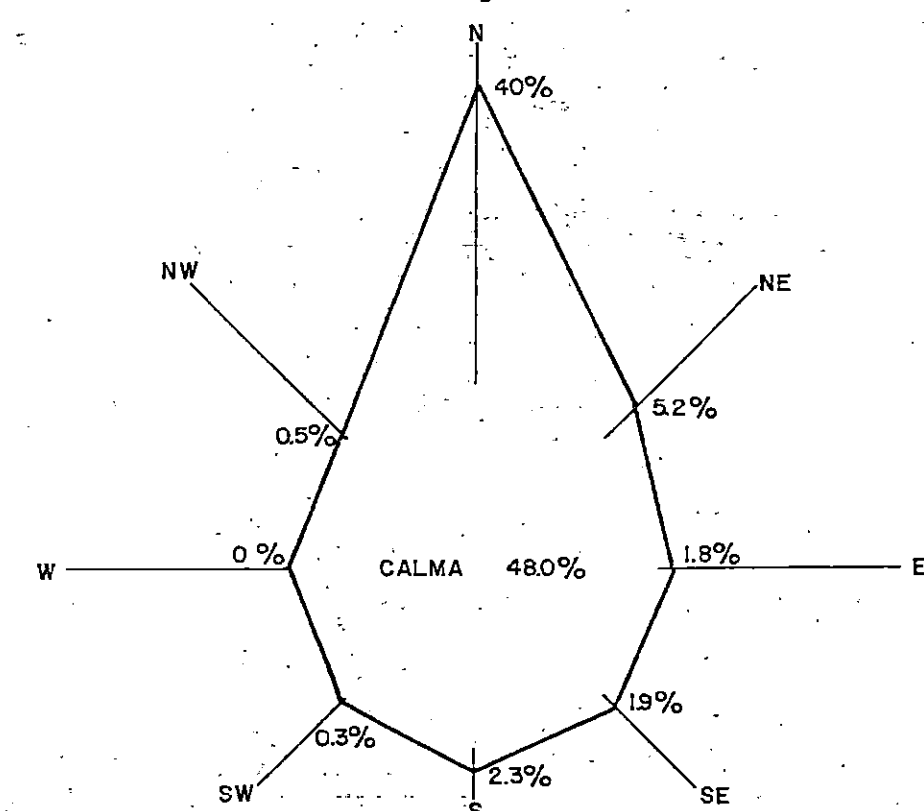
APROBADO:
FECHA:

ROSA DE LOS VIENTOS
FRECUENCIA DE DIRECCION
Est: Aeropuerto Camilo Daza

GRAFICA II-V-3.a



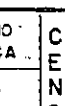
ENERO



FEBRERO



INSTITUTO COLOMBIANO
DE ENERGIA ELECTRICA
centrales eléctricas
del norte de santander



SOCIEDAD GENERAL
DE CONSULTORIA LTDA

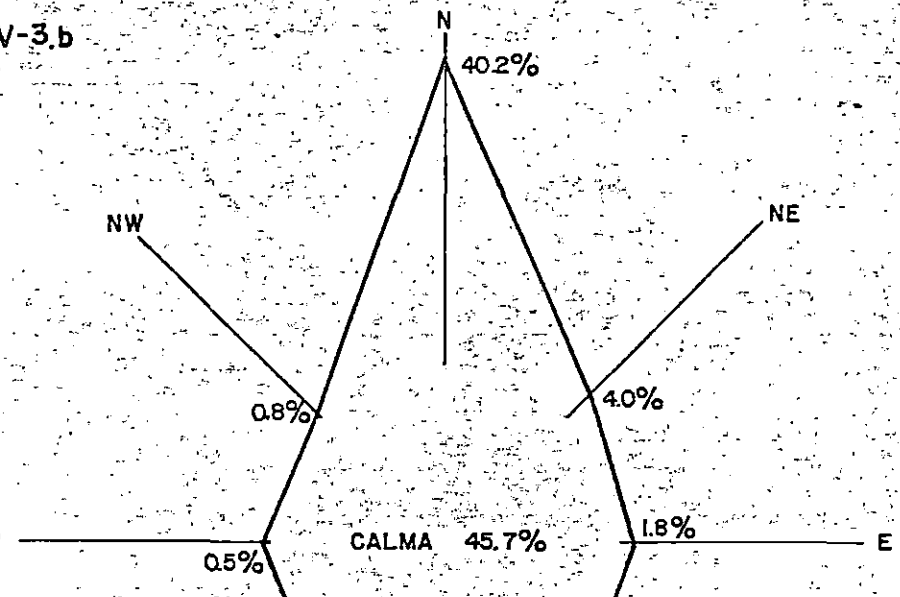
PROYECTO TERMOTASAJERO

APROBÓ:
FECHA:

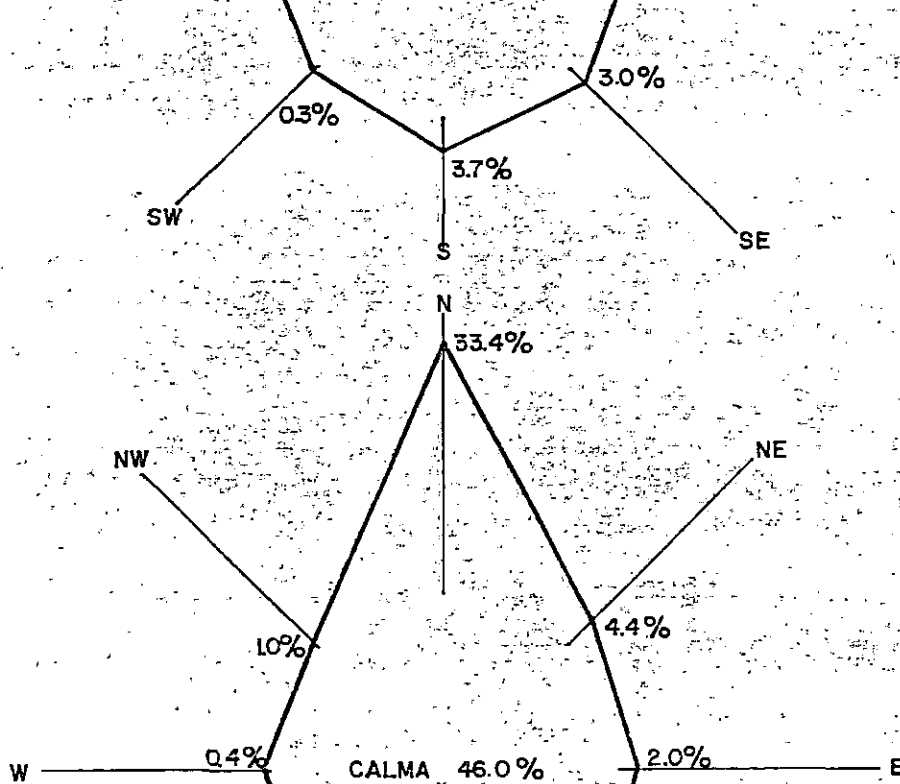
ROSA DE LOS VIENTOS
FRECUENCIA DE DIRECCION
Est: Aeropuerto Camilo Daza

MARZO

GRAFICA II-V-3.b



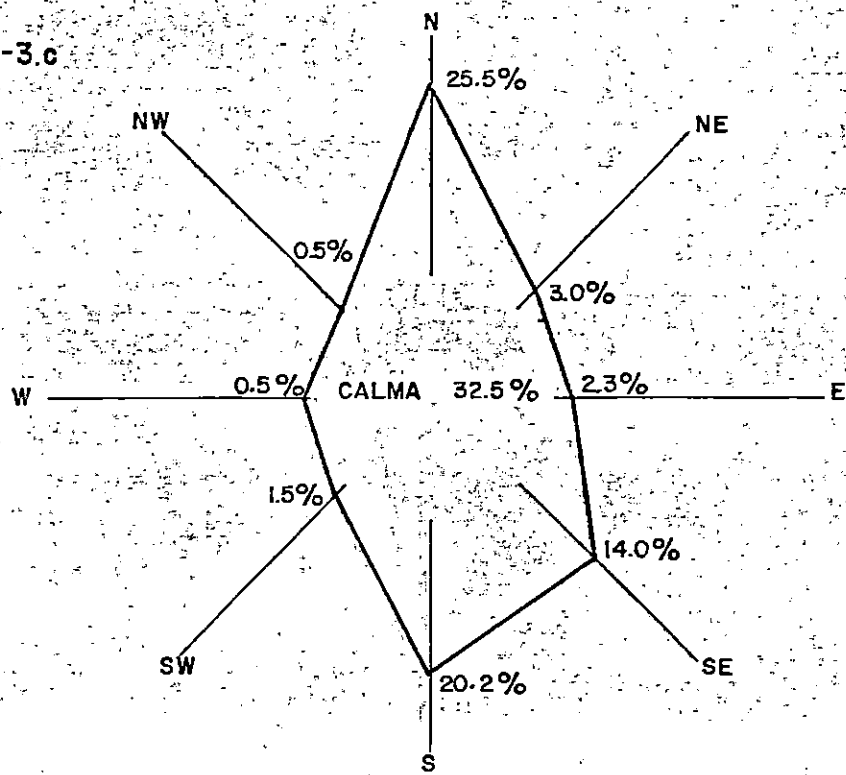
ABRIL



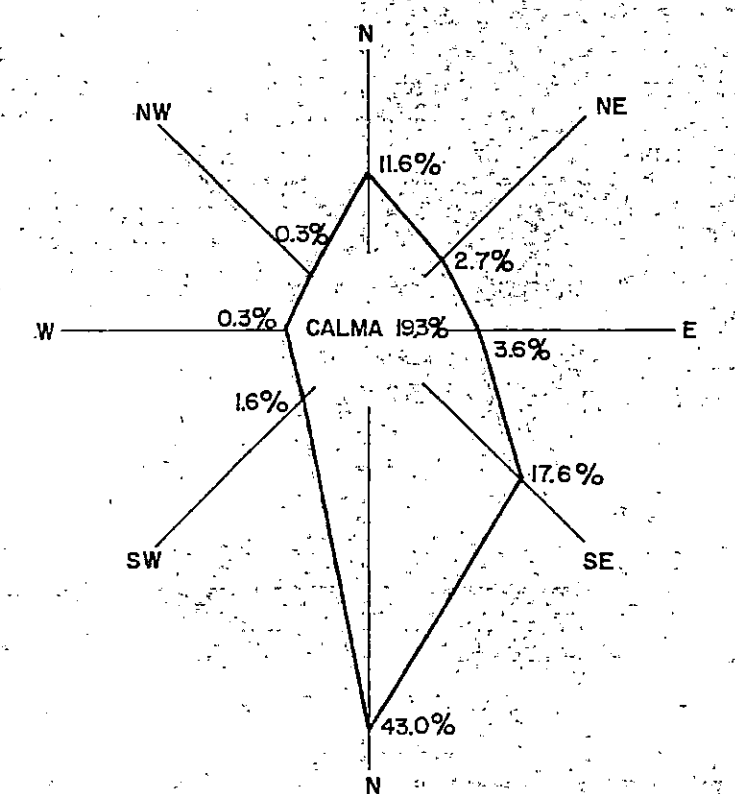
	INSTITUTO COLOMBIANO DE ENERGIA ELECTRICA centrales eléctricas del norte de santander	C E N S	SOCIEDAD GENERAL DE CONSULTORIA LTDA	PROYECTO TERMOTASAJERO	APROBO:
					FECHA:

ROSA DE LOS VIENTOS
FRECUENCIA DE DIRECCION
Est: Aeropuerto Camilo Daza

GRAFICA II-V-3.c



MAYO



JUNIO



INSTITUTO COLOMBIANO
DE ENERGIA ELECTRICA
centrales eléctricas
del norte de santander



SOCIEDAD GENERAL
DE CONSULTORIA LTDA

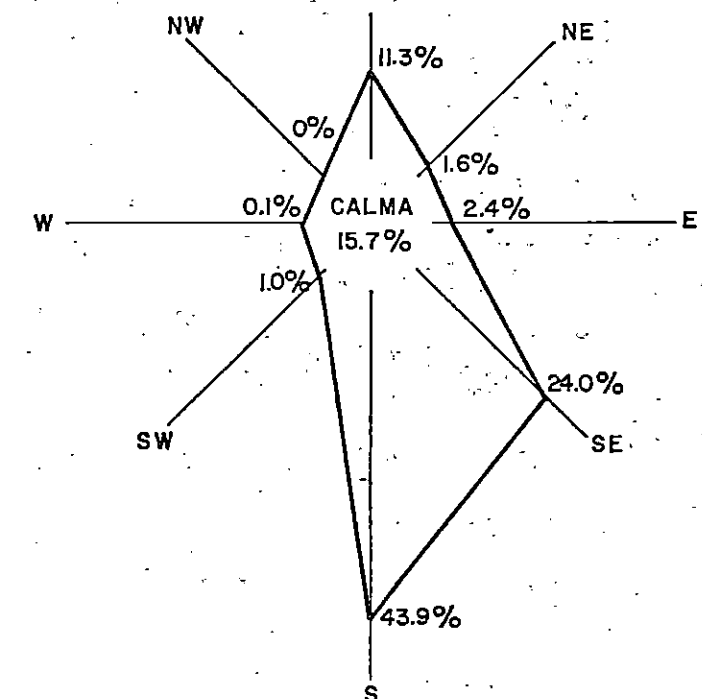
PROYECTO TERMOTASAJERO

APROBÓ:
FECHA:

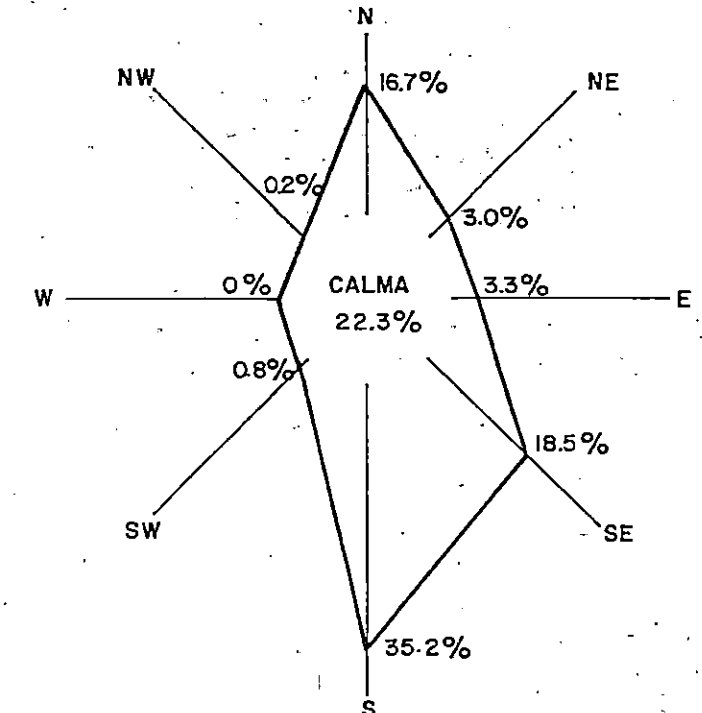
ROSA DE LOS VIENTOS
FRECUENCIA DE DIRECCION
Est: Aepuerto Cúmilo Daza

JULIO

GRAFICA II-V-3.d



AGOSTO



INSTITUTO COLOMBIANO
DE ENERGIA ELECTRICA
centrales eléctricas
del norte de santander



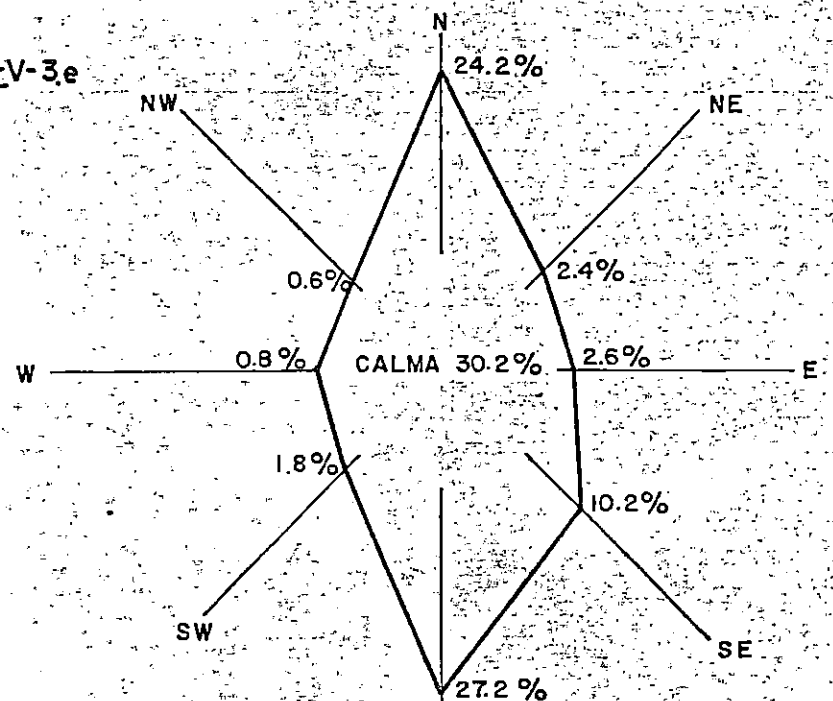
SOCIEDAD GENERAL
DE CONSULTORIA LTDA

PROYECTO TERMOTASAJERO

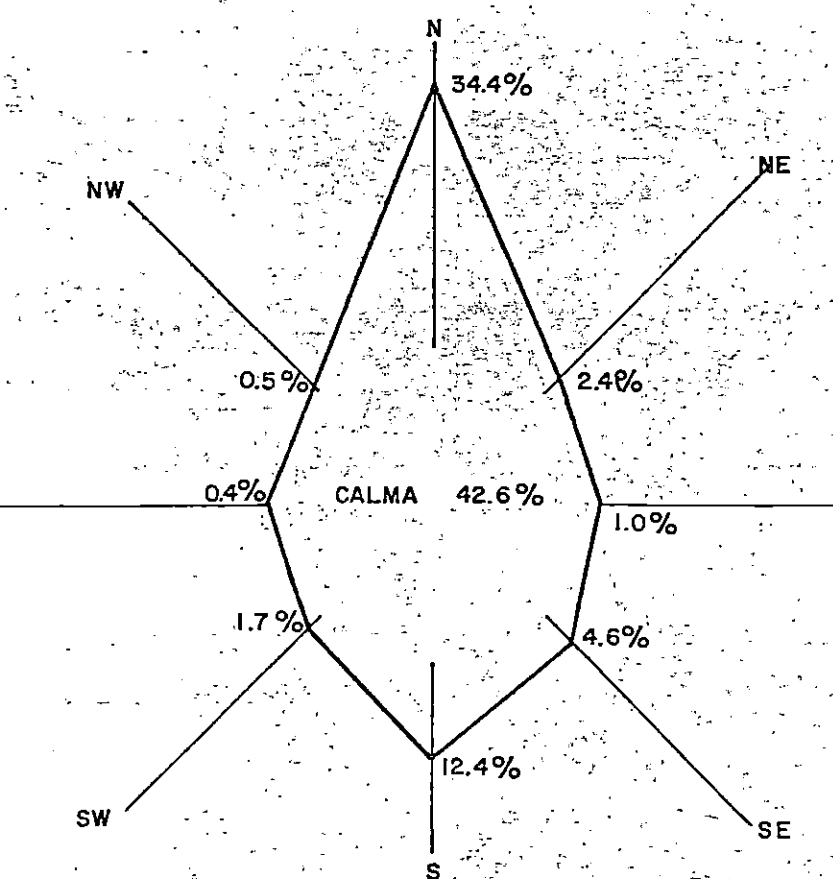
APROBÓ: _____
FECHA: _____

ROSA DE LOS VIENTOS
FRECUENCIA DE DIRECCION
Est: Aeropuerto Camilo Daza

GRAFICA II-V-3.e



SEPTIEMBRE



OCTUBRE



INSTITUTO COLOMBIANO
DE ENERGÍA ELÉCTRICA
centrales eléctricas
del norte de santander



SOCIEDAD GENERAL
DE CONSULTORÍA LTDA

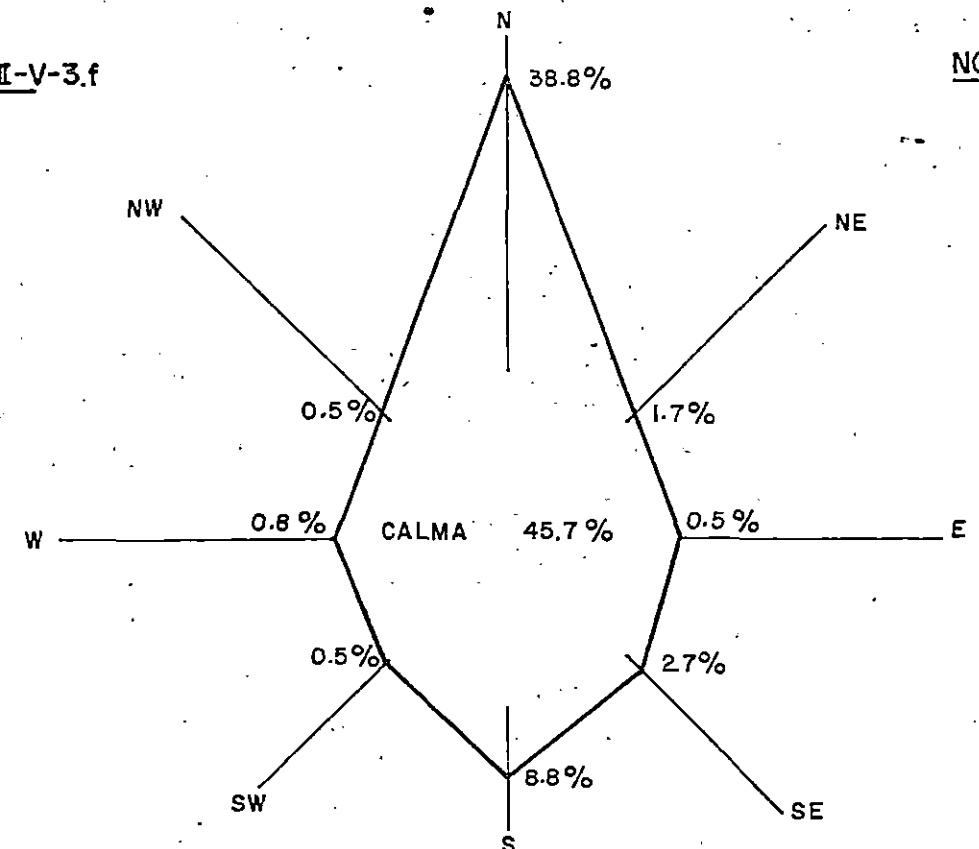
PROYECTO TERMOTASAJERO

APROBO:
FECHA:

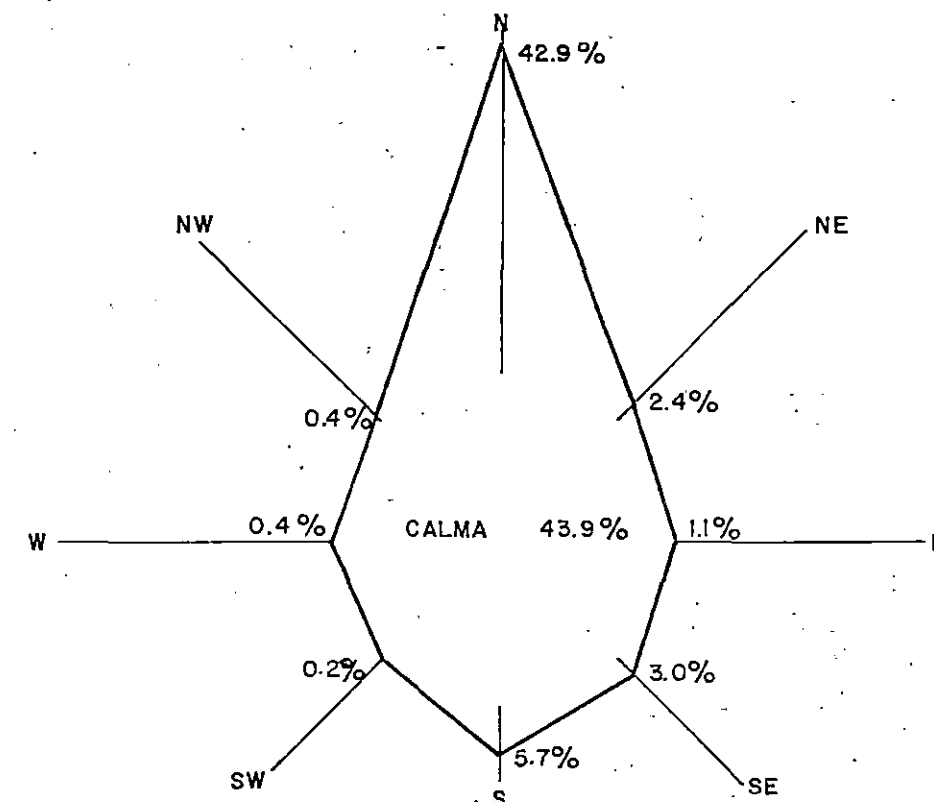
ROSA DE LOS VIENTOS
FRECUENCIA DE DIRECCION
Est: Aeropuerto Camilo Daza

GRAFICA II-V-3.f

NOVIEMBRE



DICIEMBRE



INSTITUTO COLOMBIANO
DE ENERGIA ELECTRICA
centrales eléctricas
del norte de santander



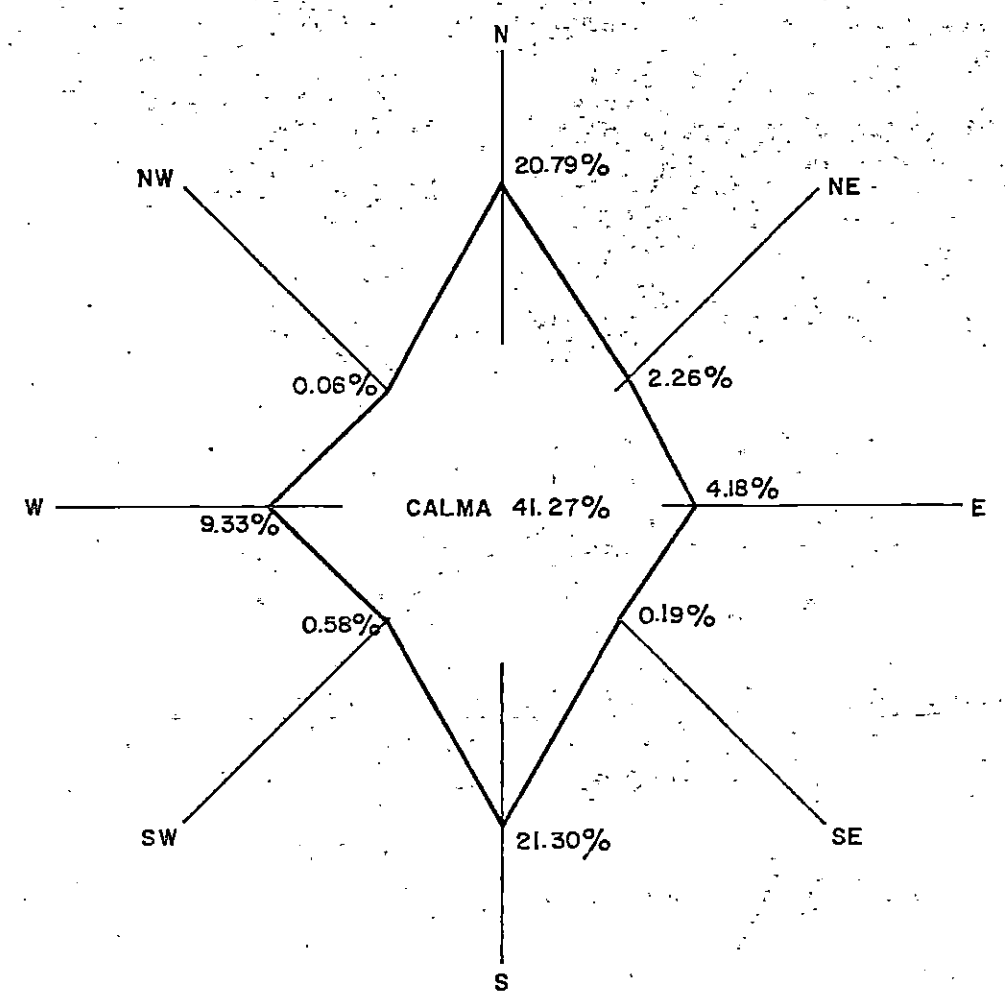
SOCIEDAD GENERAL
DE CONSULTORIA LTDA

PROYECTO TERMOTASAJERO

APROBO:
FECHA:

GRAFICA II-V-4

ROSA ANUAL DE VIENTOS
FRECUENCIA PROMEDIO DE DIRECCION
Est. Carmen de Tonchala



INSTITUTO COLOMBIANO
DE ENERGIA ELECTRICA
centrales eléctricas
del norte de santander

C
E
N
S

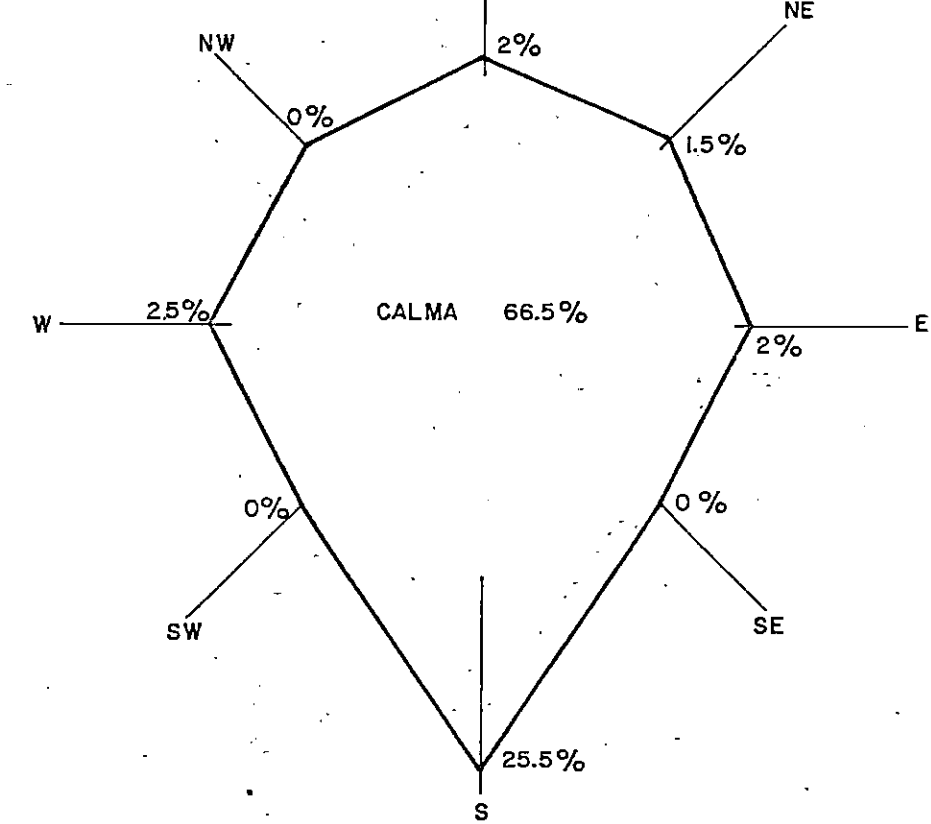
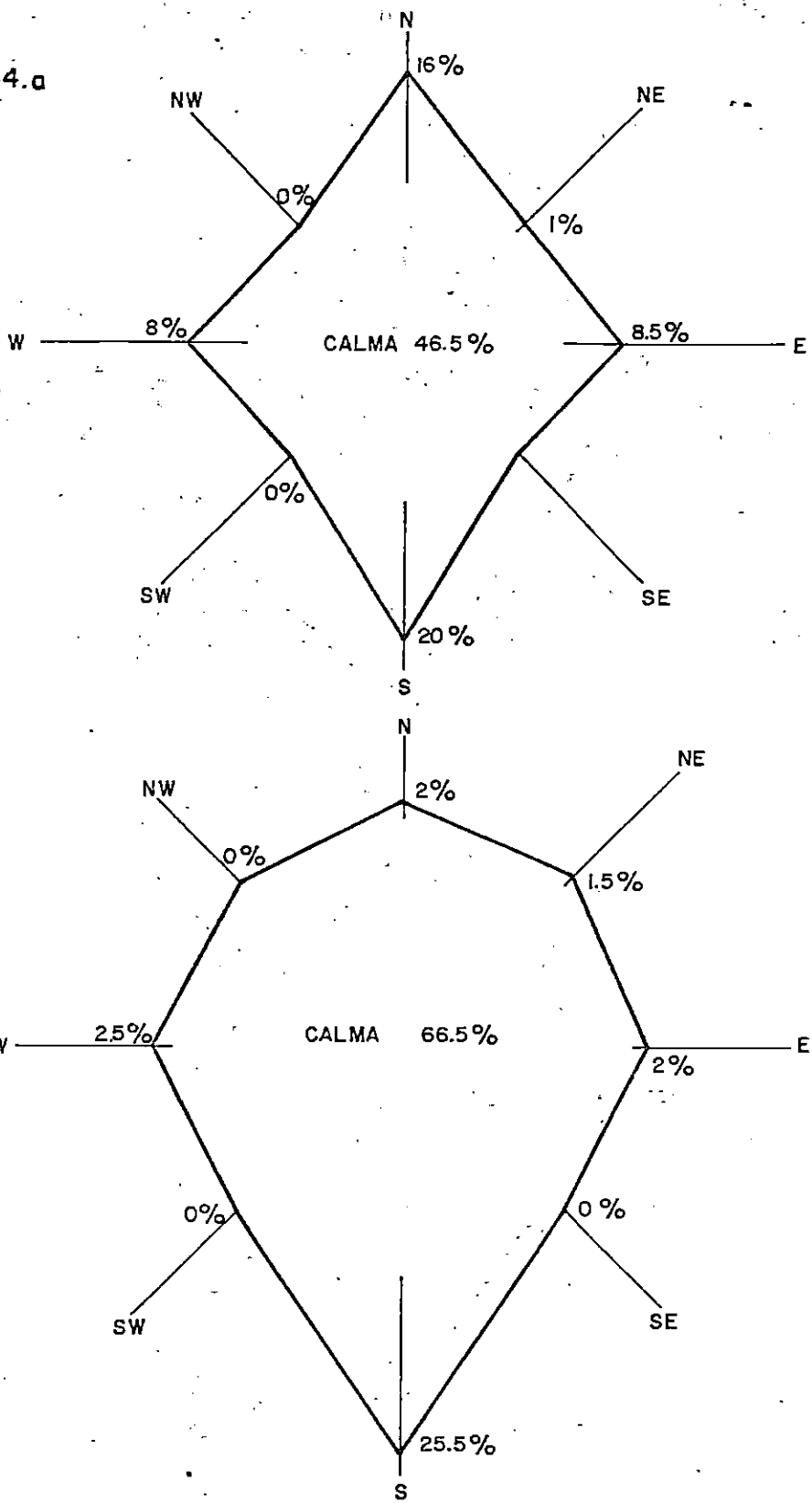
SOCIEDAD GENERAL
DE CONSULTORIA LTDA

PROYECTO TERMOTASAJERO

A PROBADO:
FECHA:

ROSA DE LOS VIENTOS
FRECUENCIA DE DIRECCION
Est: Carmen de Tonchala

GRAFICA II-V-4.a



INSTITUTO COLOMBIANO
DE ENERGIA ELECTRICA
centrales eléctricas
del norte de santander

C
E
N
S

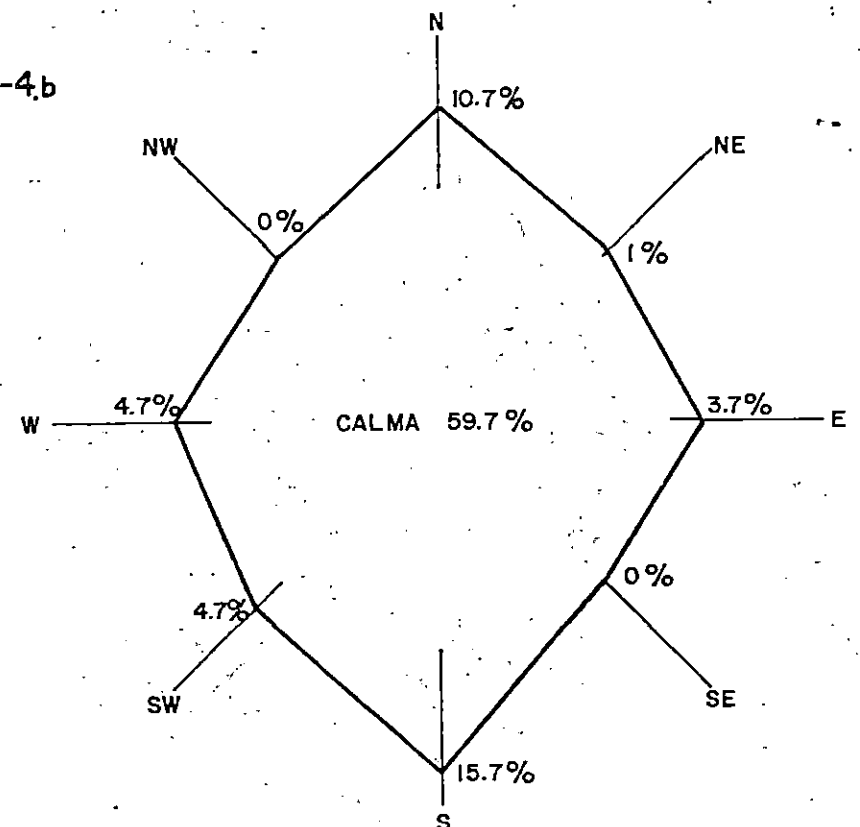
SOCIEDAD GENERAL
DE CONSULTORIA LTDA

PROYECTO TERMOTASAJERO

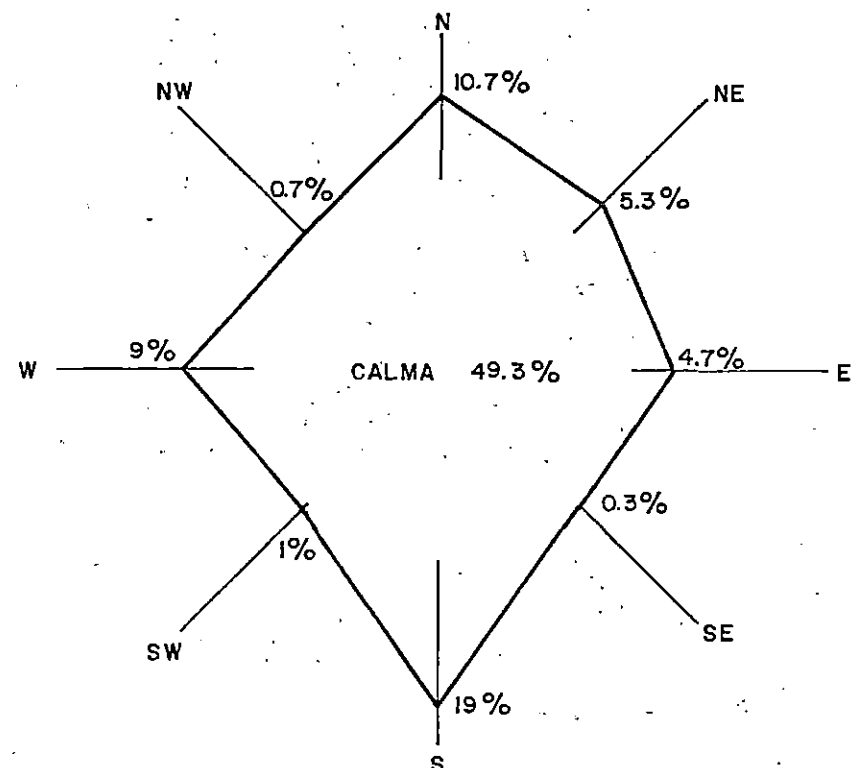
A PROBÓ:
FECHA:

ROSA DE LOS VIENTOS
FRECUENCIA DE DIRECCION
Est: Carmen de Tonchala

GRAFICA II-V-4.b



MARZO



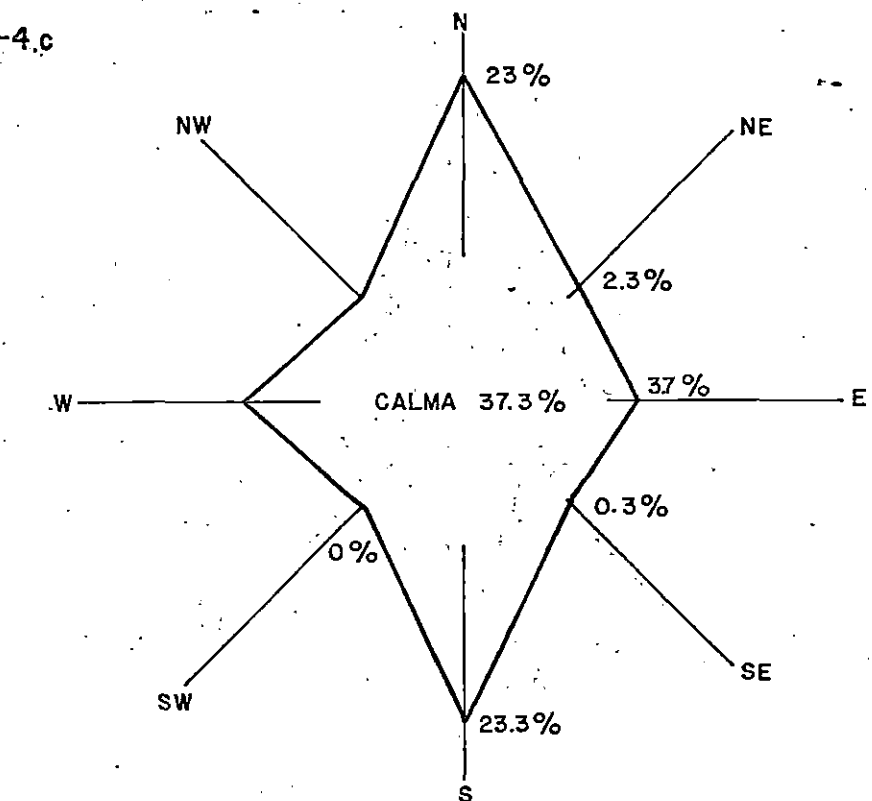
ABRIL

	INSTITUTO COLOMBIANO DE ENERGIA ELECTRICA centrales eléctricas del norte de santander	C E N S	SOCIEDAD GENERAL DE CONSULTORIA LTDA	PROYECTO TERMOTASAJERO	APROBO: FECHA:
--	--	------------------	---	------------------------	-------------------

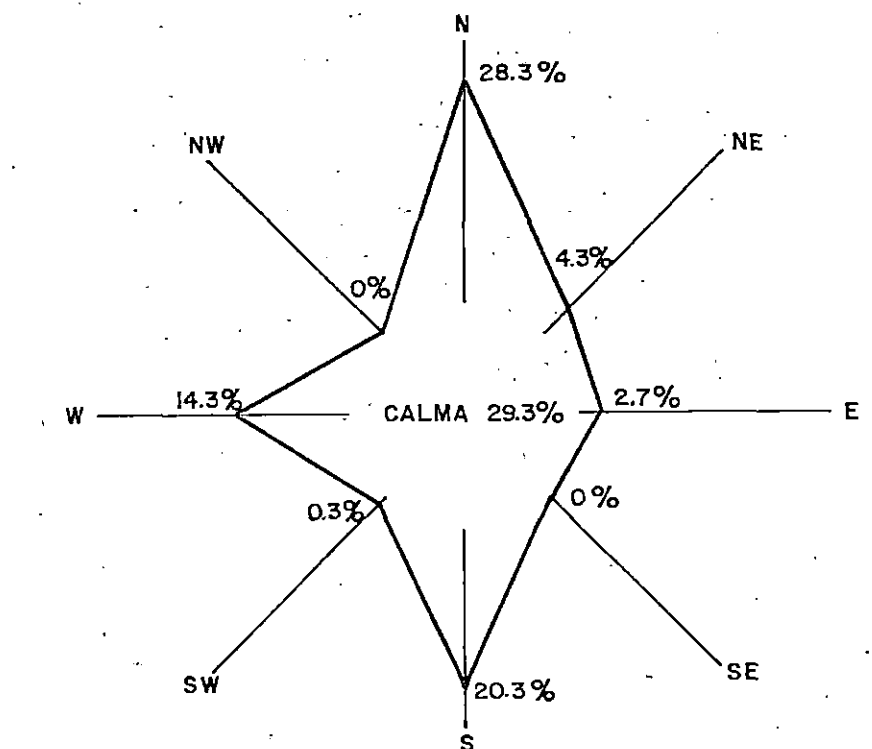
ROSA DE LOS VIENTOS
FRECUENCIA DE DIRECCION
Est: Carmen de Tonchala

GRAFICA II-V-4.c

MAYO



JUNIO



INSTITUTO COLOMBIANO
DE ENERGIA ELECTRICA
centrales eléctricas
del norte de Santander

C
E
N
S

SOCIEDAD GENERAL
DE CONSULTORIA LTDA

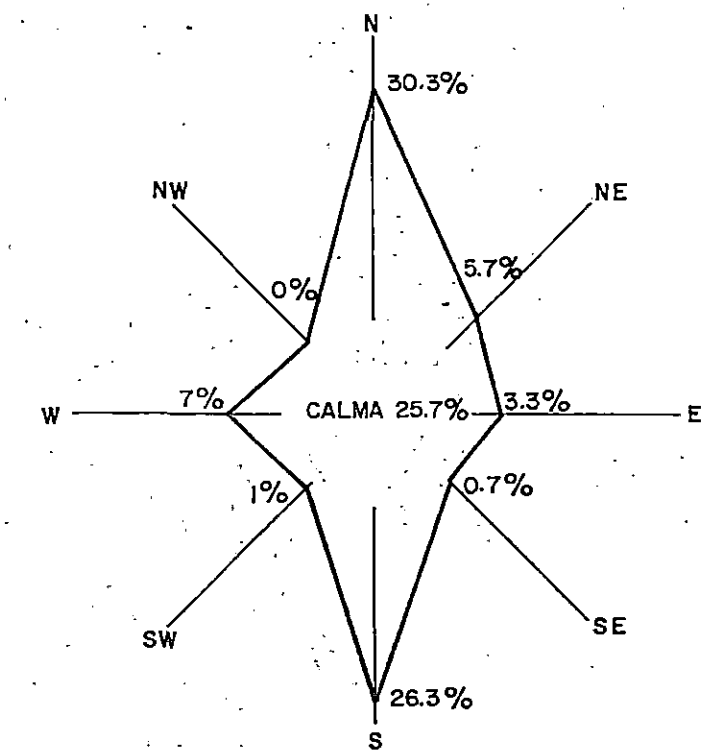
PROYECTO TERMOTASA JERO

APROBO:
FECHA:

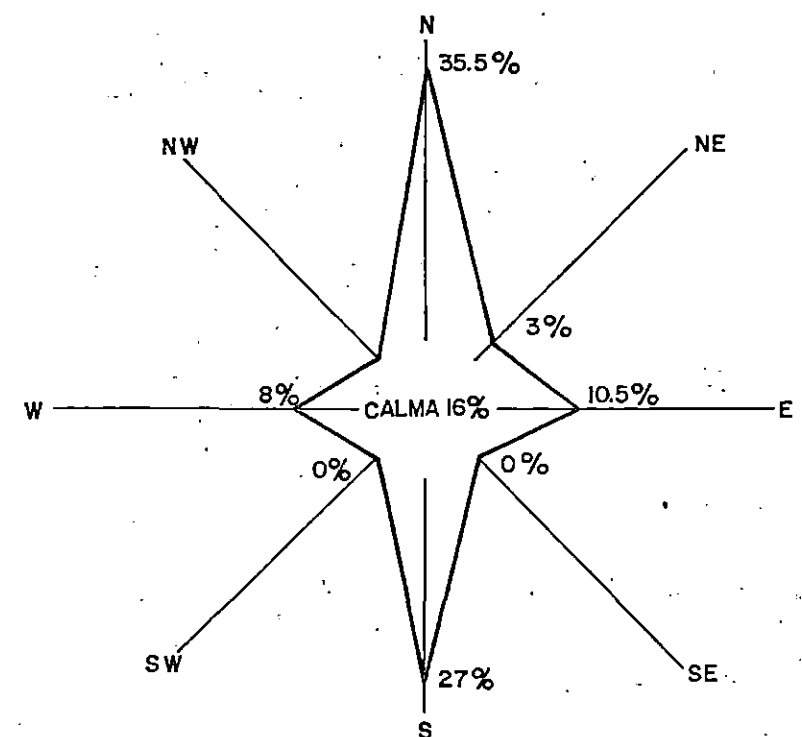
ROSA DE LOS VIENTOS
FRECUENCIA DE DIRECCION
Est: Carmen de Tonchalá

GRAFICA II-V-4.d

JULIO



AGOSTO



INSTITUTO COLOMBIANO
DE ENERGIA ELECTRICA
centrales eléctricas
del norte de santander

C
E
N
S

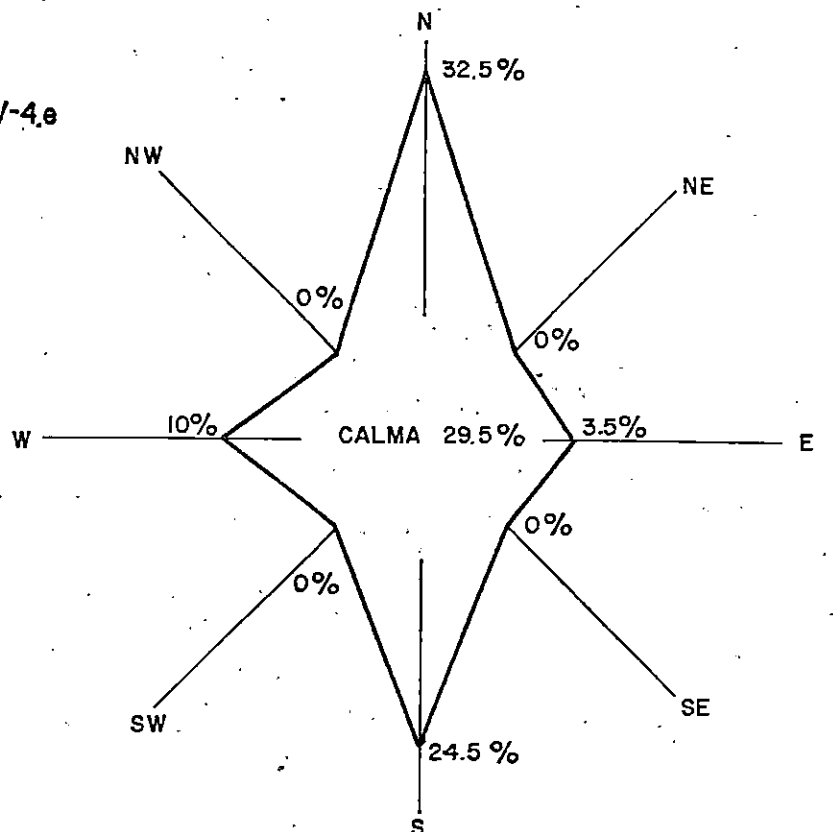
SOCIEDAD GENERAL
DE CONSULTORIA LTDA

PROYECTO TERMOTASA JERO

APROBO:
FECHA:

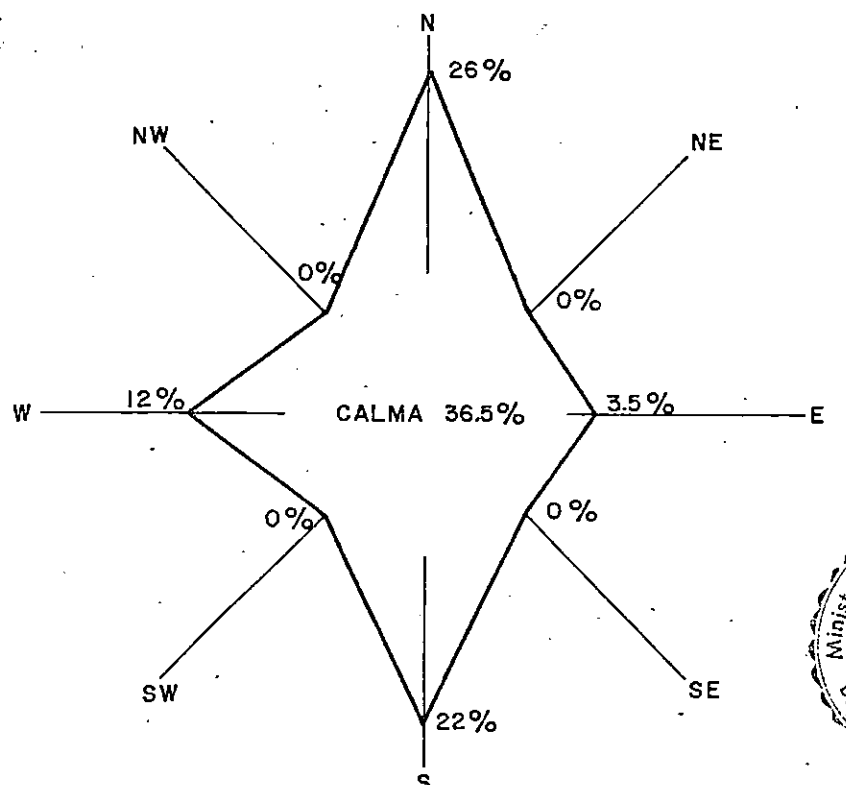
ROSA DE LOS VIENTOS
FRECUENCIA DE DIRECCION
Est: Carmen de Tonchala.

GRAFICA II-V-4.e



SEPTIEMBRE

OCTUBRE



INSTITUTO COLOMBIANO
DE ENERGÍA ELÉCTRICA
centrales eléctricas
del norte de santander



SOCIEDAD GENERAL
DE CONSULTORIA LTDA

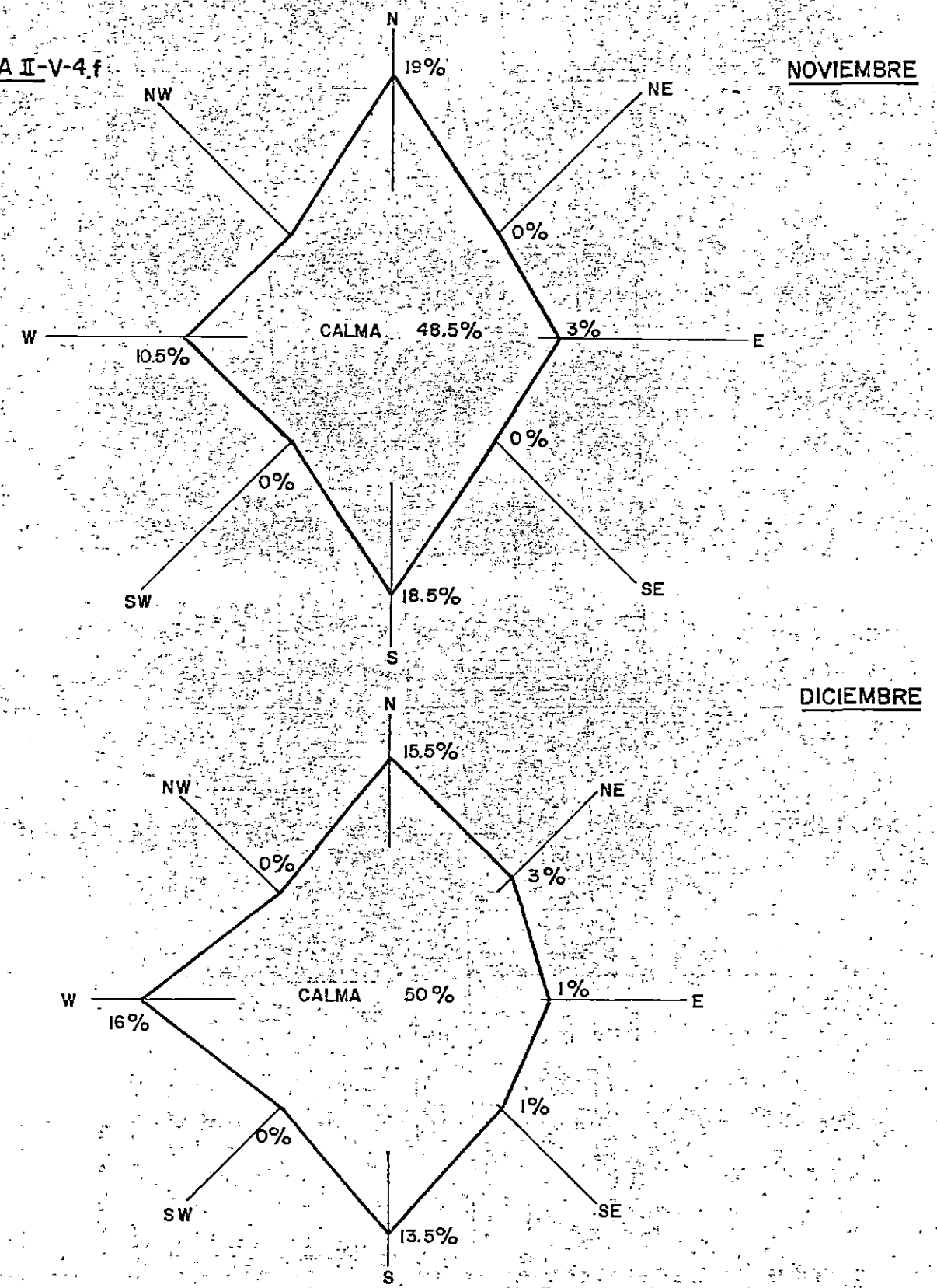
PROYECTO TERMOTASAJERO

APROBO:

FECHA:

ROSA DE LOS VIENTOS
FRECUENCIA DE DIRECCION
Est: Carmen de Tonchalá

GRAFICA II-V-4.f



INSTITUTO COLOMBIANO
DE ENERGÍA ELÉCTRICA
centrales eléctricas
del norte de santander



CENSO
SOCIEDAD GENERAL
DE CONSULTORÍA LTD.

PROYECTO TERMOTASAJERO

A PROBO:

FECHA:

Variable	Estación	E	F	M	A	M	J	J	A	S	O	N	D	PROMEDIO ANUAL
MEDIA 07	ACD	1.05	0.92	0.78	1.07	2.81	4.91	5.84	4.52	3.39	1.85	1.02	0.94	2.42
	CDT	0.5	0.1	0.13	0.47	1.53	2.23	3.35	3.02	1.23	0.70	0.37	0.30	1.16
MEDIA 13 HORAS	ACD	5.92	5.81	6.01	5.97	7.40	9.51	10.16	9.45	8.61	6.42	5.56	5.62	7.20
	CDT	3.15	1.75	1.87	3.00	4.07	6.77	5.30	5.02	3.07	3.00	1.90	1.55	3.37
MEDIA 19 HORAS	ACD	3.75	3.75	4.24	3.82	4.54	5.80	6.95	6.55	5.74	4.25	3.44	3.17	4.67
	CDT	0.95	0.05	0.33	0.67	1.2	1.53	4.93	2.22	0.83	0.60	0.27	0.75	1.19
MEDIA MENSUAL	ACD	3.57	3.45	3.69	3.59	4.90	6.76	7.70	6.83	5.89	4.24	3.30	3.21	4.78
	CDT	1.50	0.60	0.83	1.50	2.37	4.10	3.90	2.90	1.80	1.30	0.77	0.63	1.87
MAXIMA ABSOLUTA.	ACD	13.47	13.8	14.07	15.93	16.98	17.35	17.68	17.01	16.89	14.27	12.35	12.41	15.32
	CDT													

FENOMENO: Velocidad del Viento
 UNIDADES DE EXPRESION: M/S
 FUENTE: Himat (Archivo CENS)

CUADRO No. II. V. 1

PROMEDIO MENSUAL INTRA-ANUAL

ESTACIONES:
 ACD: Aeropuerto Camilo Daza, Cúcuta N.D.E.S.
 CDT: Carrilén de Tonchala, Cúcuta N. DE S.

1.5 LLUVIA

Se efectúa un análisis de lluvia total mensual, total anual, mínima intranual de los totales mensuales, máxima intramensual en 24 horas y lluvias máximas para duraciones menores de una hora, para las dos estaciones más cercanas al proyecto, Carmen de Tonchalá y Aeropuerto Camilo Daza, las cuales presentan alguna similitud en sus condiciones de pluviosidad, teniendo la primera valores que en general son algo mayores que la segunda.

1.5.1 Lluvia Mensual

1.5.1.1 Total mensual

1.5.1.1.1 Aeropuerto Camilo Daza

La secuencia utilizada, fue extraída del archivo de HIMAT; los promedios interanuales de los valores mensuales, varían desde 21.3 en agosto hasta 83.7 mm en octubre. La gráfica II.L-1 muestra que los valores más altos se presentan en octubre, noviembre y abril, y los más bajos en junio, julio y agosto.

1.5.1.1.2 Carmen de Tonchalá

La secuencia utilizada consta de registros históricos de 1968 a 1977 y de una extensión por regresión de 1945 a 1967, con base en la estación aeropuerto Camilo Daza, dando como resultado,

$y = 19.59 + 0.85 x$; con $r^2 = 0.56$, altamente significativo.

La secuencia presenta valores promedios mensuales interanuales que varían desde 34.21 en julio hasta 95.49 en noviembre. La gráfica II.L-1 muestra que los valores más altos se presentan en abril, octubre y noviembre y los más bajos en junio, julio y agosto, igual que en el aeropuerto.

1.5.1.1.3 Comparación Aeropuerto Camilo Daza y Carmen de Tonchalá.

Las dos estaciones presentan un patrón de variación en los promedios interanuales de los totales mensuales (gráfica II.L-1) esquemáticamente muy similares; sin embargo, los valores son algo mayores en la estación Carmen de Tonchalá.

1.5.1.2 Mínimo interanual de los totales mensuales

1.5.1.2.1 Aeropuerto Camilo Daza

La secuencia utilizada fué extraída de los valores totales mensuales de lluvia, la cual se estudió mediante el método de Gumbel, pero éste no resultó adecuado, lo que hizo necesario el empleo de la distribución de probabilidad logarítmica normal que dió como resultado la gráfica II.L-2; en ella se aprecia que para un lapso medio de retorno de 2 años

o sea con una probabilidad de 0.5 presenta un valor de 1.4 mm de mínimo intranual de lluvia, que es un valor muy pequeño, explicable si se observa la gráfica II.L-3 donde se ve una frecuencia del 60% (bastante alta) para valores entre 0 y 5 mm.

1.5.1.2.2 Carmen de Tonchalá.

La secuencia utilizada fué extraída de la de los valores totales mensuales de lluvia.

Usando la distribución de Gumbel se hizo una estimación estadística de los valores mínimos de lluvia según lo ilustra la gráfica II.L-4. Para un lapso medio de retorno de 20 años, o sea con una probabilidad de excedencia de 0.95 se encuentra un valor de 4.33 mm.

1.5.1.2.3 Comparación entre el Aeropuerto Camilo Daza y Carmen de Tonchalá.

Los valores de mínimos presentan un mayor promedio en Carmen de Tonchalá, 19.93 mm contra 5.42 mm en Aeropuerto Camilo Daza. La desviación típica es un poco más alta en el Aeropuerto y el coeficiente de variación bastante más alto.

1.5.2 Lluvia máxima intramensual en 24 horas.

1.5.2.1 Aeropuerto Camilo Daza

La secuencia histórica extraída de HIMAT consta de valores mensuales desde 1945 hasta 1977. Los promedios mensuales presentan variación desde 8.8 en junio hasta 30.9 en octubre; los valores más altos ocurren en abril, mayo, octubre y noviembre y los más bajos en junio, julio y agosto, siguiendo un comportamiento similar al de los valores mensuales (gráfica II.L-1). Los valores máximos intra-anales muestran un promedio de 55.89 y una desviación típica de 30.9.

1.5.2.2. Carmen de Tonchala.

La secuencia utilizada consta de registros históricos de 1968 a 1977 y una extensión por regresión de 1945 a 1967, la cual se hizo con base en los datos totales mensuales de la misma estación, dando como resultado:

$$y = 0.77 x^{0.83} ; \text{ con } r^2 = 0.80,$$

altamente significativo.

Los valores anuales fluctúan entre 12 y 112 con un promedio de 48.1 mm. Los promedios mensuales presentan variación entre 15.36 en julio y 32.50 en abril; los valores máximos ocurren en abril, octubre y noviembre y los mínimos en junio, julio y agosto, siguiendo un comportamiento similar al de los totales mensuales.
(gráfica II.L-4)

1.5.3 Aguaceros máximos

Usando la distribución de Gumbel se hizo una estimación estadística de los valores máximos de lluvia en 10 minutos en la estación Carmen de Tonchalá, dando como resultado la ecuación:

$$X_{Tr} = 10.973 - 6.133 \ln (-\ln P)$$

donde X_{Tr} es el valor para un lapso medio de retorno Tr y P es la probabilidad $P(X \geq x)$.

Con esta se puede elaborar la gráfica II.L-5. Para una duración de 30 minutos la lluvia máxima es igual a la de 10 minutos multiplicada por un factor de 1.77; para una hora el factor es de 2.1. La lluvia máxima en 10 minutos correspondiente a un lapso medio de retorno de 20 años es de 29.2 mm; para 30 minutos es de 51.7 mm y para una hora es de 61.3 mm.

La intensidad de lluvia correspondiente a estos lapsos, expresada en mm./hora es 175.2; 103 y 61.3, respectivamente, valores que se recomiendan para el diseño de los drenajes de la central.



INSTITUTO COLOMBIANO
DE ENERGIA ELECTRICA
centrales eléctricas
del norte de Santander

C E N S

SOCIEDAD GENERAL
DE CONSULTORIA LTDA

PROYECTO TERMOTASAJO

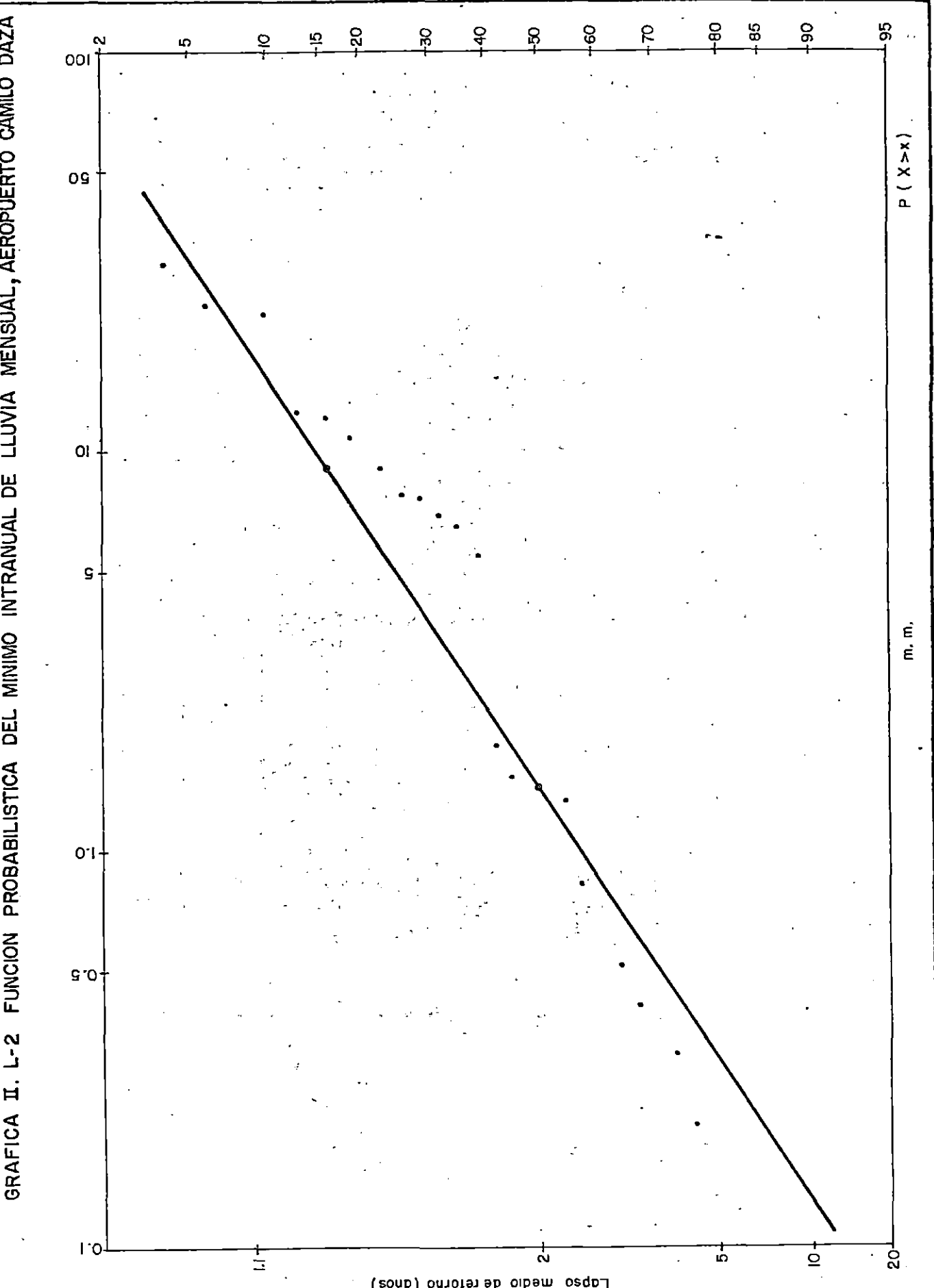
APROBADO:

FECHA:

GRAFICA II. L-1
LLUVIA : PROMEDIOS INTERANUALES

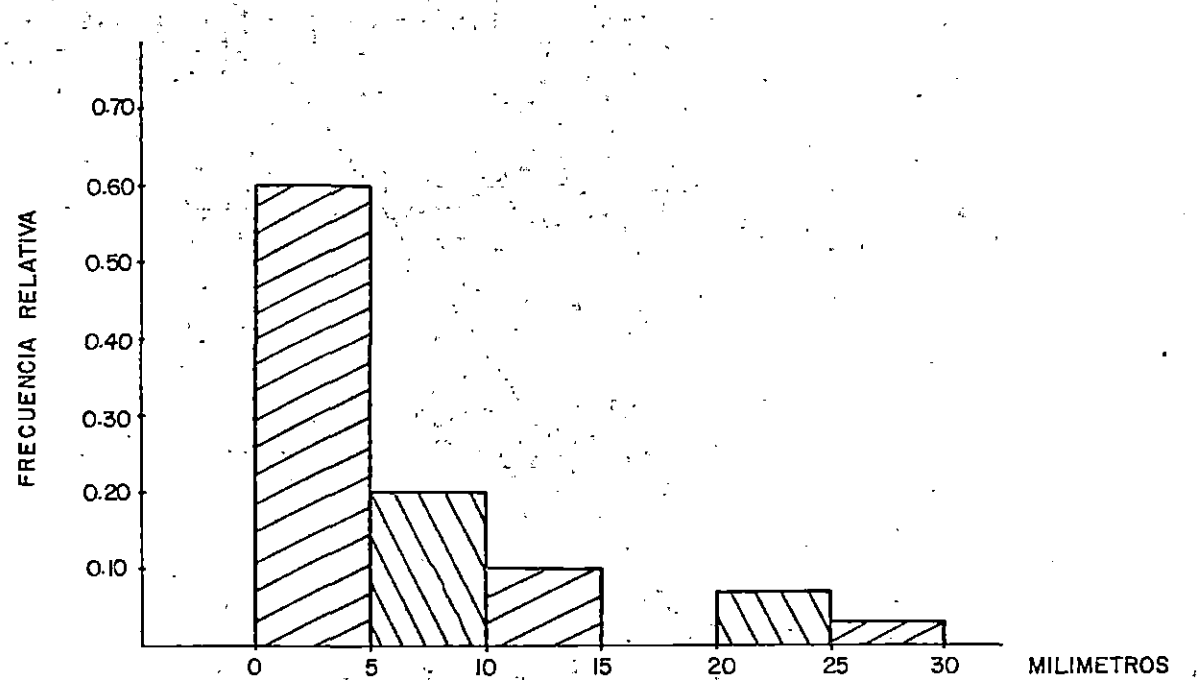


— Total mensual Carmen de Toncháí
— Total mensual Aeropuerto Comilo Daza
— Máxima intramensual en 24 horas, Aeropuerto Comilo Daza
— Máxima intramensual en 24 horas, Carmen de Toncháí



 INSTITUTO COLOMBIANO DE ENERGIA ELECTRICA centrales eléctricas del norte de santander	CEN S	SOCIEDAD GENERAL DE CONSULTORIA LTDA	PROYECTO TERMOTASAJERO	A PROBO:
				FECHA:

GRAFICA II. L-3
HISTOGRAMA DE FRECUENCIA RELATIVA DEL
MINIMO INTRANUAL DE LOS TOTALES MENSUALES DE LLUVIA
Estación: Aeropuerto Camilo Daza



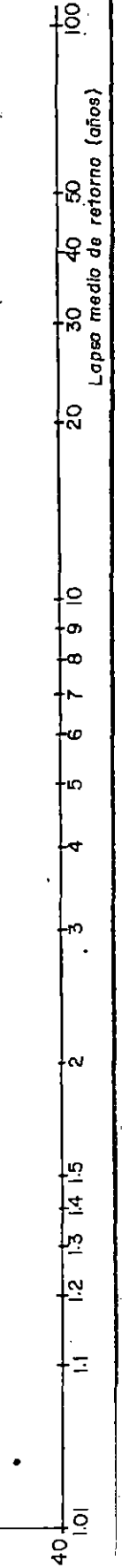
INSTITUTO COLOMBIANO
DE ENERGIA ELECTRICA
centrales eléctricas
del norte de santander

C
E
N
S



SOCIEDAD GENERAL
DE CONSULTORIA LTDA

PROYECTO TERMOTASAJERO	APROBÓ:
	FECHA:

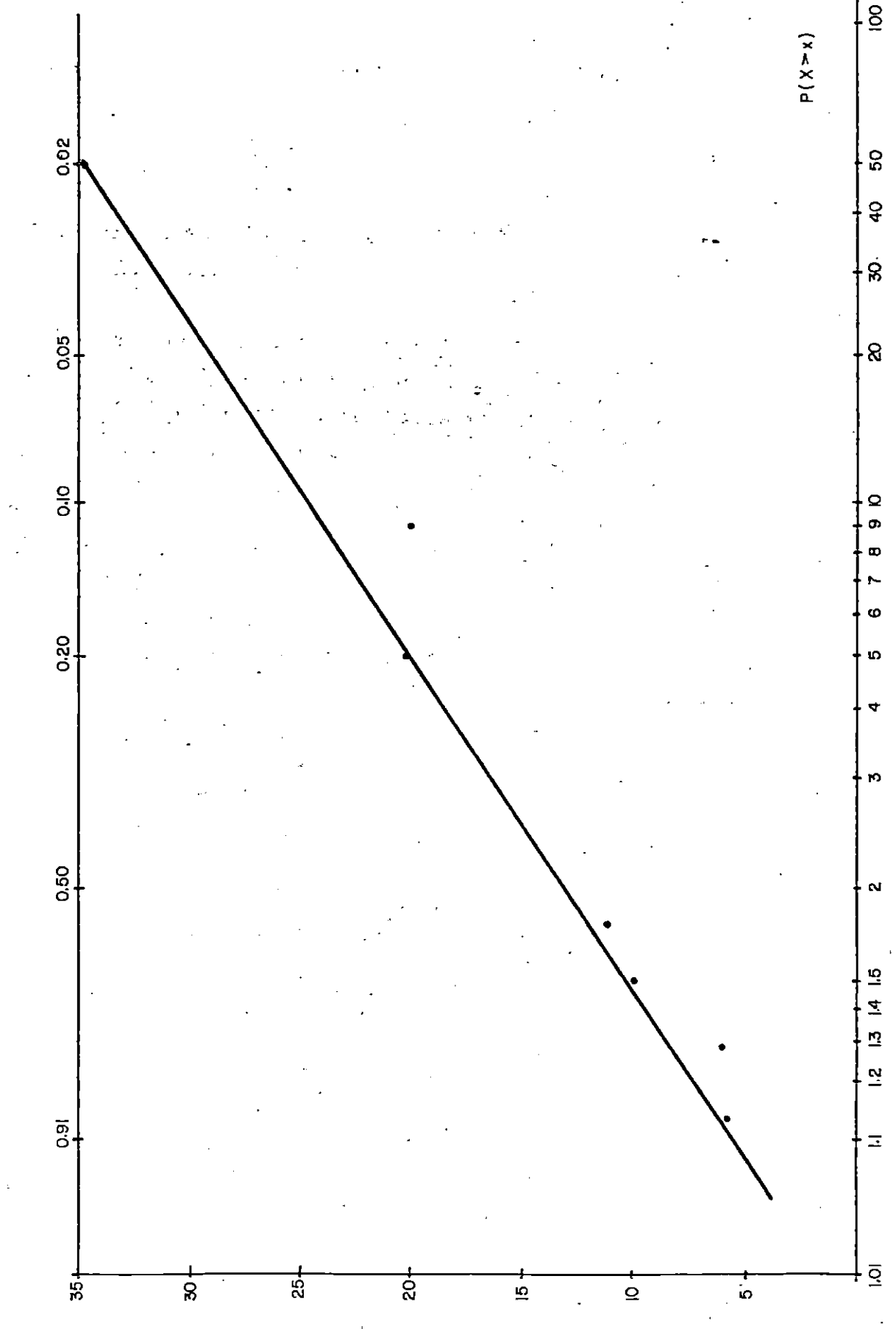


GRAFICA II. L-4 FUNCION PROBABILISTICA DEL MINIMO INTRANUAL DE LOS TOTALES MENSUALES DE LLUVIA
CARMEN DE TONCHALA

 INSTITUTO COLOMBIANO DE ENERGIA ELECTRICA centrales eléctricas del norte de santander	 C E N S	 SOCIEDAD GENERAL DE CONSULTORIA LTDA	APROBO:
			FECHA:

Lapso medio de retorno (años)

$P(X > x)$



GRAFICA II. L-5 FUNCION PROBABILISTICA DE LA MAXIMA LLUVIA EN 10 MINUTOS, CARMEN DE TONCHALA



INSTITUTO COLOMBIANO
DE ENERGIA ELECTRICA
centrales eléctricas
del norte de santander

C
E
N
S



SOCIEDAD GENERAL
DE CONSULTORIA LTDA

PROYECTO TERMOTASA JERO
APROBO:
FECHA:

1.6 RECOMENDACIONES SOBRE INSTRUMENTACION METEOROLÓGICA.

Se recomienda solicitar a HIMAT la incorporación a la red meteorológica de una estación climatológica principal localizada en la vecindad del sitio del proyecto.

2. HIDROLOGIA DEL RIO ZULIA.

2.1 CUENCA HIDROGRAFICA DEL RIO ZULIA.

El Río Zulia nace en cercanías del Cornal, Municipio de Silos, a unos 3.800 mts., s.n.d.m. en jurisdicción de Mutiscua; sigue rumbo al norte bajo el nombre de Río de la Plata; mas adelante toma la denominación de Río Cucutilla, luego de recibir el afluente del mismo nombre. En su confluencia con el Río Arboledas recibe el nombre de Zulia hasta su desembocadura en el Río Catatumbo, en territorio venezolano, a unos 40 m.s.n.d.m.

El área de la cuenca hasta la estación San Javier es de 1.470 Km², siendo la longitud del río de 79.9 Km con una pendiente promedio de 4.4%.

El plano II.L muestra el límite de la cuenta hidrográfica del Alto Río Zulia. Las formaciones vegetales de la cuenca son: en su parte más alta bosque muy húmedo montano bajo, seguido inmediatamente hacia abajo por bosque muy húmedo sub-tropical, bosque húmedo tropical y bosque húmedo sub-tropical. En consecuencia, la cobertura vegetal de la cuenca presenta un estado favorable a su rendimiento hidráulico, característica que es indispensable conservar mediante un programa de manejo de la cuenca que garantice que por lo menos se mantenga el caudal mínimo estimado en este estudio.

2.2 ESTACIONES HIDROMETRICAS

Estación de San Javier: Esta estación se instaló en Julio de 1958 con el objeto de medir el caudal del río para su aprovechamiento en el sistema de riego del Valle del Zulia. Está localizada en el departamento de Norte de Santander, Municipio de Durania, a los 7°51' Norte y 72°38' al Oeste de Greenwich, sobre el río Zulia, unos 500 mts. agua arriba del puente Zulia o puente Pedro Nel Ospina en las ruinas de un puente colgante antiguo. La estación está dotada de limnígrafo, mira y una tarabita con vagoneta. Los aforos se efectúan con molinete.

El Plano II.1 muestra su localización geográfica con respecto al sitio del proyecto.

2.3 CAUDAL EN SAN JAVIER

2.3.1 Caudal máximo.

La función probabilística de Gumbel del máximo intranual de los caudales promedios diarios está representada por la gráfica II.h-1. Para un lapso medio de retorno de 100 años el caudal es de 2.000 M³/s.

Niveles máximos.

El caudal máximo a través de una sección puede relacionarse con el área de la sección por medio de la ecuación de Manning.

$$Q = \frac{1}{n} AR^{2/3} S^{1/2},$$

donde Q es el caudal que pasa por la sección de área A y R es el Radio hidráulico de dicha sección.

Para el cálculo se tomó la sección localizada 640 metros aguas abajo del Puente Zulia y con un nivel máximo que corresponde a la cota 256 de la topografía, con lo cual se protege el sitio del proyecto.

Los parámetros se estimaron como:

$$n = 0.100, A = 1.262 \text{ mts}^2, R = 2.904, S = 9.3 \times 10^{-5}$$

La probabilidad de excedencia en un año cualquiera de este caudal es de 0,002417 que corresponde a un lapso medio de retorno de 413,7 años. Para este caudal la sección 440 mts. aguas abajo de Puente Zulia presentará un nivel correspondiente aproximadamente a una cota 257.6 m.

La probabilidad de excedencia en 50 años es

$$1 - (1-0.002417)^{50} = 0.1139 = 11.4 \%$$

2.3.2 Caudal Mínimo.

La función probabilística de Gumbel del mínimo intranual de los caudales promedios diarios está representada por la gráfica II.h-2. La función probabilística de Weibull de la misma variable está representada por la gráfica II.h-3. Esta última muestra un mejor ajuste en el rango de valores más bajos y por lo tanto se prefiere a la primera. El caudal correspondiente a un lapso medio de retorno de 20 años es de 8.72 M3/s.

Profundidad Mínima

La profundidad del río en una sección puede relacionarse con el caudal a través de ella, usando la ecuación de Manning, con la cual puede llegarse al siguiente resultado aproximado:

$$y = \theta Q^{3/5}$$

donde y es la profundidad media del agua en la sección; Q es el caudal en M^3/s , y

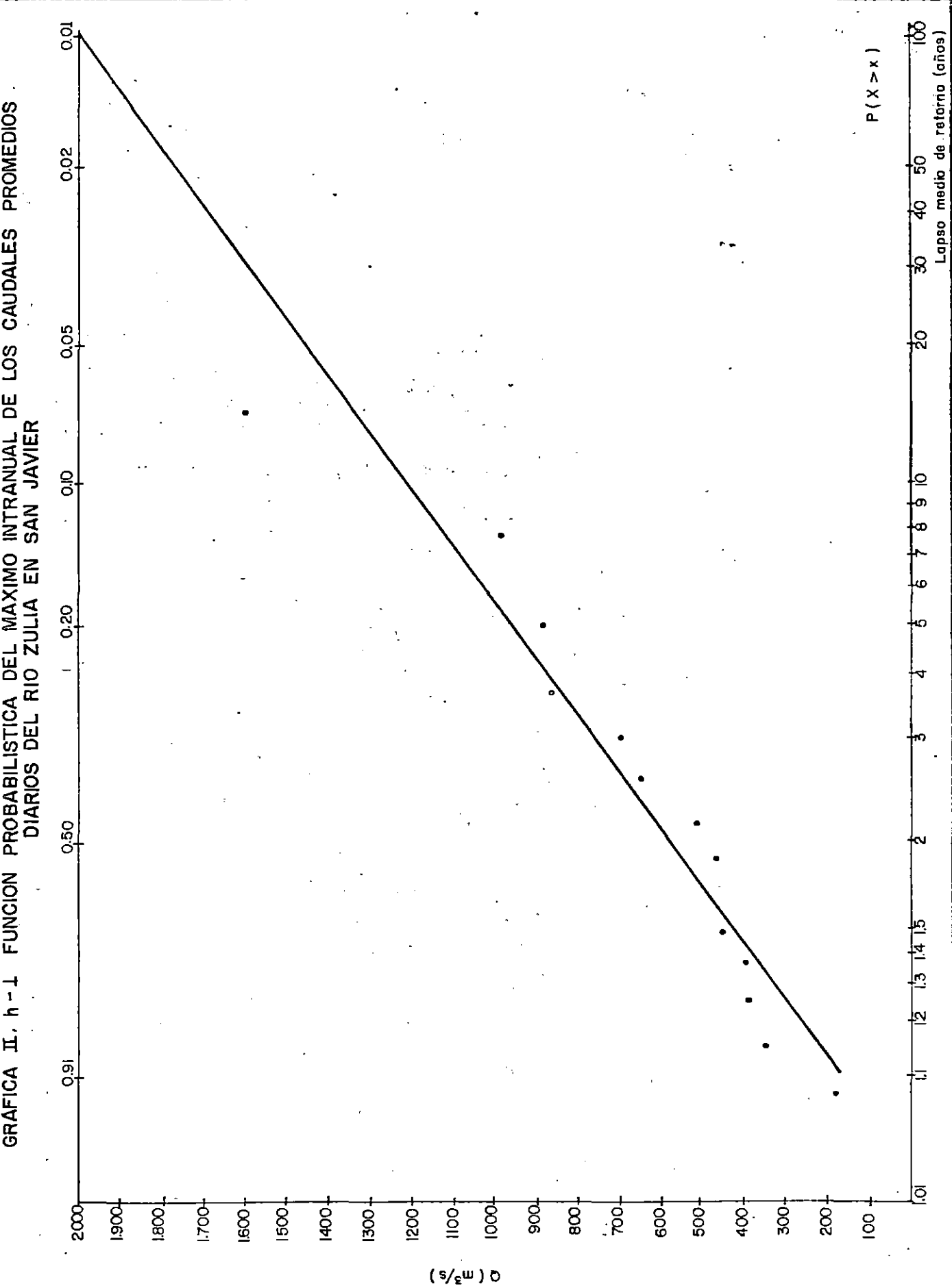
$$\theta = (n/(bS^{1/2}))^{3/5},$$

siendo b el ancho promedio de la sección del agua, S la pendiente (del lecho del río que se supone igual a la del nivel superficial del agua) y n el coeficiente de rugosidad de Manning

Para el cálculo se han estimado los siguientes parámetros: $n = 0.035$, $b = 35$ mts., $s = 9.3 \times 10^{-3}$ y $Q = 8.72$ M^3/s ; con estos valores la profundidad mínima para un lapso medio de retorno de 20 años se ha calculado aproximadamente en 0.24 mts.

P(X > x) 100

Lapso medio de retorno (años)



GRAFICA II. h-1 FUNCION PROBABILISTICA DEL MAXIMO INTRANUAL DE LOS CAUDALES PROMEDIOS
DIARIOS DEL RIO ZULIA EN SAN JAVIER



INSTITUTO COLOMBIANO
DE ENERGIA ELECTRICA
centrales eléctricas
del norte de santander



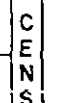
SOCIEDAD GENERAL
DE CONSULTORIA LTDA

PROYECTO TERMOTASAJERO

A PROBO:
FECHA:

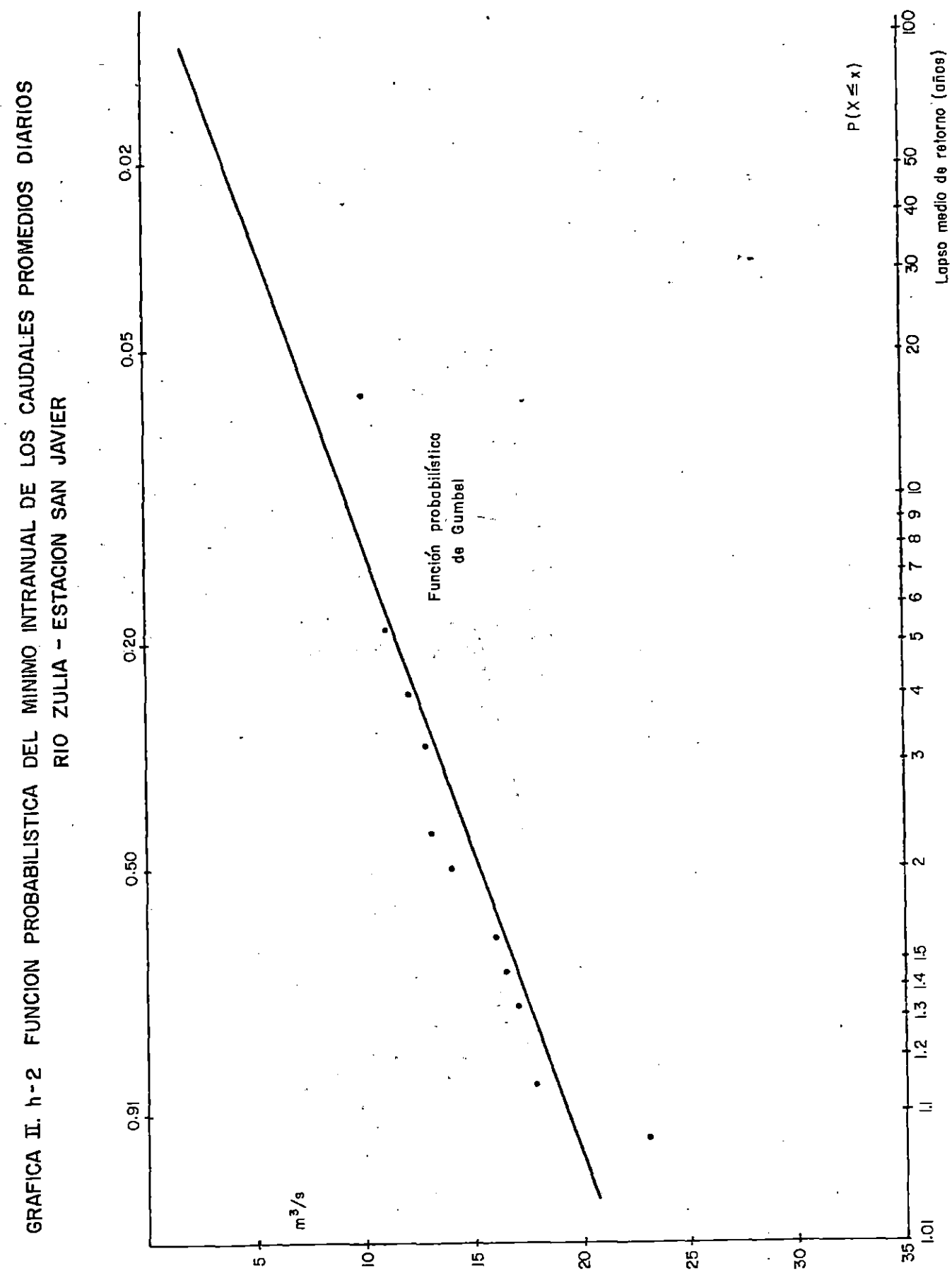


INSTITUTO COLOMBIANO
DE ENERGIA ELECTRICA
centrales eléctricas
del norte de santander



SOCIEDAD GENERAL
DE CONSULTORIA LTDA

PROYECTO TERMOTASA JERO	APROBÓ:
	FECHA:





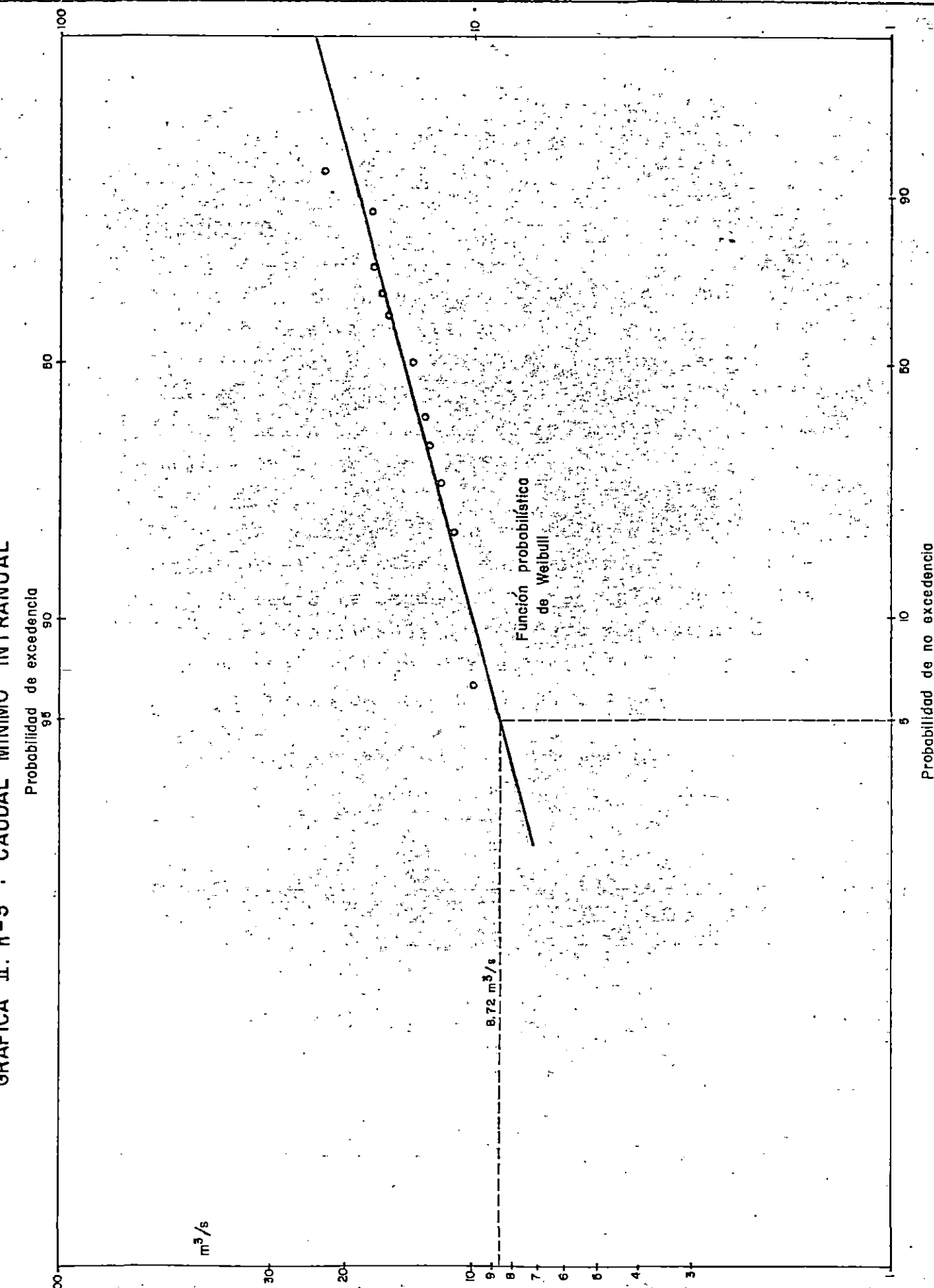
INSTITUTO COLOMBIANO
DE ENERGIA ELECTRICA
centrales eléctricas
del norte de santander

C
E
N
S

SOCIEDAD GENERAL
DE CONSULTORIA LTDA.

PROYECTO TERMOTASAJERO

APROBO:
FECHA:

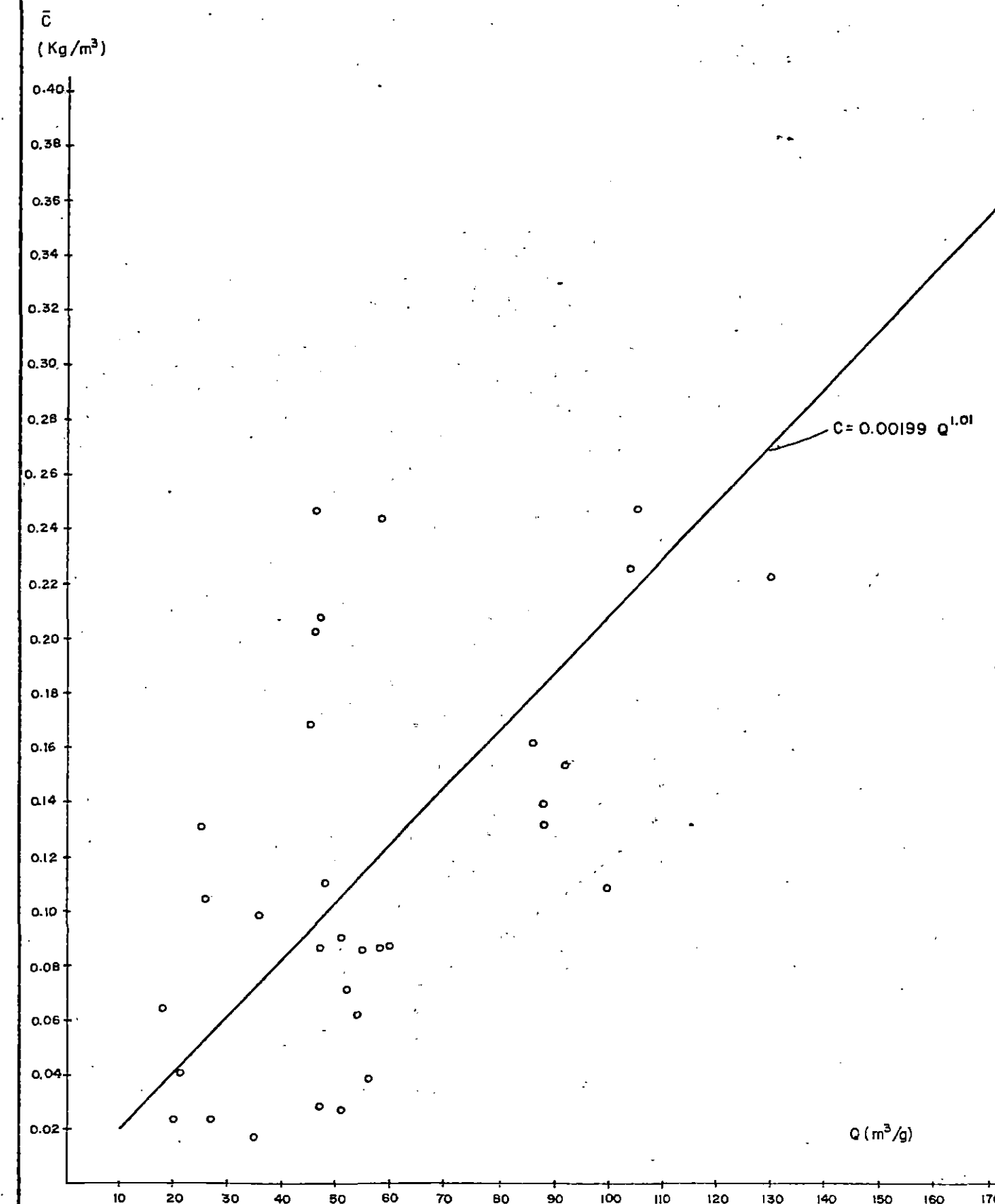


2.4 SEDIMENTOS

Con base en la información histórica disponible en HIMAT se ha estimado la función de concentración de sedimentos del Río Zulia en San Javier, la cual se muestra en la gráfica II.S-1. También se ha estimado la función de descarga de sedimentos, la cual se incluye en la gráfica II.S-2.

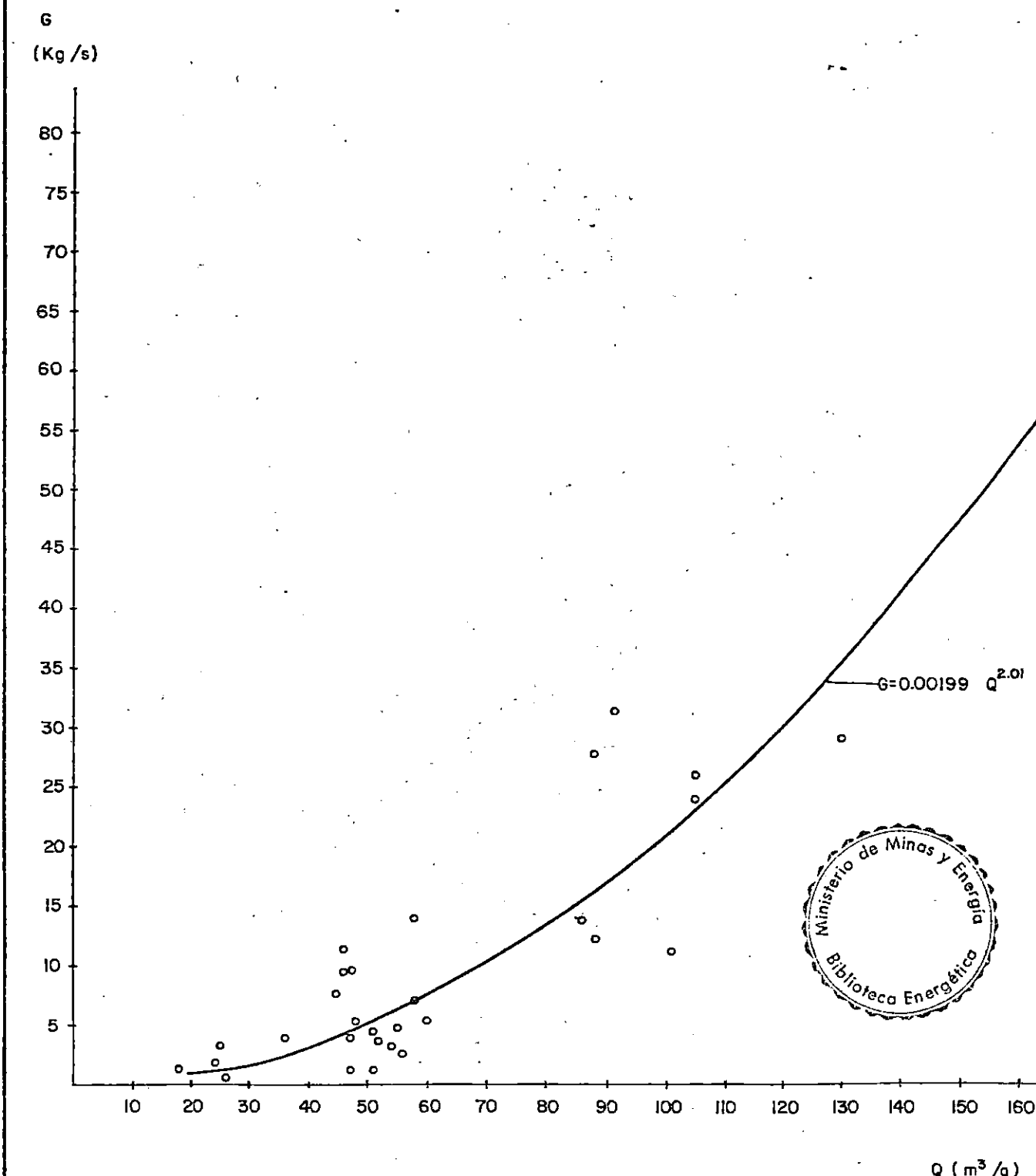
La concentración media integrada y la superficial están correlacionadas en tal manera que la primera es 1.34 veces la segunda. La regresión se muestra en la gráfica II.S-3; usando esta regresión se encuentra una concentración estrema de 3.13 Kg/M³ para un lapso medio de retorno de 20 años.

GRAFICA II S-1
FUNCION DE CONCENTRACION DE SEDIMENTOS
RIO ZULIA - ESTACION SAN JAVIER



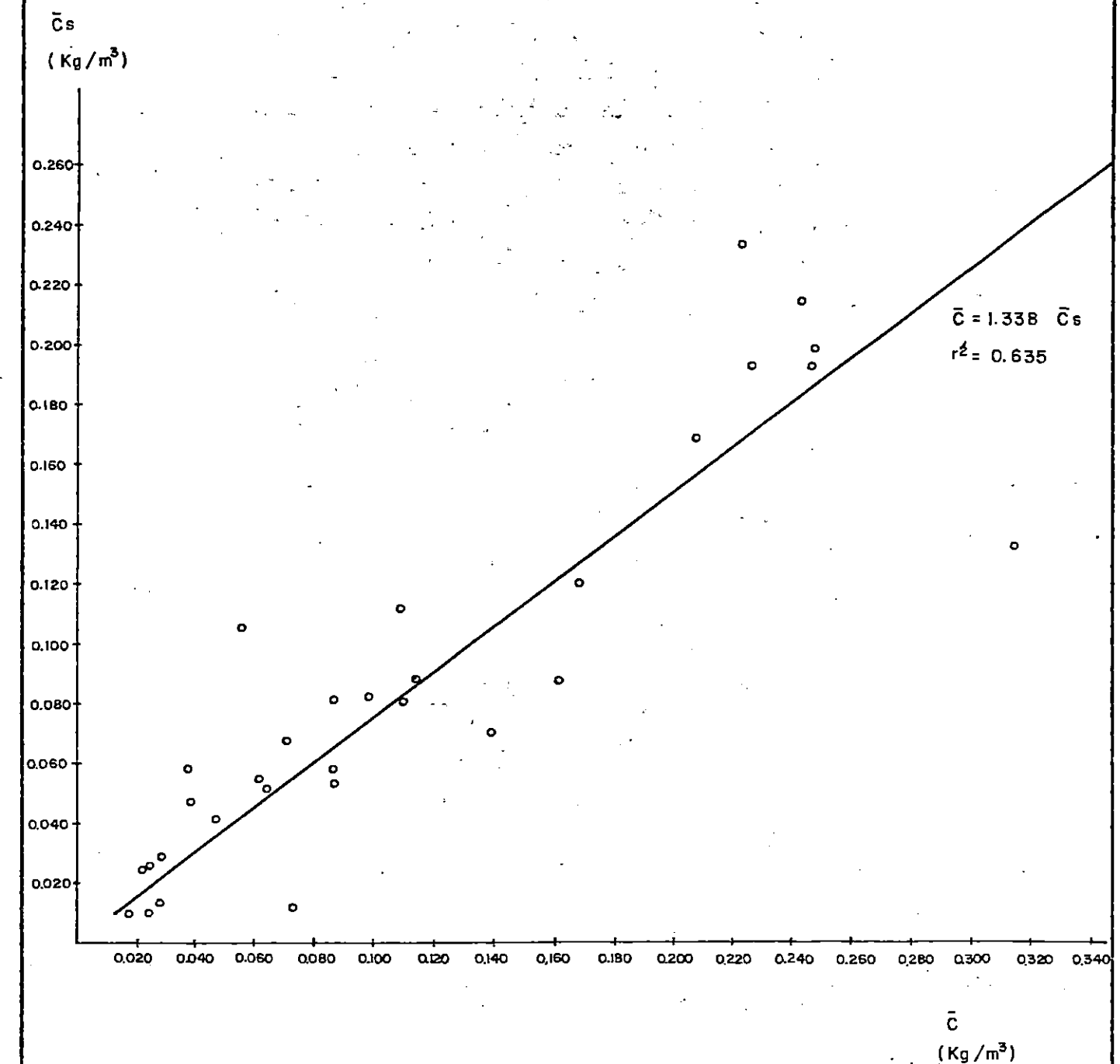
 ICEI	INSTITUTO COLOMBIANO DE ENERGIA ELECTRICA centrales eléctricas del norte de santander	 CENS	SOCIEDAD GENERAL DE CONSULTORIA LTDA	PROYECTO TERMOTASAJERO	A PROBO:
				FECHA:	

GRAFICA II. S-2
FUNCION DE DESCARGA DE SEDIMENTOS
RIO ZULIA - ESTACION SAN JAVIER

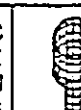


GRAFICA II S-3

RELACION ENTRE CONCENTRACION I MEDIA (\bar{C})
Y CONCENTRACION MEDIA SUPERFICIAL (\bar{C}_s)



INSTITUTO COLOMBIANO
DE ENERGIA ELECTRICA
centrales eléctricas
del norte de santander



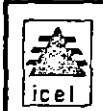
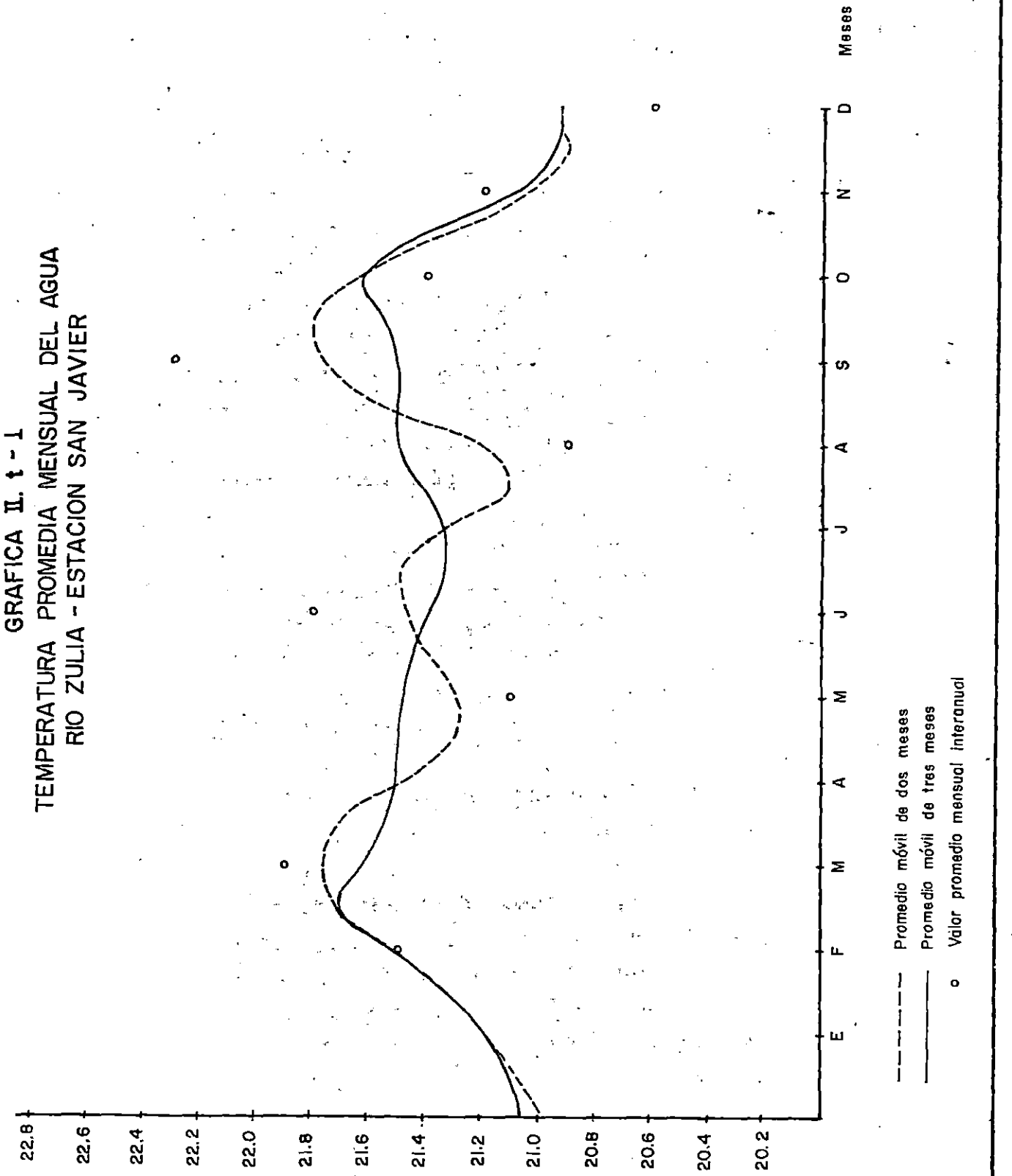
SOCIEDAD GENERAL
DE CONSULTORIA LTDA

PROYECTO TERMOTASAJERO

A PROBO:
FECHA:

2.5 TEMPERATURA DEL AGUA

La gráfica II.t-1 muestra las variaciones de la temperatura promedio mensual del agua del río Zulia en San Javier. El rango observado de variación va de un mínimo de 20.6°C en diciembre a un máximo de 22.3°C en septiembre, para temperaturas tomadas entre las 10:00 a.m. y las 3:00 p.m.. Los promedios móviles de dos y tres meses indican un pico en marzo y otro en septiembre y un mínimo en diciembre.



INSTITUTO COLOMBIANO
DE ENERGIA ELECTRICA
centrales eléctricas
del norte de santander



SOCIEDAD GENERAL
DE CONSULTORIA LTDA

PROYECTO TERMOTASAJERO

APROBÓ:
FECHA:

2.6 PROPIEDADES FISICO-QUIMICAS DEL AGUA

Durante lapsos de caudales altos, la mayoría de los ríos exhiben sus características más favorables de calidad del agua desde el punto de vista químico; aunque el agua puede contener cantidades muy grandes de material en suspensión, las concentraciones de sustancias disueltas son bajas. Es así como se ha observado que la dureza disminuye con el caudal en una forma aproximadamente exponencial.

Los cationes predominantes en aguas fluviales son calcio, magnesio, sodio y potasio, generalmente en este orden. Algunos ríos tienen altas proporciones de sodio; el hierro y el manganeso no son generalmente importantes en la mayoría de las aguas fluviales.

Los cloritos, los sulfatos y los bicarbonatos son generalmente los aniones más concentrados en el agua fluvial. Algunas corrientes contienen algo de carbonatos y aún cantidades menores de hidróxidos. Las concentraciones de nitratos son usualmente pequeñas, excepto cuando drenan al río poluentes orgánicos. Pueden esperarse solamente cantidades menores de otros aniones en la mayoría de los ríos en sus condiciones naturales.

La temperatura del agua fluvial generalmente sigue el promedio de largo plazo de la temperatura del aire en el área. Las corrientes pandas de flujo rápido responden rápidamente a los cam-

bios en la temperatura del aire, mientras las corrientes profundas y lentas son menos afectadas.

Todos los ríos contienen diferentes cantidades de gases en solución; en ríos no contaminados por residuos demandantes de oxígeno la concentración de oxígeno disuelto estará cercana a la saturación.

El dióxido de carbono usualmente está presente en el agua fluvial, a menudo en concentraciones de 10 ppm o más; siendo un sub-producto del metabolismo de la vida acuática, su concentración generalmente varía a través del día. El sulfito de hidrógeno, el metano, el dióxido de azufre y el amoniaco usualmente no se encuentran en las aguas fluviales.

El pH del agua fluvial usualmente es 7 o ligeramente más alto, aunque pueden presentarse valores mucho más bajos. Valores de cinco o menores son típicos de ríos que drenan minas de carbón y áreas similares. Los ácidos orgánicos resultantes de la vegetación decadente también causan bajos valores de pH. El color en el agua fluvial está comúnmente bajo 50 p.p.m., con concentraciones más altas usualmente asociadas con drenaje de pantanos.

2.6.1 El agua para enfriamiento

La fuente de agua para enfriamiento puede ser subterránea o superficial, pero para los fines de este estudio solo interesa la última.

Dependiendo del sistema, se puede utilizar más o menos cantidad de agua; muchas veces es precisamente la cantidad de agua disponible la que determina el sistema de enfriamiento a emplear. Fundamentalmente, los sistemas que se utilizan para enfriamiento con agua son tres: 1) agua utilizada una sola vez y luego desechada, 2) agua utilizada una vez y luego usada para otros propósitos, y 3) agua utilizada muchas veces por recirculación.

El agua para enfriamiento utilizada una sola vez se toma generalmente de corrientes grandes y se devuelve a estas, o en algunos casos a otras, después de pasar una sola vez por el equipo que produce el calor; la cantidad de agua requerida es grande, lo que hace que rara vez sea económicamente factible alterar su calidad por tratamiento.

El agua para enfriamiento recirculado, usualmente, después de tomada, circula a través del sistema de enfriamiento, se enfriá al pasar luego por una torre de enfriamiento, o tanque de rociado, y luego es recirculada. No requiere la cantidad de agua del caso anterior, y solo basta con reemplazar la que se requiere por pérdidas, que usualmente se menos del 10% del agua recirculada.

2.6.2 Requisitos y especificaciones de calidad del agua para enfriamiento.

Los requisitos de calidad del agua dependen del sistema de enfriamiento que se vaya a utilizar.

El agua que se usa una sola vez no necesita ser de tan buena calidad como la utilizada en sistemas recirculados. Estos requieren agua de mejor calidad, puesto que las concentraciones de sólidos disueltos aumentan y deben controlarse.

Los problemas más importantes ocasionados por impurezas presentes en el agua, que afectan su utilidad para fines de enfriamiento son: las incrustaciones, los depósitos de corrosión, los sedimentos, la materia orgánica y la formación de babazas.

El principal componente para la formación de incrustaciones en los sistemas de enfriamiento es el carbonato de calcio, formado por la descomposición de bicarbonato de calcio, en carbonato de calcio, dióxido de carbono y agua. El Índice de Langelier, o índice de saturación de carbonato, es el valor predictivo de la tendencia del agua de enfriamiento a la formación de incrustaciones. Para calcularlo basta conocer la alcalinidad al anaranjado de metilo, la dureza en calcio,

los sólidos totales, el valor del pH y la temperatura a la cual va a ser elevada el agua.

La mas común forma de corrosión en conductos de metal ferroso, es la corrosión por oxígeno disuelto, causada por el oxígeno contenido en el aire disuelto. Esta forma de corrosión es generalmente acelerada por bajos valores del pH, y en aguas de baja alcalinidad y alto contenido de dióxido de carbono libre el ataque es mucho mas rápido que en el caso de aguas con alta alcalinidad y bajo contenido de dióxido de carbono libre. El ataque es generalmente acelerado por incrementos en temperatura.

Las aguas turbias contienen también sedimentos gruesos y finos suspendidos que son objetables en la mayoría de los sistemas de enfriamiento. Estos son especialmente objetables cuando se alojan en superficies de intercambio de calor. Tales materiales cuando se acompañan de babazas bacteriales y de productos corrosivos causan una marcada pérdida de eficiencia de enfriamiento y un ataque corrosivo acelerado, tanto en metales ferrosos como no ferrosos. Bacterias de hierro y manganeso, popularmente conocidos como cenótrix, pueden llegar a ser extensivamente problemáticas en aguas de enfriamiento con contenido de hierro y/o manganeso, ya que forman masas quebradizas que sueltas pueden ocasionar el bloqueo del paso.

Yeras y barro son otros organismos dañinos de cuidado en los sistemas de enfriamiento. Algunos de los organismos forman depósitos compactos que pueden ser problemáticos.

Las especificaciones para aguas de enfriamiento varían con las diferentes clases de agua para varias aplicaciones industriales.

De acuerdo a los posibles problemas que se vieron anteriormente, el agua no debe formar aisladores de calor, incrustaciones u otros depósitos, no debe ser corrosiva o contener substancias que ayuden a la corrosión, ni formar escamas, ni promover el crecimiento de babazas, bajo condiciones de uso o de re-uso.

En cuanto a especificaciones más exactas, se incluyen en el Cuadro II.C-1.

2.6.3 Muestreos y resultados.

Para el estudio de los análisis físico-químicos del agua, se tuvieron en cuenta dos muestreos. El primero, se hizo el 28 de noviembre de 1978, para cuatro secciones sobre el Río Zulia, y una sobre el Río Peralonso un poco antes de su confluencia con aquél, tomando una muestra de 1 litro por sección. El segundo se efectuó el 15 de enero de 1979, para las mismas cinco secciones,

muestras con contenido de un litro, pero en algunos casos mas de una muestra por sección, con el fin de estudiar la posible diferencia entre puntos de estas.

Las secciones en las cuales se tomaron muestras, corresponden a: Puente Zulia sobre el Río Zulia, una muestra en noviembre y una muestra en enero; San Cayetano, puente "La Hamaca" sobre el Río Zulia, una en noviembre y una en enero; Las Tortugas, puente sobre el Río Peralonso, una en noviembre y dos en enero; represa del Incora, antes del vertedero, una en noviembre y una en enero; aguas abajo del vertedero, una en noviembre y tres en enero.

Los análisis físico-químicos, llevados a cabo por el Instituto Nacional de Investigaciones Geológico-Mineras "INGEOMINAS" se anexan a este informe. Se observan valores que oscilan, para las diferentes características, entre el 2% y el 13% del valor límite máximo de las especificaciones de la ASTM, lo cual da un margen bastante amplio.

Las diferencias que se presentan entre las muestras tomadas en noviembre y las tomadas en enero, pueden explicarse por la diferencia de caudal del Río entre un momento y el otro.

Por otra parte, el cálculo del Indice de Langelier, nos indica que se trata de un agua que se puede clasificar aproximadamente como químicamente balanceada para efectos de enfriamiento, es decir, que no presenta una tendencia marcada a la formación de incrustaciones, ni a la corrosión.

De otra parte, la concentración de sedimentos en suspensión para un lapso medio de retorno de 20 años es de 3.134 mg/lit.; por lo tanto, estaría dentro de las especificaciones, que permiten una concentración hasta de 5.000 mg/lit; sin embargo, cuando el agua del río sea tomada en época de caudales mínimos, se puede presentar arrastre de sedimentos de fondo; por consiguiente sería conveniente el diseño de una estructura de sedimentación.

2.6.4 Conclusiones y recomendaciones

- a) Para un sistema de enfriamiento con una sola utilización del agua, el agua del Río Zulia es apta en su estado natural y por lo tanto no requiere ningún tratamiento químico previo.
- b) Para un sistema de enfriamiento por recirculación de agua, el agua del Río Zulia no es apta en su estado natural, ya que no cumple las especificaciones; luego requeriría un tratamiento físico-químico previo.

- c) En caso de una posible ampliación futura de la planta, dado que el caudal del río no sería suficiente para emplear un sistema de enfriamiento con una sola utilización del agua, y que por lo tanto, debería ser utilizado un sistema de enfriamiento por recirculación, sería conveniente hacer un estudio más profundo, tomando muestras en las distintas épocas del año, con el fin de determinar exactamente las concentraciones críticas, así como las que se presentarían en los diferentes ciclos, para establecer el tratamiento previo que debe darse al agua.

CUADRO No. II.C.2

Instituto Geológico de I.V.N. ESTACIONES HIDROLOGICAS Y MINERAS

Solicitud de Información Técnica

Oficio No. /

Bogotá, diciembre 11 de 1978

Muestras Nos.	6311 al 6315 Acueducto	6312 6313	No. 3 Herencia del Rio Portugues	No. 4 Herencia del Rio Portugues
Procedencia	La Andes	Carretero	Arriaga	Arriaga
Remitente	Compañía General de Consumidores	Carretero	Arriaga	Arriaga
Dirección	A.A. 1000 Calle 72 # 12-77 Tel. 2555305	Av. 260/76 Ingomar	Bogotá 2093 noviembre 29/78	Bogotá 2093 noviembre 29/78
Trabajo solicitado	Analisis	Analisis	Analisis	Analisis
Muestra referencia	Eustreia 2093 noviembre 29/78	Eustreia 2093 noviembre 29/78	Eustreia 2093 noviembre 29/78	Eustreia 2093 noviembre 29/78

RESULTADO DEL ANALISIS

Muestras Nos.	Latas	6311	6312	6313	6314	6315
Su referencia	Bo.1 Puente Zalía Viejo (arrive)	No.2 Zalía Sand Carretero (arrive)	No.3 Herencia del Rio Portugues Arriaga (arrive)	No.4 Herencia del Rio Portugues Arriaga (arrive)	No.5 Rio Portugues Las Tortugas	
Turbiedad en SI0.2	2.50	7.50	12.20	12.20	17.00	mg/l
pH potencimétrico a 20°C	7.90	8.00	8.00	8.10	8.00	
Conductividad específica a 25°C	111.80	119.88	131.23	130.09	130.09	micromhos/cm.
Dureza Total E.D.T. en CaCO ₃	54.25	51.89	54.25	63.68	66.04	mg/l
Alcalinidad al la Fórmula Linares	5.00	5.00	5.00	5.00	5.00	
Alcalinidad al Acetato de Metilo en CaCO ₃	50.00	30.00	30.00	45.00	45.00	
Carbonatos	6.00	6.00	6.00	6.00	6.00	
Bicarbonatos en SO ₃	60.99	36.59	54.89	54.89	56.89	
Cloruro en Cl	14.20	14.10	17.75	14.20	14.20	
Sulfato en SO ₄	3.00	2.00	2.00	3.00	3.00	
Nitrato en NO ₃	2.80	2.00	1.50	2.00	2.00	
Hierro total en Fe	0.60	0.40	0.30	0.25	0.72	
Hierro en suspensión en Fe	0.10	0.1	0.14	0.14	0.00	
Hierro en disolución en Fe	0.50	0.43	0.16	0.11	0.72	
Calcio en Ca	15.09	15.9	15.05	16.94	20.00	
Magnesio en Mg	3.96	2.8	2.9	3.97	3.83	
Fosfato en P	0.5	0.5	0.05	0.05	0.05	
Amónio en NH ₄	1.00	1.0	1.00	1.00	1.00	
Intensidad en K	5.00	5.0	5.00	5.00	4.00	
Urdio en Ba						



CUADRO No. II.C.2 (cont)							
Rheostato No.	Actua	6311	L317	6313	6314	6315	Oltech No. (II.C.2)
Salida total de (envío en 105°C).....	61.00	36.00	103.00	100.00	63.00	63.00	63.00
Salida en solucion (operación a 105°C)....	55.00	46.00	97.00	62.00	58.00	58.00	58.00
Salida en suspensión (por diferencia)	12.00	12.00	5.00	38.00	25.00	25.00	25.00
Relación d. Admisión de óxido R.A.3.	0.30	0.31	0.31	0.27	0.21	0.21	0.21
Clasificación para irritación 1. B1 2. S1 3. S1 4. S1 5. S1				C1-S1	C1-S1	C1-S1	C1-S1
BALANCE CATIONICO-ANIONICO							
CATIONES MEZCL.							
Po.....	0.0036	0.0039	0.0050	0.0050	0.0000	0.0000	0.0000
Ca.....	0.1530	0.7879	0.7530	0.9451	0.9980	0.9980	0.9980
Mg.....	0.3257	0.2451	0.2393	0.3224	0.3166	0.3166	0.3166
Nn.....	0.0036	0.0036	0.0036	0.0036	0.0036	0.0036	0.0036
K.....	0.0259	0.0259	0.0259	0.0259	0.0259	0.0259	0.0259
Na.....	0.2174	0.2174	0.2174	0.2174	0.2174	0.2174	0.2174
TOTAL	11.3292	11.2838	11.2442	11.5194	11.5380	11.5380	11.5380
ANIONES MEZCL.							
RCO ₃	0.9997	0.9947	0.9997	0.9997	0.8997	0.8997	0.8997
CO ₃	0.0000	0.0000	0.0000	0.0000	0.2000	0.2000	0.2000
C1.....	0.4004	0.4004	0.4004	0.4004	0.4004	0.4004	0.4004
SO ₄	0.0625	0.0416	0.0416	0.0416	0.0625	0.0625	0.0625
NO ₃	0.0452	0.0371	0.0371	0.0371	0.0323	0.0323	0.0323
TOTAL	11.5078	11.2638	11.3561	11.5949	11.6192	11.6192	11.6192

Pasa a la Jntg. No.3

CUADRO N° II.C.2 (cont)

Urto de No. 101-9.1:

- 3 -

NOTAS

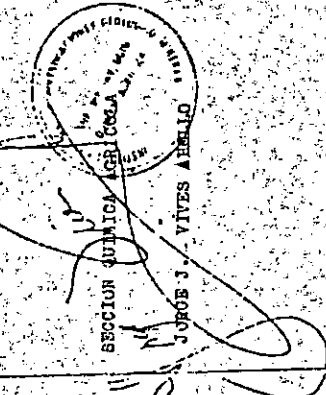
Las muestras analizadas son suficientemente imjorables ya sea por su sujeción (falta 5 m.s/1), o por su contenido de hierro. (falta 0.30 m.s/1).

En cuanto a su duraza se clasifican como aguas acidizadas.

Para irrigación se clasifican en el grupo C 51, debajo polvo de calización y bajo tellero de oxidación para los cultivos.

Ejecutado por: Dra. M. Ortíz Pérez Hernández

/abv.-



CUADRO No. II.C.3 (Continuación)						
Muestreo No.	No. 01	No. 02	No. 03	No. 04	No. 05	No. 06
Su referencia	Aguas	Zulia	Zulia	Zulia	Zulia	Zulia
Salídos totales (evaporación a 105°C)						
169.00	152.00	155.00	137.00	167.00	160.00	156.00
163.00	150.00	143.00	136.00	166.00	138.00	131.00
6.00	2.00	12.00	1.00	1.00	22.00	5.00
Relación de Abrazoón de Sodio R.A.B	0.26	0.28	0.34	0.30	0.26	0.21
Clasificación para irrigación	C. 1					
T O T A L	2.2162	2.0274	1.8849	1.7866	2.3053	1.8299
Sólidos en solución (evaporación a 105°C)						
163.00	150.00	143.00	136.00	166.00	138.00	131.00
6.00	2.00	12.00	1.00	1.00	22.00	5.00
Relación de Abrazoón de Sodio R.A.B	0.26	0.28	0.34	0.30	0.26	0.21
Clasificación para irrigación	C. 1					
T O T A L	2.2162	2.0274	1.8849	1.7866	2.3053	1.8299

B A L A N C E C A T I O N I C O - A N I O N Ó G I C O

GATIGOTES MM/1lt.	Po	Ca	Mg	Mn	K	Fa	T O T A L
0.0036	0.0043	0.0043	0.0036	0.0036	0.0036	0.0036	0.0043
1.1087	1.3303	1.5518	1.4970	1.7105	1.6077	1.1636	1.1087
0.8191	0.4087	0.0000	0.0000	0.2639	0.0000	0.3330	0.3404
0.0036	0.0036	0.0036	0.0036	0.0036	0.0036	0.0036	0.0036
0.0204	0.0204	0.0209	0.0209	0.0521	0.0204	0.0184	0.0184
0.2608	0.3043	0.2608	0.2608	0.1939	0.2608	0.2608	0.2608
T O T A L	2.2162	2.0274	1.8849	1.7866	2.3053	1.8299	1.7362

ANOTES MM/1lt.

HCO₃ 1.8040 1.6140 1.4566 1.3744 1.6933 1.4016 1.3648 1.3260
 Ca 0.3998 0.3998 0.3998 0.3998 0.3998 0.3998 0.3998 0.3998
 SO₄ 0.0124 0.0104 0.0124 0.0124 0.0124 0.0124 0.0104 0.0104
 NO₃ 0.0000 0.0032 0.0161 0.0080 0.0040 0.0161 0.0080 0.0000

T O T A L

2.2162 2.0274 1.8849 1.7866 2.3053 1.8299 1.7830 1.7362

F O T A S: Las muestras son químicamente rotibias; en relación a su dureza clasifican como aguas semi-dueras.
Para irrigación corresponden al grupo C. S. 1, de bajo fértil de salinidad y bajo pH de hidrólisis.

Ejecutado por: Dr. Badel Francisco Coronel.

/bbb-



Proyecto termotasaero/primer Informe de
factibilidad, hidrologia y meteorologia /Instituto
Colombiano de Energía Eléctrica.

333.7932 I597p v.2 Ej.1

CATALOGADO POR: HELP FILE LTDA

FECHA

RECORRIDO

FECHA

Proyecto termotasa jero/primer informe de
factibilidad, hidrologia y meteorologia /Instituto
Colombiano de Energía Eléctrica.

333.7932 I597p v.2 Ej.1

CATALOGADO POR: HELP FILE LTDA

FECHA PRESTADO A FECHA